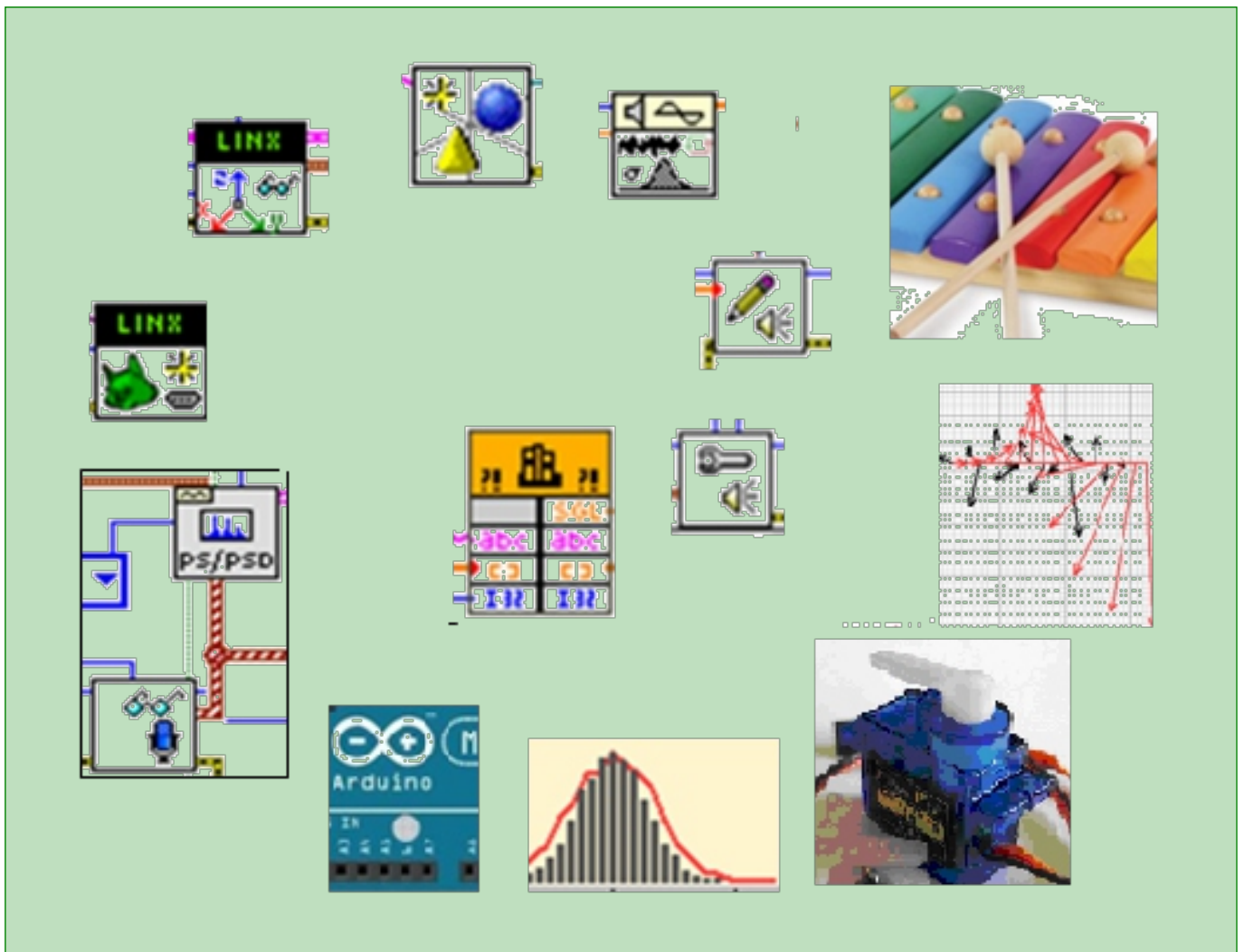


Iulian LUPEA

LabVIEW

APLICATII



UTPRESS
Cluj-Napoca, 2022
ISBN 978-606-737-598-5

Iulian LUPEA

LABVIEW

APLICATII



UTPRESS
Cluj - Napoca, 2022
ISBN 978-606-737-598-5



Editura UTPRESS
Str. Observatorului nr. 34
400775 Cluj-Napoca
Tel.: 0264-401.999
e-mail: utpress@biblio.utcluj.ro
<http://biblioteca.utcluj.ro/editura>

Director: ing. Dan Colțea

Recenzia: Prof.dr.ing. Horea Hedeșiu

Coperta: Iulian Lupea

Tehnoredactare computerizată: Iulian Lupea

Copyright © 2022 Editura UTPRESS

Reproducerea integrală sau parțială a textului sau ilustrațiilor din această carte este posibilă numai cu acordul prealabil scris al editurii UTPRESS și al autorului.

ISBN 978-606-737-598-5

Bun de tipar: 21.11.2022

PREFAȚĂ

În lucrarea de față sunt prezentate aspecte de programare vizuală în mediul de programare LabVIEW prin folosirea elementelor grafice în schimbul textului, sunt supuse atenției aplicații diverse pentru fixarea noțiunilor, dar sunt și aprofundate aptitudinile de programare. Limbajul grafic pus la dispoziție de National Instruments Co. prin platforma LabVIEW, plecând de la limbajul grafic G, asigură crearea de instrumentație virtuală având ca suport calculatorul, achiziția de date din mediu prin intermediul traductorilor, analiza și prelucrarea informației achiziționate, procesări de imagini, dar și simularea, controlul și testarea automată a sistemelor ingineresti. LabVIEW este folosit în special pentru automatizări industriale, achiziții de date și control sub diverse sisteme de operare incluzând Windows, Unix, Linux și macOS.

Denumirea limbajului este abrevierea expresiei englezești „Laboratory Virtual Instrument Engineering Workbench”, limbajul fiind conceput prin prima versiune în anul 1986 de firma National Instruments din Austin, Texas, SUA și dezvoltat ulterior prin noi versiuni, cea mai nouă fiind LabVIEW 2021.

Spre deosebire de limbajele clasice folosite în asistarea achiziției de date din mediu prin intermediul plăcilor de achiziție dedicate, limbajul LabVIEW prezintă o înaltă specializare, o bază remarcabilă de funcții și instrumente virtuale clasate pe domenii, asigurând astfel fiabilitatea și rapiditatea programării.

Asocierea limbajului cu plăci de achiziție și alte periferice, face posibilă prelucrarea datelor numerice și analogice prin simularea unor aparate de măsură și control ce au primit denumirea de instrumente virtuale. Instrumentația virtuală, spre deosebire de instrumentele fizice, este mai flexibilă, permițând modificare și adaptare prin programare, și este mai atrăgătoare din punctul de vedere al costului. Prin implementarea de primitive pentru control, indicație și afișare specifice instrumentelor reale, este posibilă programarea grafică a instrumentului

virtual cu o interfață utilizator foarte asemănătoare panourilor frontale ale aparatelor dedicate. Funcțiile de măsurare, reglaj, analiză, control și memorare ale aparatelor reale sunt implementate în așa-zisa diagramă bloc a instrumentului virtual prin programare grafică pe baza unor funcții (instrumente virtuale) existente, predefinite și a unor funcții implementate de programator, asigurând astfel o foarte bună modularizare a aplicațiilor.

Noțiunile: tipuri de date simple și structurate, expresii, operanzi și operatori, controlul execuției programului prin decizii și ciclări, controlul timpului, programarea pe evenimente, funcții, lucrul cu fișiere, programarea obiectuală, servicii Web etc., sunt prezente și adaptate specificului programării grafice. Limbajul de programare LabVIEW este dedicat atât aplicațiilor de măsurare și automatizare industrială, aplicațiilor de laborator, cât și nevoilor generale de calcul numeric susținute de bibliotecile de funcții matematice. LabVIEW permite integrarea codului scris în Python, C/C++, .NET sau Matlab.

Lucrarea se adresează studenților de la secții cu specific ingineresc: mecatronic, inginerie mecanică, industrială, electrică, ingineria automobilului. Se presupune, în general, că studenții au noțiuni elementare de programare însușite în abordări anterioare. Studenții au acum o flexibilitate și înțelegere rapidă a noțiunilor de programare ca urmare a informatizării și digitizării ca acțiuni prezente nu de puțini ani în societatea actuală.

Prezenta lucrare se adresează de asemenea inginerilor, fizicienilor, chimiștilor din sectorul productiv și de cercetare precum și cadrelor didactice din învățământul universitar și preuniversitar.

Autorul

LABVIEW

Aplicații

CUPRINS

Prefață	5
I. Instrucțiunea de ciclare While	11
1. Mediul de programare LabVIEW	11
2. Ciclul While - aplicație	12
3. Modificări asupra aplicației	13
4. Ciclul While (While loop) - reprezentarea grafică a unei funcții	14
5. Generarea repetitivă a unui semnal triunghiular	17
II. Ciclul For, registrul Shift, operatorul Select	18
1. Ciclul For și registrul Shift - suma elementelor din tabloul 1D	18
2. Precizări cu referire la registrul de transfer - Shift register	19
3. Suma elementelor pozitive dintr-un șir de numere reale, operatorul Select	20
4. Exemple cu Select, tablou de șiruri de caractere, tablou de valori logice	21
5. Suma elementelor dintr-un tablou 2D	22
6. Suma elementelor aflate deasupra DP într-o matrice pătratică (cicluri For imbricate + Select)	22
7. Regiștrii Shift (de transfer) multipli - șirul Fibonacci	22
8. Precizări cu referire la tablouri de date	23
9. Feedback Node versus registrul Shift	24
10. Probleme propuse	25
III. Structura de selecție multiplă Case + variabila locală	26
1. Structura de selecție multiplă Case	26
2. Suma elementelor pozitive dintr-un șir sau matrice folosind Case	27

3. Suma elementelor de pe anumite linii din matrice	28
4. Selectarea elementelor de pe pozițiile dorite din șirul real 1D	29
5. Elementul maxim din matricea 2D și poziția acestuia	29
6. Probleme propuse I	30
7. Variabila locală - aplicație pentru însumarea elementelor din șir/matrice	31
8. Suma elementelor din matrice - varianta cu variabilă locală	31
9. Suma valorilor plasate pe diagonala principală - varianta cu variabilă locală	32
10. Două cicluri While oprite cu un buton de Stop	32
11. Element maxim din șir numeric - Case și variabila locală	33
12. Probleme propuse II	33
IV. Date de tip cluster și structura de control Sequence	34
1. Date de tip cluster sau structură	34
2. Aplicație cu studenți, discipline, note	35
3. Structura de control 'Sequence'	36
4. Verificarea unor relații matriceale	38
V. Organizare pe pagini în Panoul Frontal cu Tab Control, funcția Sine Pattern.vi, semnale aleatoare, histograma	39
1. Funcția armonică $x(t)=a \cdot \sin(t)$, reprezentare grafică, media, RMS, deviația standard	39
2. Semnale aleatoare Uniform white noise, Gaussian white noise, Periodic random noise și histograma	40
3. Organizare pe pagini în Panoul Frontal cu Tab Control	42
4. Probleme propuse	44
VI. Prelucrare tablouri numerice, ordonare, medii, stiva	45
1. Șir de medii aritmetice	45
2. Folosirea funcției Mean PtByPt.vi pentru calculul mediei	46
3. Se caută o valoare numerică într-un tablou numeric	47
4. Operații cu stivă - funcții pentru prelucrarea tablourilor	48
5. Variante pentru calcul sume elemente de pe DP și DS, în matrice	49
6. Separare șir în două subșiruri: unul strict pozitiv, altul strict negativ	49
7. Ordonarea unui șir de numere reale	50
8. Extragerea unor linii din matricea 2D și generarea unei submatrice	52
9. Rezolvarea unui sistem de ecuații liniare și verificarea soluției	52
10. Studiul unei funcții date prin control șir de caractere - grafice asociate	53

VII. Formula Node (LabVIEW), utilizare cod limbajul C, Call Library Function Nod	56
1. Formula Node, utilizare cod limbajul C	56
2. Apel C/C++ DLL din LabVIEW	58
3. Apel script Matlab (MATLAB script node)	61
4. Modularizarea programului. Generare subVI ca funcție apelabilă individual din diagrama altei aplicații (apel subVI)	62
5. Probleme propuse	63
VIII. Calcule cu numere complexe I	64
1. Reprezentarea numerelor complexe, produsul și câtul	64
2. Instrumentul Real FFT.vi	65
3. Reprezentarea grafică a coeficienților spectrali în format vectorial	67
4. Puterea spectrală bilaterală	68
5. Puterea interspectrală bilaterală complexă	69
6. Generarea unui fișier executabil - aplicație LabVIEW	70
7. Probleme propuse	72
IX. Calcule cu numere complexe II	74
1. Raportul a două șiruri complexe - funcția de transfer	74
2. Funcții care returnează tablouri complexe, Cross Power Spectrum, Frequency response	75
3. Probleme propuse	77
X. LabVIEW + cod Matlab și C - semnal ponderat (windowing)	79
1. Prelucrarea semnalului prin ponderarea valorilor	79
2. Prelucrarea unui tablou prin fereastra Hanning - Matlab	79
3. Fereastra Hamming - cod LabVIEW	80
4. Fereastra Exponential - cod C în formula Node	80
5. Fereastra Force - cod LabVIEW	81
6. Probleme propuse	82
XI. Programare pe evenimente	83
1. PF interactiv - Ciclul While (polling) versus Event Structure	83
2. Eveniment static - schimbarea valorii unui control șir de caractere	85
3. Schimbare parametri Sine Patern.vi - grafic sinus - buton dialog	86
4. Evenimente Mouse Enter, Mouse Leave și Value Change	87
5. Filtru evenimente (Filter Event)	90
6. Evenimente dinamice declanșate prin program din diagramă	92
7. Precizări cu privire la Event Structure	96
8. Probleme propuse	98

XII. Tipul de dată waveform - generare, salvare, concatenare	99
1. Tipul de dată waveform, funcția Build Waveform	99
2. Operații cu forme de undă	99
3. Tablou de forme de undă, salvare în fișiere și vizualizare putere spectrală	100
4. Concatenare de forme de unde, controlul Reset Signal	102
5. Controlul Sampling Info și frecvența - problemă propusă	103
6. Tablouri de numere reale (DBL) salvate în fișier text	103
7. Scrierea/citirea în/din fișier a unui șir de caractere	104
XIII. Cursori în Waveform Graph	105
1. Operații cu cursori	105
2. Eveniment de tip 'Cursor Move'	108
XIV. Aplicații LabVIEW pentru prelucrarea sunetelor prin placa de sunet	110
1. Funcții pentru achiziție de sunet prin placa de sunet	110
2. Achiziție de sunet pe durata finită	111
3. Achiziție continuă de sunet și calcul putere spectrală	112
4. Funcții de bază pentru generarea sunetului	115
5. Generare sunet (ton) în mod continuu	116
6. Generare sunet pe două canale - tablou de două forme de undă	118
7. Simularea sunetului asociat tastelor telefonului	120
XV. Interfața LabVIEW - Arduino	122
1. Instalare LIFA și Arduino IDE	122
2. Comanda LED-ului încorporat pe placa Arduino Uno/Mega	123
3. Comandă buzzer piezoelectric	125
4. Citire pin Analog In - senzori de umiditate și de lumină	127
5. Citirea unui senzor piezoelectric care sesizează vibrații mecanice - pin Analog In	129
6. Comandă sens și turație motor cc. cu IC motor driver tip L293D	131
7. Comandă LED - Arduino Uno - programare pe evenimente	133
8. LINX - interfață alternativă pentru LIFA	133
9. Comanda LED prin pinul digital 13 - Arduino Uno, LINX	135
10. Măsurarea accelerației cu accelerometrul digital triaxial ADXL345	135
11. Măsurarea accelerației și a vitezei unghiulare cu senzorul triaxial MPU6050	138
12. Comanda orientării unui obiect paralelipipedic prin MPU6050	140
13. Comandă servomotor - poziționarea unghiulară a axului	143
14. Noțiuni despre platforme Arduino Uno/Mega, intrări/ieșiri semnale	145
Bibliografie	148

I. Instrucțiunea de ciclare While

1. Mediul de programare LabVIEW

Pentru realizarea unei aplicații se lansează produsul LabVIEW și se creează o nouă aplicație: File/New VI. Aplicația conține două ferestre: Panoul frontal (PF) și Diagrama bloc (DB). Se va împărți ecranul calculatorului de preferință în două zone: PF fereastra din stânga și DB fereastra din dreapta, cu comanda Window/ *Tile Left and Right*.

Paleta de unelte (Fig. 1) folosite pentru dezvoltarea aplicației se vizualizează prin comanda: View/*Tools Palette*.

Pentru a insera obiecte (controale și indicatoare) în panoul frontal al aplicației utilizăm comanda View/*Controls Palette* (sau click dreapta în PF). Pentru a realiza programarea grafică și a insera funcții în Diagrama bloc a aplicației folosim comanda View/*Functions Palette* (sau click dreapta din DB). Pentru a primi ajutor și explicații cu referire la funcțiile inserate, la elementele de programare, la tipul datelor care sunt transferate prin firele de legătură sau la controale și indicatoare se deschide fereastra de Help prin comanda Help/Show Context Help.



Fig. 1

Diagrama bloc conține codul grafic fiind o rețea grafică de noduri conectate prin fire de legătură. Nodurile sunt funcții, subprograme sau operatori. Firele (în tabelul alăturat se observă grosimea, culoarea și textura) sunt legături prin care se face transfer de date (variabile) într-un singur sens.

Tip de dată	scalar	1D Array	2D Array
numeric			
logic			
șir caractere			

O funcție se execută atunci când are disponibile toate datele necesare primite prin firele de intrare (de la funcții sau controale). Un nod (funcție) fără intrări se execută imediat. Mai multe noduri pot avea simultan date necesare la intrare, deci se pot executa în paralel. După execuția unui NOD se generează date de ieșire care se propagă prin fire la nodurile următoare conectate sau la indicatoare în PF. Deplasarea datelor prin noduri și fire reprezintă execuția programului.

2. Ciclul While - aplicație

2.1. Se dezvoltă o aplicație care permite modificarea valorii unui control numeric (Dial) din PF prin acțiunea operatorului și vizualizarea grafică a variației valorii controlului într-un interval de valori impus prin alte două controale numerice de tip Fill Slide (orizontal) sau Pointer Slide (Fig. 2).

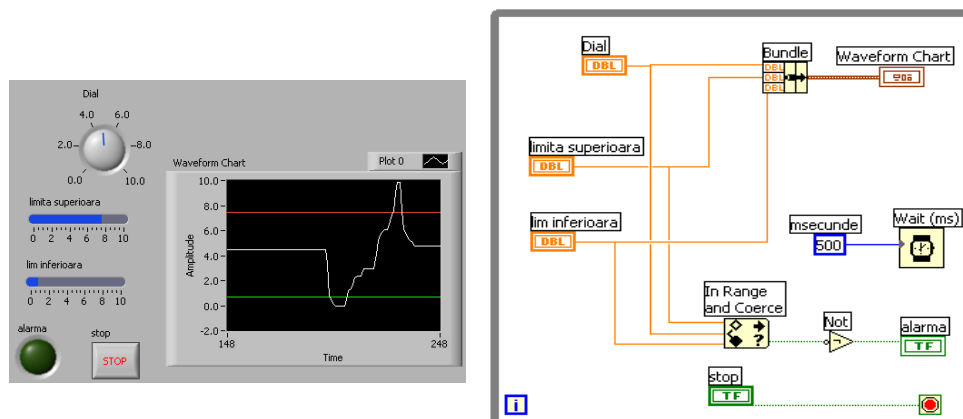


Fig. 2

2.2. Se rotește controlul Dial cu unealta 'Operate Value - deget indicator'; cât timp valoarea controlului este între *limită superioară* și *lim inferioară* nu se aprinde indicatorul boolean *alarma*. Pentru o valoare mai mare decât *limită superioară* sau mai mică decât *lim inferioară* se aprinde (schimbă luminozitatea) ledul *alarma*. Fereastra Help/Show Context Help se va deschide; aceasta va ajuta de asemenea, la conectarea pictogramelor în DB.



În PF se observă controale (Dial, stop ...) prin care se introduc date în aplicație și indicatoare (alarma, Waveform Chart) prin care aplicația returnează date (spre operator). Operatorul Bundle se poate redimensiona permițând modificarea numărului de intrări; acesta grupează datele de intrare generând o structură de date sau cluster.

Funcția *In Range and Coerce* prezintă trei (3) intrări și două (2) ieșiri. Ieșirea de jos returnează valoarea logică True dacă valoarea numerică a controlului Dial este între cele două limite. În acest caz inserarea operatorului Boolean (Logic) NOT asigură stingerea indicatorului boolean 'alarma' de tip Round LED. Indicatorul *Round LED* (eticheta alarma) dacă primește True se luminează (On), altfel este stins (Off).

Indicatorul grafic Waveform Chart permite afișare continuă pe grafic (câte trei valori numerice la fiecare repetare a corpului ciclului While) a valorilor celor trei controale (dial și cele două limite).

Corpul ciclului While se execută repetitiv cu o temporizare de 500 milisecunde (aproximativ două ciclări pe secundă). La fiecare iterație se citesc valorile celor trei controale numerice, se afișează aceste valori în indicatorul grafic

(trasând astfel trei curbe), se luminează sau stinge indicatorul logic tip LED, se citește valoarea logică a butonului STOP și în funcție de valoarea citită se decide repetarea corpului ciclului sau oprirea ciclării. Terminalul condițional al instrucțiunii de ciclare While are două variante de funcționare:

- a) Stop if True  și
- b) Continue if True .

Control *OK Buton* (eticheta STOP) la apăsare generează valoarea logică True, altfel generează False. În diagrama aplicației este folosit terminalul condițional Stop if True. Când operatorul apasă butonul Stop acest buton generează valoarea logică True care valoare ajunsă la terminalul ciclului va opri repetarea ciclului. Observăm faptul că corpul ciclului se va repeta cel puțin o dată deoarece oprirea se realizează după execuția corpului.

2.3. Pentru vizualizarea valorii datelor care se transferă prin firele din diagramă se activează Highlight Execution - bec galben (Fig. 3).

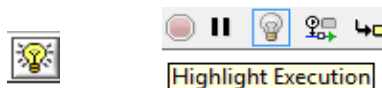


Fig. 3

2.4. Se va rula pas cu pas, cu urmărirea valorilor numerice și logice prin comanda Start Single Stepping (Fig. 4).

Se observă culorile firelor. Culorile indică tipul datelor care trec prin fire: albastru (numeric - întreg), cărămiziu (numeric - real), verde (logic) și firul pentru structuri sau cluster (între Bundle și Waveform Chart).

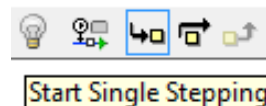


Fig. 4

3. Modificări aduse aplicației

3.1. Să se redimensioneze contoarele și indicatoarele din PF folosind unealta săgeată (Position/Size/Select) (Fig. 5).

3.2. Să se afișeze în panoul frontal (PF) ieșirea numerică *coerced(x)* a funcției *In Range and Coerce* (Fig. 6).

3.3. Înlocuiți controalele din PF cu alte controale disponibile în paleta Numeric și Boolean.

3.4. Afișați contorul ciclului While folosind un indicator numeric de tip întreg plasat pe PF.

3.5. Eliminați din aplicație ciclul While (Remove While Loop). Rulați aplicația prin apăsare repetată pe săgeata de rulare sau pe pictograma de rulare repetată (continuă) (Fig.7).

3.6. Variați continuu numărul de milisecunde de temporizare introdus de funcția Wait (ms) la fiecare ciclu While înlocuind constanta (500 ms) cu un control de tip *dial* plasat în Panoul Frontal (cu limitele 0 și 1000 ms).

3.7. În locul funcției In range and Coerce folosiți operatori relaționali:

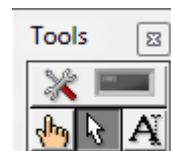


Fig. 5

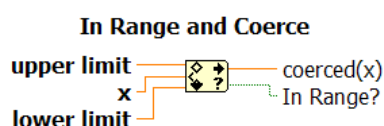


Fig. 6

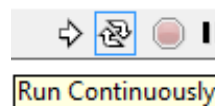
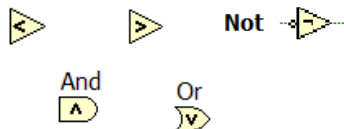


Fig. 7



și logici:

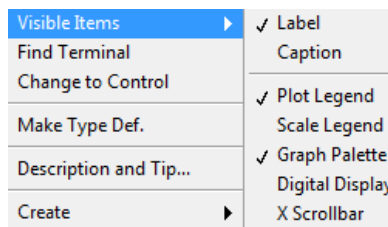
cu obținerea unor acțiuni similare prin implementarea expresiilor următoare:

- a) Not (Dial < limită superioară And Dial > limită inferioară)
- b) (Dial > limită superioară) Or (Dial < limită inferioară)

3.8. Să folosim două leduri de alarmă etichetate *alarmă prea cald* și *alarma prea rece*.

- dacă temperatura senzorului (t_s/Dial) este între limite, ambele alarme sunt verzi;
- dacă $t_s > \text{lim sup}$ => numai led *alarmă prea cald* devine roșu, iar
- dacă $t_s < \text{lim inf}$ numai led *alarma prea rece* devine roșu.

Pentru stabilirea culorii LED-ului pentru stare True și stare False procedăm astfel: click dreapta mouse pe LED, alegem Properties, iar din fereastra deschisă modificăm Colors (On = roșu și Off = verde pentru ambele leduri).



3.9. Vizualizați/dezactivați comenzile asociate indicatorului grafic Waveform Chart din meniul Visible Items (Fig. 8).

Fig. 8

4. Ciclul While (While loop) - reprezentarea grafică a unei funcții

4.1. Se va observa un program LabVIEW (Fig. 9) pentru reprezentarea grafică a funcției $y=\sin(x)+x$ în intervalul $[-11, 18.01]$. Se folosește un ciclu While pentru evaluarea repetitivă a funcției pentru valori crescătoare ale abscisei x . Este utilizat contorul i pentru calculul abscisei curente cu relația:

$$x = -11 + i * \text{pas}$$

La prima iterație când $i=0$, abscisa devine $x = -11$. Valoarea funcției se calculează în cadrul entității *Expression Node*. Nodul expresie permite calculul unei expresii care conține o singură variabilă (x în acest caz). Valorile rezultate la fiecare iterație din

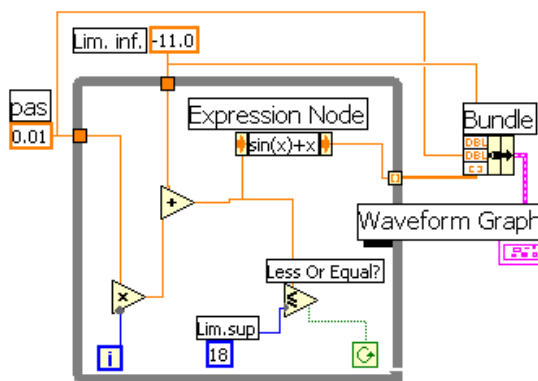


Fig. 9

Expression Node se grupează la tunelul de ieșire din ciclul While într-un tablou de valori reale deoarece tunelul este setat în modul *Indexing* (Fig. 10). Dacă s-ar fi

setat modul *Last Value* numai ultima valoare calculată a funcției ar fi părăsit ciclul prin tunelul de ieșire.

Funcția *Bundle* formează o structură (cluster) cu trei câmpuri așezate în următoarea ordine: prima abscisă (Lim. inf.), pasul abscisei și tabloul valorilor funcției. Structura formată este vizualizată prin indicatorul grafic Waveform Graph.

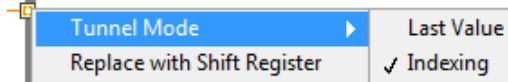


Fig. 10

Corpul ciclului se repetă cât timp terminalul condițional 'Continue if True' primește valoarea logică True. Pentru $x=18$ se evaluează expresia relațională $18 \leq 18$ de valoare True. Aceasta permite încă o repetare a ciclului. La evaluarea expresiei $18.01 \leq 18$ valoarea False rezultată oprește ciclul. Astfel ultima valoare pentru care se evaluează funcția este 18.01.

4.2. Utilizarea unui cursor

În Figura 11 observăm graficul funcției vizualizat în Panoul Frontal.

Pentru a citi puncte sau perechi (abscisă, ordonată) de pe grafic se poate insera un cursor. Pentru aceasta se bifează Cursor Legend din paleta *Visible Items* (click dreapta pe grafic), apoi Create Cursor (click dreapta de pe suprafața legendei cursor) și se alege varianta Single-Plot care asigură rămânerea cursorului atașat punctelor de pe curbă. Se poate adăuga al doilea sau al treilea cursor după nevoie.

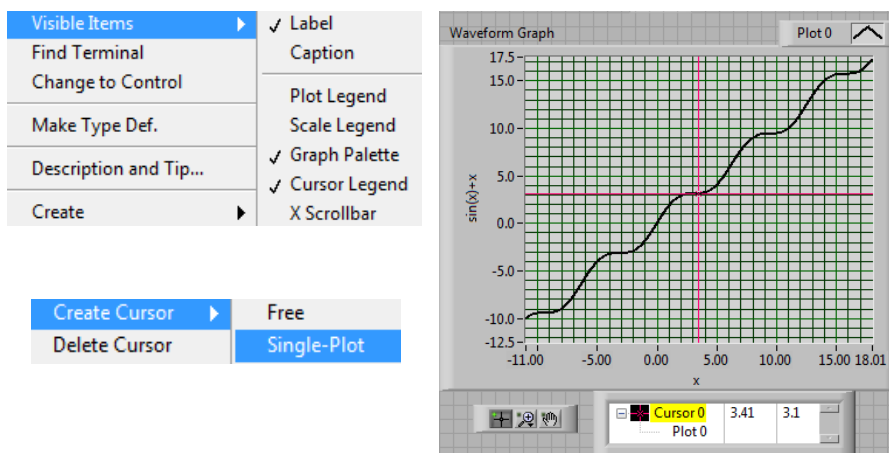


Fig. 11

Schimbarea culorii fondului din indicatorul grafic (implicit background negru) se realizează prin Click dreapta pe grafic având selectată unealta corespunzătoare (pensula) din Tools Palette.

Pentru schimbarea grosimii curbei trasate, din Visible Items se bifează Plot Legend. După click cu mouse-ul pe zona din dreapta textului Plot 0 se selectează Line Width (Plot Visible trebuie să fie bifat) (Fig. 12). Alte setări cum sunt culoarea curbei sau stilul liniei sunt disponibile în mod similar.

4.3. Modificați diagrama aplicației

1. Înlocuiți constantele numerice Lim. inf, Lim. sup și pas cu controale în panoul frontal,
2. Modificați Lim. inf, Lim. sup și pasul asociate reprezentării grafice a funcției.
3. Ce tipuri de date folosește aplicația ?
4. Care este rolul contorului i și cum se realizează oprirea ciclului While? (Continue if True sau Stop if True)
5. La ieșirea din While este setat 'Enable Indexing' pentru cumularea valorilor calculate și vizualizare cu Waveform Graph. Implicit ieșirea valorilor din While Loop este fără indexare, caz în care iese numai ultima valoare.
6. Să se adauge un Waveform Chart în ciclul While și temporizare 10 ms /ciclu pentru vizualizarea fiecărei valori a funcției imediat după calculul valorii în cadrul 'Expression Node'.
7. Reprezentați alte funcții de o variabilă înlocuindu-le în Expression Node (modificați limitele variabilei x).

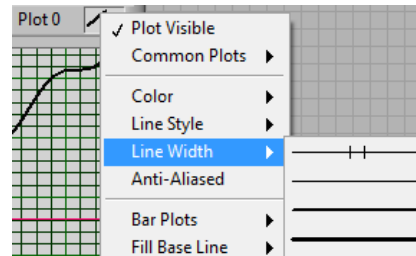


Fig. 12

4.4. Scară liniară versus logaritmică

Se consideră funcția $y=\log(x)$ și scară logaritmică pentru abscisa x , iar pentru ordonată scară liniară. Se obține graficul din Figura 13. Limitele sunt de la 0.01 la 1000 pentru abscisa x .

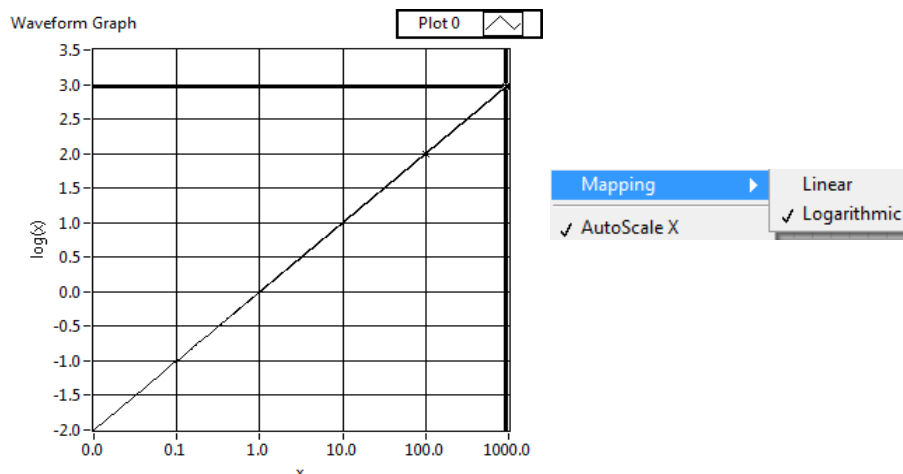


Fig. 13

5. Generarea repetitivă a unui semnal triunghiular

În diagrama din Figura 15 este apelată funcția Triangle Pattern.vi din paleta Signal Generation. Semnalul generat conține 40 eșantioane (samples). Spațierea între eșantioane dt este de 0.5 s. Lățimea (width se referă la bază) triunghiului (Fig. 14) este de 5 secunde, rezultând 10 eșantioane din totalul de 40; $width(s)$ este control, astfel parametrul este schimbat interactiv pe măsură ce se repetă ciclul While. Întârzierea sau $delay(s)$ este de două secunde (2 s) realizată prin patru (4) eșantioane de valoare zero. Din controlul $asymmetry$ se poziționează vârful triunghiului în mod interactiv. Amplitudinea este implicit 1. În Figura 15 observăm diagrama bloc și panoul frontal al aplicației prin care se modifică interactiv asimetria și baza semnalului triunghiular. Programul se oprește simplu prin apăsarea butonului de Stop.

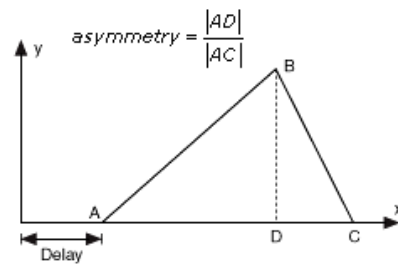


Fig. 14

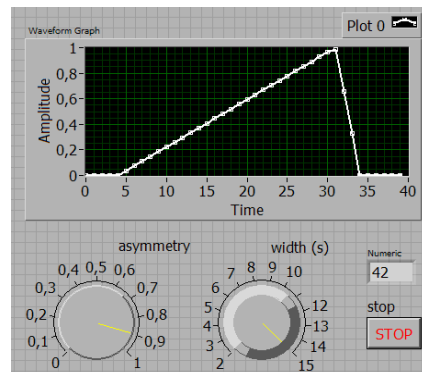
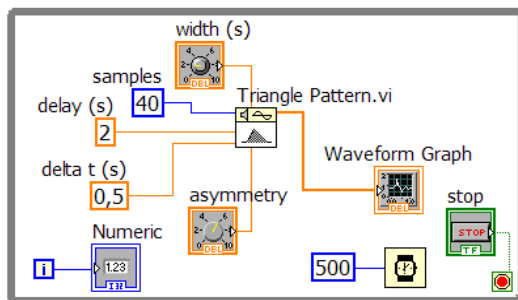


Fig. 15

2. Precizări cu referire la registrul de transfer - Shift register

2.1. La inserarea registrului pe laturile ciclurilor For sau While (Fig. 3), terminalele registrului sunt negre, deci nu este încă stabilit tipul de dată care va fi conținut în registru.

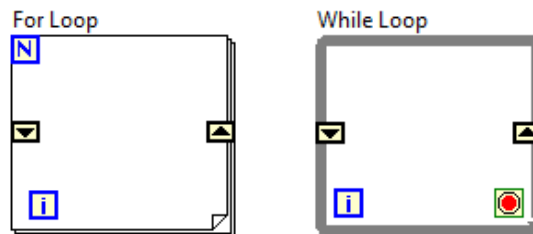


Fig. 3

2.2. Registrul inițializat cu o valoare numerică

În diagramă registrul este inițializat cu valoarea 10 de tip întreg (albastru). După adunarea unei valori reale (0.2) culoarea registrului devine cea a tipului de dată mai general deci cărămiziu, corespunzând datei reale în dublă precizie conținute în registru.

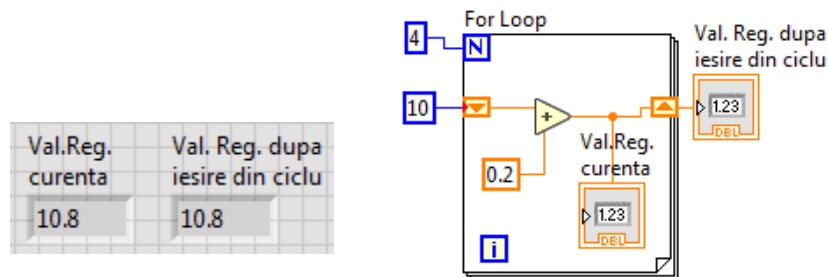


Fig. 4

2.3. Registrul neinițializat

La terminalul stânga al registrului nu este conectată nici o dată de input astfel registrul este neinițializat. Dacă terminalul din stânga nu are date de intrare conectate la prima iterație a ciclului, valoarea din terminalul stâng va fi valoarea implicită pentru tipul de dată care este memorat în registru.

Ciclului For i se impun patru repetări prin conectarea constantei (4) la colțul stânga sus al ciclului. La prima execuție a aplicației rezultă valoarea finală 0.8 în registru și la nivelul fiecărui indicator din PF (Fig. 5). La a doua execuție a aplicației se pornește de la valoarea 0.8 memorată în registru și se continuă adunarea constantei 0.2 la fiecare iterație rezultând 1.6 la finalul rulării a doua a aplicației.

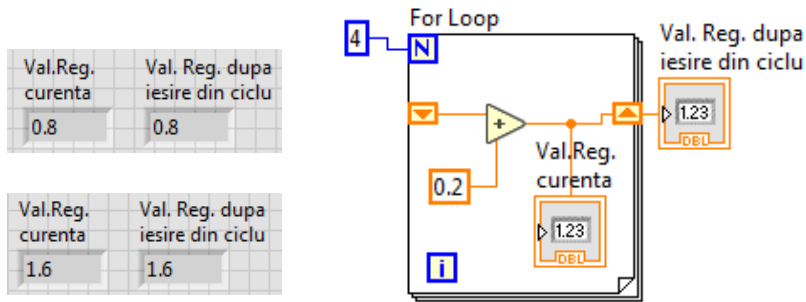


Fig. 5

2.4. Ciclul For cu zero iterații

În cazul în care corpul ciclului execută zero iterații, registrul Shift transferă valoarea de inițializare (Fig. 6).

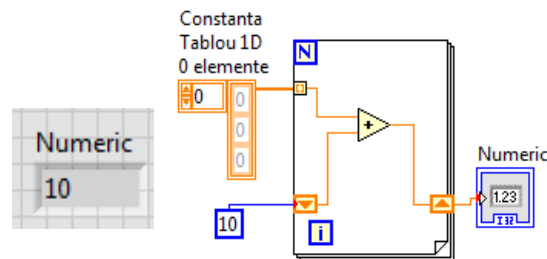


Fig. 6

3. Suma elementelor pozitive dintr-un șir de numere reale, operatorul Select

3.1. Operatorul Select prezintă trei intrări și o ieșire a datelor (Fig. 7).

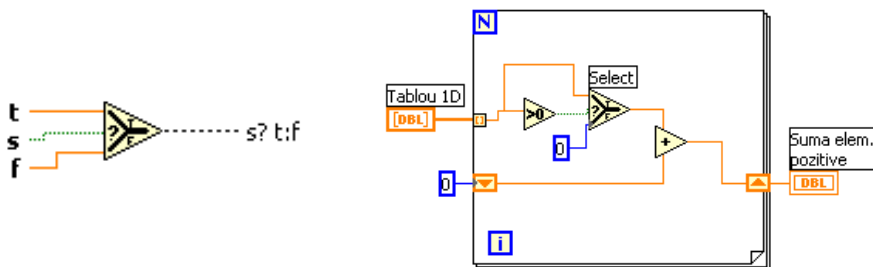


Fig. 7

Dacă valoarea logică primită pe intrarea de selecție (cea din mijloc) este True, operatorul Select permite trecerea valorii de pe ramura T (True) (intrarea de sus), iar dacă valoarea primită este False permite trecerea valorii de pe ramura F (False) (intrarea de jos).

3.2. Registrul Shift funcționează ca o memorie locală ciclului permițând transferul unei date/valori, în acest caz suma parțială a valorilor pozitive (Fig. 7) de la o iterație la următoarea iterație.

Dacă elementul curent este pozitiv, selectorul, în urma comparației cu zero, primește valoarea True și permite transferul valorii elementului curent în vederea adăugării la suma parțială memorată în registrul Shift. Pentru element curent negativ sau nul se va adăuga valoarea zero.

Suma parțială inițială este zero, registrul Shift fiind inițializat din afara ciclului. Dacă registrul nu este inițializat cu 0 la prima rulare rezultatul este corect. La următoarea execuție a programului registrul va avea memorată suma de la prima rulare.

4. Exemple cu Select, tablou de șiruri de caractere, tablou de valori logice

4.1. Selecție între două constante de tip șir de caractere

Se compară elementele reale dintr-un tablou 1D cu zero și se generează un tablou de șiruri de caractere (indicator) care conține șirurile 'Nr.Pozitiv' și 'Nr.<0 sau 0'. Ieșirea din ciclu este în mod 'indexing'; la tunel se cumulează șirurile de caractere de la fiecare iterație și la terminarea ciclului for iese un tablou de șiruri de caractere (Fig. 8).

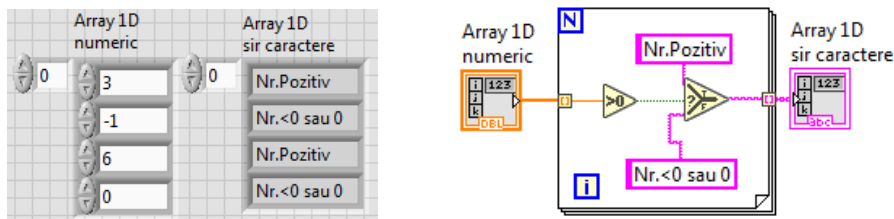


Fig. 8

4.2. Selecție între două valori logice (constante)

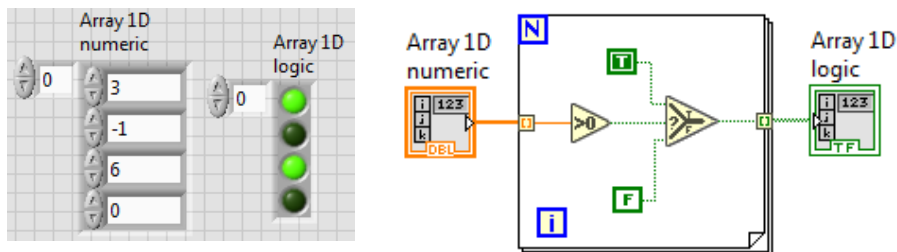


Fig. 9

Se compară elementele reale dintr-un tablou 1D cu zero și se generează un tablou (indicator) de valori logice. Ieșirea din ciclu este 'indexing'; la tunel se cumulează logice de la fiecare iterație și la terminarea ciclului iese un tablou de valori logice (Fig. 9).

5. Suma elementelor dintr-un tablou 2D

Calculați suma elementelor din tabloul 2D (array).
Se vor folosi două cicluri For imbricate. Pentru a obține un tablou (array) 2D în PF adăugați o dimensiune (Add Dimension) tabloului 1D deja creat (Fig. 10).

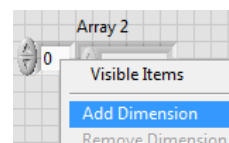


Fig. 10

6. Suma elementelor aflate deasupra DP într-o matrice pătratică (cicluri FOR imbricate + Select)

6.1. Ciclul For exterior (Fig. 11) permite accesul matricei în corpul ciclului, linie cu linie, prin urmare ciclul exterior se repetă de atâtea ori câte linii sunt în matrice. Ciclul For interior permite accesul unei linii în corpul lui, element cu element, astfel pentru fiecare linie ciclul interior se repetă de atâtea ori câte elemente sunt într-o linie (numărul de coloane a matricei). Astfel ambele tuneluri de intrare sunt cu indexare.

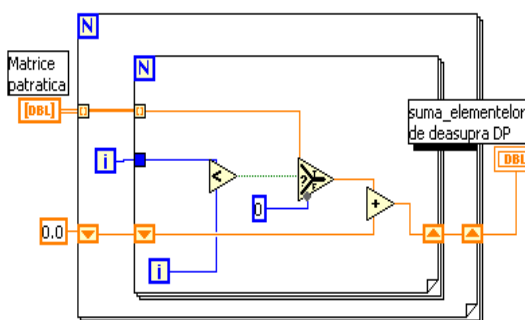


Fig. 11

6.2. Dacă indicele liniei este mai mic decât indicele coloanei, selectorul funcției Select primește valoarea True și permite adunarea elementului curent la suma parțială memorată în registrul Shift. Elementele având indicele de linie mai mic decât indicele de coloană sunt situate deasupra diagonalei principale (DP).

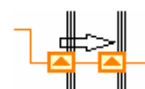


Fig. 12

6.3. Registrul shift al ciclului interior transferă sume parțiale de la o iterație la următoarea pe timpul parcurgerii unei linii din matrice. La terminarea elementelor dintr-o linie, terminalul drept al registrului interior trece valoarea în terminalul drept al registrului ciclului exterior (Fig. 12).

7. Registrii shift (de transfer) multipli - șirul Fibonacci

7.1. Relația de calcul a elementelor din șir:

$$f_{n+1} = f_{n-1} + f_n, \quad f_0 = f_1 = 1$$

7.2. La prima ciclare cele două sertare din stânga ale unicului registru de transfer primesc valoarea 1; după adunare valoarea (2) se salvează în sertarul (terminalul) dreapta. La

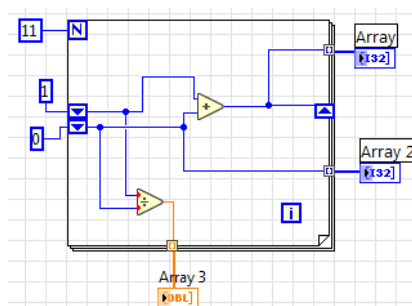


Fig. 13

iterația următoare valoarea 2 se transferă în sertarul de sus – stânga, iar valoarea din sertarul sus este salvată automat în sertarul stânga – jos etc.

7.3. Calculați și afișați șirul Fibonacci folosind doi regiștri shift.

8. Precizări cu referire la tablouri de date

Tabloul 1D sau 2D (Array 1D sau 2D) este o colecție de date de același tip așezate în tablou pe poziții referite printr-un indice pe fiecare dimensiune a tabloului. Elementele tabloului pot fi toate de tip numeric sau boolean (logic), șir de caractere, structură, formă de undă etc.

8.1. În Figura 14 observăm un tablou 1D numeric (real dublă precizie) și unul 2D numeric controlate în PF și terminale asociate în diagramă.

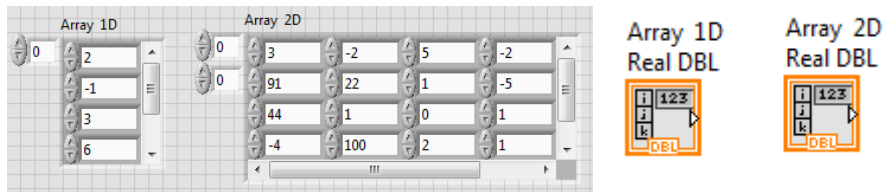


Fig. 14

8.2. În continuare (Fig. 15) observăm un tablou 1D numeric și unul 2D numeric cu rol de indicator în PF și terminale asociate în diagramă.



Fig. 15

8.3. Un tablou 1D și altul 2D cu toate elementele de tip logic și terminalele asociate în diagrama bloc (DB) se pot observa în continuare în Figura 16. Pentru controlul Array 2D, elementul stânga – sus (True) este plasat pe linia indice 0 și coloana indice 0, așa cum indică cei doi indici (de tip control) din stânga.

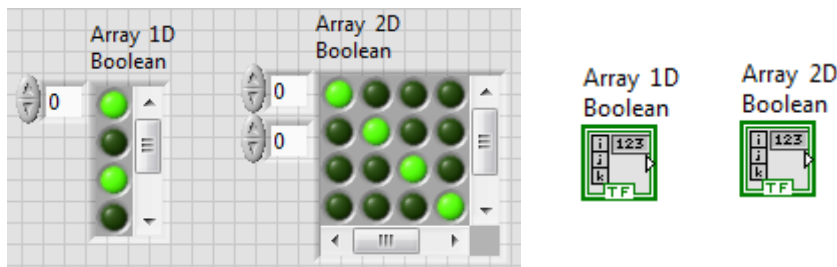


Fig. 16

9. Feedback Node versus registrul Shift

9.1. Pentru a transfera o valoare de la o iterație la următoarea (în cazul ciclurilor For sau While) se poate folosi structura de programare Feedback Node din paleta Structures în schimbul registrului de transfer. În Figura 17 observăm folosirea acestei variante pentru calculul sumei elementelor dintr-un șir numeric furnizat printr-un tablou 1D în panoul frontal (PF). Este disponibilă comanda directă *Replace with Feedback Node* aplicată registrului Shift sau vice versa comanda *Replace with Shift Register* aplicată imaginii grafice asociate pentru Feedback Node. Observăm și aici inițializarea cu zero a nodului. Dacă aceasta se omite se va păstra valoarea finală a nodului de la o rulare la alta, similar exemplului din Figura 5.

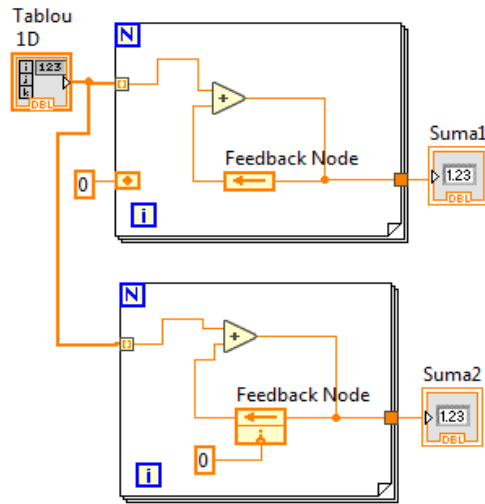


Fig. 17

9.2. Suma elementelor din matrice folosind Feedback Node

În prima diagramă din Figura 18 este calculată suma tuturor elementelor din tabloul 2D fiind folosit Feedback Node pentru ciclul For interior. În a doua diagramă (Fig. 18) este folosită structura Feedback Node pentru ambele cicluri For în scopul transferului de valoare numerică (suma parțială) de la o iterație la următoarea.

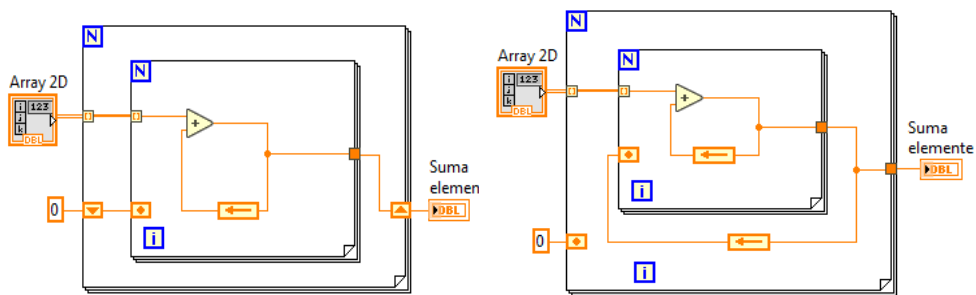


Fig. 18

10. Probleme propuse

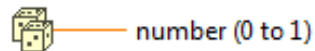
10.1. Calculați media aritmetică a elementelor dintr-un șir numeric (tablou 1D control în PF) cu relația: $(x_1 + x_2 \dots + x_n) / n$

10.2. Calculați media aritmetică a pătratelor elementelor din șirul numeric (tabloul 1D este control în PF) programând relația: $(x_1^2 + x_2^2 \dots + x_n^2) / n$

10.3. Calculați media aritmetică a elementelor pozitive dintr-un șir numeric. Pentru numărarea elementelor pozitive se poate adăuga al doilea registru shift sau de transfer.

10.4. Calculați media aritmetică a elementelor pozitive de pe diagonala principală (DP) a unei matrice pătratică dată printr-un tablou 2D (control în PF).

10.5. Să se genereze un tablou de 5 linii și 100 coloane de numere aleatoare folosind două cicluri imbricate unul For și altul While. După generare se va calcula media valorilor pe fiecare linie și se afișează tabloul mediilor la final. Pentru



number (0 to 1)

Fig. 19

generarea unui număr aleator se poate folosi funcția din Figura 19. Distribuția valorilor la apelul repetat al funcției este uniformă, cu valori între 0 și 1.

10.6. Să se apeleze funcția predefinită Sine pattern.vi. Această funcție returnează tabloul de valori reale Y. În paralel să se programeze relația de calcul asociată $y_i = a \cdot \sin(x_i)$, unde $x_i = \frac{2\pi k}{n} i + \frac{\pi}{180} \varphi_0$ ($i=0,1,2,\dots,n-1$) observând generarea aceluiași semnal (același grafic). Intrările în funcție sunt: samples = n, amplitude = a, phase (în grade) = φ_0 și cycles = k (Fig. 20).

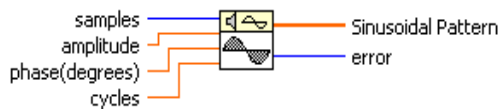


Fig. 20

III. Structura de selecție multiplă Case și variabila locala

1. Structura de selecție multiplă Case

Instrucțiunea Case permite execuția unui singur caz din mai multe disponibile. Se vor realiza aplicații evidențiind câteva modalități de selecție a cazurilor structurii Case.

1.1. Selector de tip Boolean: sunt disponibile două cazuri: True și False. Cazurile sunt selectate prin valori logice; putem să nu avem nici un caz implicit (default). Aplicația din Figura 1 afișează valoarea maximă dintre două controale numerice. În cazul False (Fig. 1) valoarea controlului B este conectată la tunelul de ieșire din Case.

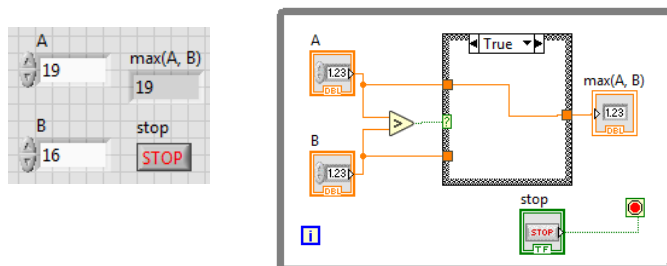


Fig. 1

1.2. Selector de tip întreg

În varianta instrucțiunii Case cu selector de tip întreg sunt permise două sau mai multe cazuri. Cazurile se identifică prin numere întregi pozitive și negative și/sau intervale. În exemplul propus (Fig. 2) sunt disponibile următoarele cazuri prin care se aplică prelucrări cu valorile celor două controale a și b:

- Suma (a+b) pentru Selector = 0;
- Diferență (a-b) pentru Selector = -2;
- Produs (a*b) pentru Selector = 1..5, 10;
- Incrementare (b+1) pentru Selector = ..-4.

La o execuție a instrucțiunii Case se execută un singur caz din cele patru existente, în funcție de valoarea întreagă primită de selector. Trebuie să fie un caz implicit (Default) - selectat (care se execută) la valori ale selectorului diferite

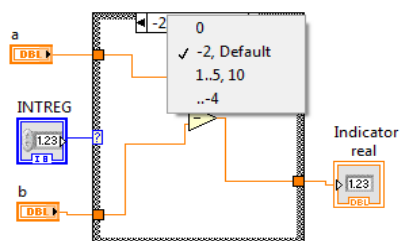


Fig. 2

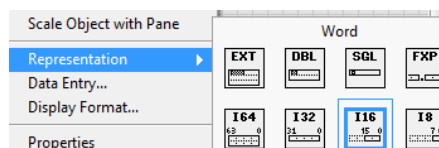


Fig. 3

de cele din listă (de exemplu valoarea -3).

Pentru a avea un control de tip întreg în PF, se poate introduce inițial un control real și schimba tipul de dată asociat controlului din *Representation* (click dreapta pe controlul real, Fig. 3) în I16 (întreg pe 16 biți), I8 etc.

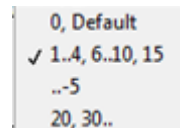


Fig. 4

Pentru exemplificare se prezintă în Figura 4 o altă variantă de selecție a cazurilor structurii Case.

1.3. Selector de tip Enum

Prin selectorul Enum este selectat un caz din două sau mai multe cazuri disponibile. Se consideră cele patru cazuri din exemplul precedent. Cazurile vor fi identificate prin șirurile de caractere asociate controlului Enum (Fig. 5): "adun", "scad", "mult", "+1". Valorile care ajung la selector sunt întregi (fir albastru), dar acestor valori întregi (0, 1, 2, ...) le corespund șiruri de caractere, conform cu tipul de dată enumerare (prezent și în limbajul C).

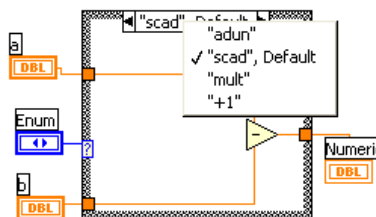


Fig. 5

Controlul de tip Enum se găsește în paleta Ring&Enum (Fig. 6). Pentru construcția diagramei din Figura 5, urmăm doi pași:

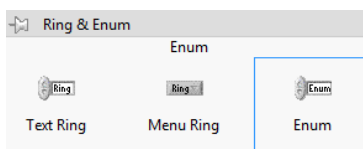


Fig. 6

- pas#1: se adaugă articolele (item) *Add Item After* dorite în controlul Enum,
- pas#2: se comandă *Add Case for Every Value* din structura Case (Fig. 7).

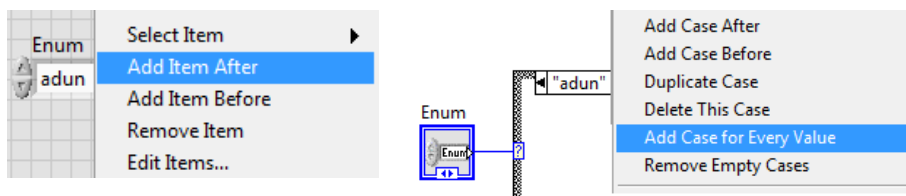


Fig. 7

1.4. Executați cazurile de mai sus în mod ciclic

Se va include fiecare exemplu într-o instrucțiune de ciclare While Loop. Oprirea ciclării se va realiza printr-un control de tip buton Boolean STOP (apasat=True) folosind terminalul condițional *Continue if True* sau *Stop if True*.

2. Suma elementelor pozitive dintr-un șir sau matrice folosind Case

2.1. Calculați suma elementelor pozitive dintr-un șir numeric 1D folosind structura de programare Case (Fig. 8) în locul operatorului Select.

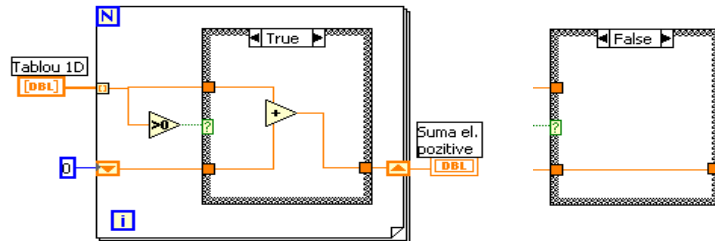


Fig. 8

2.2. Folosiți aplicația de calcul a sumei elementelor pozitive din șir și extindeți calculul la o matrice 2D, introducând un ciclu For suplimentar.

3. Suma elementelor de pe anumite linii din matrice

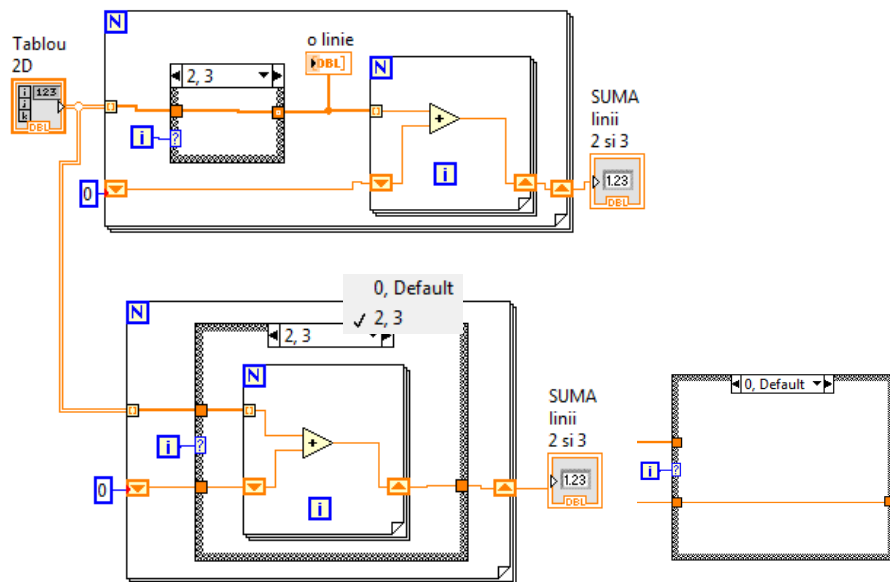


Fig. 9

În Figura 9 sunt două variante de rezolvare. Pentru ambele variante ciclul For exterior se repetă de atâtea ori câte linii sunt în matrice. Contorul i este selector pentru instrucțiunea Case.

În prima variantă, liniile 2 și 3 sunt trecute neschimbate prin Case spre ciclul For. Liniile diferite de 2 și 3 se transferă de 0 elemente, astfel ciclul For nu se repetă, dar valoarea din registru se transferă (setar stânga → setar dreapta).

În a doua variantă pentru liniile indice 2 și 3 este selectat cazul în care se observă un ciclu For interior (Fig. 9 jos); acesta asigură însumarea elementelor din

liniile indice 2 și 3 folosind registrul de transfer atașat. Pentru celelalte linii se intră în cazul 0, Default în care suma parțială din registrul shift trece neschimbată.

În structura Case, pot fi cazuri care nu prezintă fir de date conectat la tunelul de ieșire din Case. Valoarea implicită transferată pentru aceste cazuri este valoarea *implicită a tipului de dată* (Fig. 10), astfel: pentru numeric este 0; pentru șir de caractere este *șirul vid*; pentru boolean este *False*.

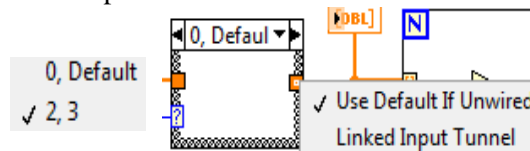


Fig. 10

4. Selectarea elementelor de pe pozițiile dorite din șirul real 1D

În Figura 11 este calculată suma elementelor reale situate pe pozițiile 2,3,4 și 6 în varianta cu instrucțiunea Case și în paralel în varianta cu Select.

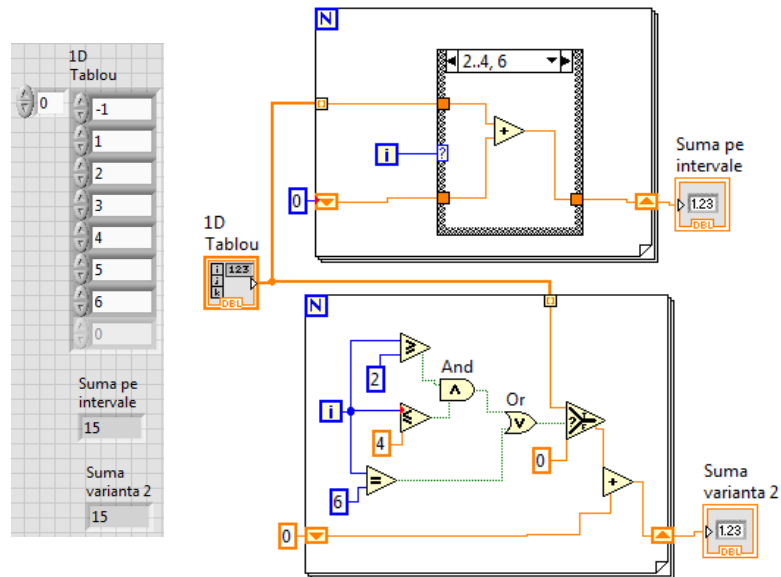


Fig. 11

5. Elementul maxim din matricea 2D și poziția acestuia

Se inițializează registrul *shift* cu valoarea primului element din matrice, indice (0,0) (Fig. 12). Pentru aceasta utilizăm Index Array din paleta Array.

Este parcursă întreaga matrice prin două cicluri For imbricate. La fiecare repetiție a ciclului For interior, elementul curent se compară cu valoarea maximă memorată în registru:

a) dacă elementul curent este mai mare sau egal, se execută cazul True => se introduce valoarea elementului curent în registrul Shift, iar indicii asociați elementului sunt afișați în PF,

b) altfel, se selectează cazul False => valoarea maximă din registru rămâne aceeași; valorile Col max, Lin max în PF se păstrează.

La finalul parcurgerii elementelor matricei, indicatorul *Max pe parcurs* și registrul shift exterior vor conține valoarea maximă (ultima întâlnită în tablou dacă sunt mai multe), iar indicatoarele *Col max* și *Lin max* indică linia și respectiv coloana elementului maxim.

Indicatorul *Maxim din array 2D* este setat pe iluminare intermitentă (blink) pentru 5 secunde prin succesiunea de comenzi: Create/Property Node/Blinking; Change to Write; setare pe True prin conectarea constantei True.

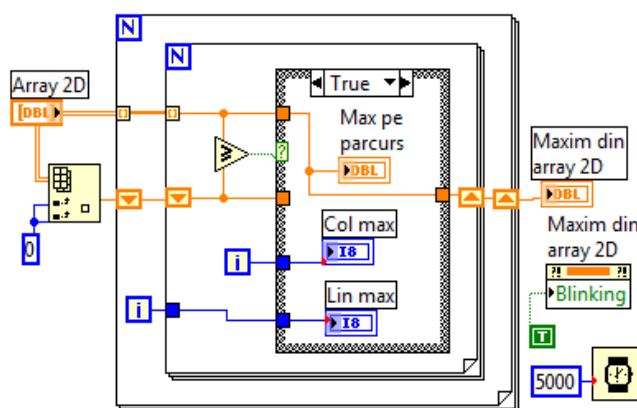


Fig. 12

6. Probleme propuse I

6.1. Pentru matrice pătratică și diagrama din Figura 12, reprezentați grafic linia și coloana care conține valoarea maximă.

6.2. Adăugați doi registre pentru salvarea liniei și coloanei elementului maxim și afișarea la ieșirea din cicluri pentru a avea acces la aceste valori în diagramă din exteriorul ciclurilor For,

6.3. Dacă elementul maxim este pe DP afișați mesajul 'Max pe DP' altfel 'NU DP'; în paralel, dacă elementul maxim este pe DS afișați 'Max pe DS' altfel 'Nu DS'. Se va folosi operatorul Select, iar tipul de dată selectat este șir de caractere (Fig. 13).

6.4. Reprezentați grafic linia și coloana care conține valoarea maximă (folosiți Index Array) după ieșirea din cele două cicluri.

6.5. Calculați media valorilor pozitive de pe liniile indice 2, 3 și 5 dintr-o matrice 2D oarecare, folosind Select.

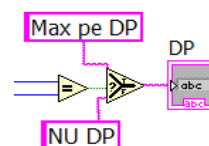


Fig. 13

7. Variabila locală - însumarea elementelor din șir/matrice

Se creează un indicator numeric (cu eticheta *Suma2*) care va memora succesiv sumele parțiale ale elementelor și suma finală (Fig.14). Asociat indicatorului numeric sunt create două variabile locale numite *Suma2* – ambele fac referire la indicatorul numeric (click dreapta mouse pe terminal indicatorul *Suma2*/Create/Local Variable). Cele două terminale ale variabilei locale sunt plasate astfel: una în ciclul For și a doua în exteriorul ciclului.

a) variabila locală plasată în corpul ciclului For citește valoarea indicatorului și o trimite la operatorul plus (cadrul *bold*=generează valoare în diagramă).

b) variabila locală din exteriorul ciclului primește valoarea 0 de la constantă și de asemenea atribuie valoarea de inițializare zero, indicatorului (etichetat *suma2*).

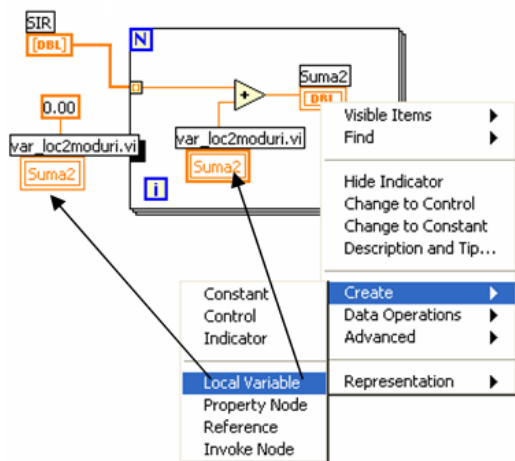


Fig. 14

Se observă comenzile Change To Read și Change To Write în Figura 15, cu acțiune asupra terminalelor variabilei locale.

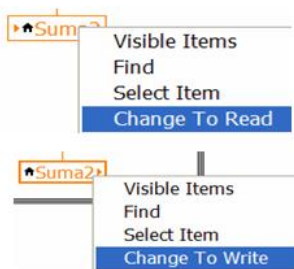


Fig. 15

8. Suma elementelor din matrice - varianta cu variabilă locală

Indicatorul *sume 2D* indică în panoul frontal toate sumele parțiale în timpul procesului de însumare. Variabila *Suma* indică numai suma finală a elementelor tabloului. La intrarea tabloului Tablou 2D în cele două cicluri For observăm indexare pentru ambele tuneluri de intrare. La tunelurile de ieșire din cicluri se asigură transferul ultimei valori, aceasta fiind suma finală (Fig.16).

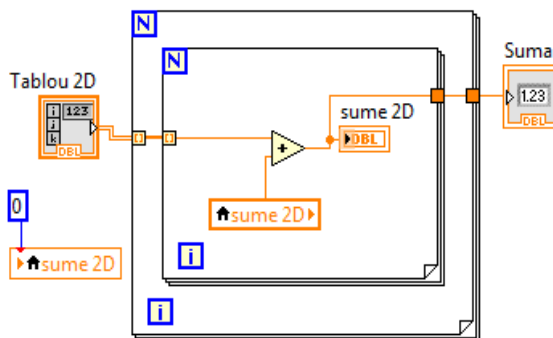


Fig. 16

9. Suma valorilor plasate pe diagonala principală - varianta cu variabilă locală

Calculul sumei elementelor de pe DP prin folosirea variabilei locale asociate indicatorului $x+y$ este în diagrama din Figura 17. Observăm controlul Real Matrix (conține valori reale în dublă precizie) în locul tipului Array 2D de valori reale. Array este tablou de valori de același tip: reale, logice, șir de caractere, tablou de structuri etc., deci este mai general.

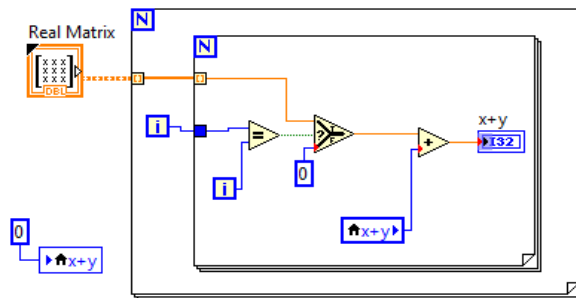


Fig. 17

10. Două cicluri While oprite cu un buton de Stop

În diagrama din Figura 19 sunt două cicluri While care se execută în paralel. Primul generează și afișează prin Waveform Graph câte un tablou 1D de valori numerice aleatoare. Al doilea ciclu vizualizează imediat fiecare valoare aleatoare generată în Waveform Chart (Fig.18). Un buton de Stop asigură oprirea primului ciclu. Printr-o variabilă locală asociată butonului de Stop se va comanda oprirea și a celui de al doilea ciclu (starea controlului logic se poate citi și din corpul ciclului al doilea). Ambele cicluri While sunt oprite prin terminalul condițional de tip *Stop If True*. Butonul apăsat generează valoarea logică True iar neapăsat generează valoarea False. Controlul Blinking poate impune iluminare intermitentă în Chart.

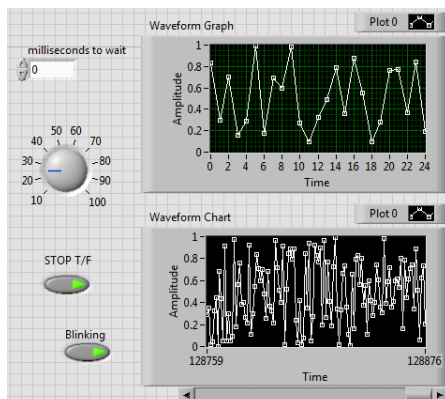


Fig. 18

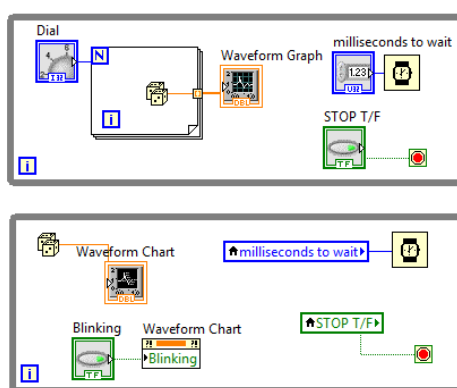


Fig. 19

11. Elementul maxim din șirul numeric - Case și variabila locală

Max 1D este un indicator numeric. Prima valoare din tabloul Array 1D inițializează Max 1D prin intermediul variabilei locale asociate (setată pentru scriere). În ciclul For valoarea curentă intrată în ciclu este comparată cu valoarea variabilei locale setate pentru citire (Fig. 20). La selecția cazului True este actualizat indicatorul Max 1D și indicatorul *poz* (poziția maximumului în șir). La selecția cazului False cele două indicatore nu sunt modificate.

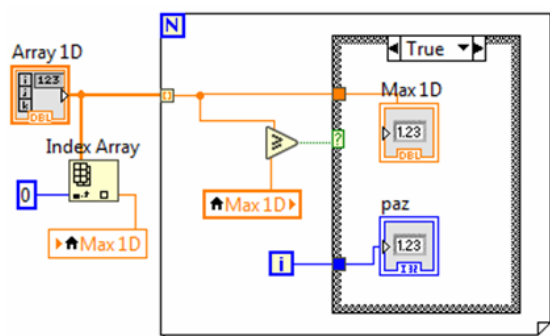


Fig. 20

12. Probleme propuse II

12.1. Calculați suma elementelor de pe diagonala principală a unei matrice pătratică folosind instrucțiunea Case și variabila locală.

12.2. Calculați elementul maxim dintr-un șir numeric 1D și poziția maximumului folosind instrucțiunea Case și variabila locală.

12.3. O matrice este control în PF. Modificați valorile din matrice și trasați interactiv graficul liniei în care se află elementul maxim din matrice.

12.4. Se generează o matrice având pe cele 4 linii câte 100 elemente generate de funcția Uniform White Noise.vi; se afișează matricea 4x100. În continuare se determină prin program poziția elementului maxim de pe linia a doua și se afișează în panoul frontal. Se va programa o variantă folosind registrul shift și în a doua variantă se va folosi variabila locală.

12.5. Se generează o matrice pătratică de valori aleatoare folosind două cicluri imbricate ambele While. Se va determina elementul maxim de pe diagonala principală și linia pe care este elementul maxim. Se reprezintă grafic diagonala principală.

12.6. Generați un șir A numeric de 20 valori aleatoare cu Gaussian White Noise.vi. Generați tabloul B de valori logice astfel: pentru valori pozitive din A să avem True în B, iar pentru valori numerice negative sau nule să avem False în B. Generați tabloul P care va conține numai numerele pozitive din A.

IV. Date de tip Cluster și structura de control Sequence

1. Date de tip cluster sau structură

Data de tip structură (cluster) este un mănunchi sau o colecție ordonată formată din unul sau mai multe elemente, sau câmpuri având tipuri diferite de date sau fiind de același tip. Fiecare element sau câmp din structură are asociat un număr de ordine: 0,1,2,3.... Structura/cluster în panoul frontal (PF) se găsește în paleta Array, Matrix&Cluster în varianta indicator și control.

1.1. Schimbarea valorii unei componente a structurii, accesul la componente

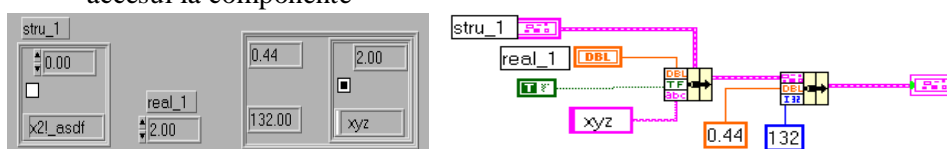


Fig. 1

Pentru modificarea valorii unui element al structurii se conectează structura cu eticheta *stru_1* (Fig. 1) la coloana a doua (din mijloc) a operatorului *Bundle* (Fig. 2). La stânga este prima coloană a operatorului *Bundle* și conține cele trei câmpuri ale structurii: *real/DBL*, *logic/TF* și șir caractere/*abc*; prin coloana din dreapta structura se conectează mai departe în diagramă, structura având eventual noi valori pentru anumite câmpuri. Calculați suma câmpurilor numerice din structura finală (0.44+132+2) și afișați suma în PF (se va folosi operatorul *Unbundle* din Figura 2).



Fig. 2

1.2. Folosirea numelor câmpurilor structurii

Pentru a referi elementele componente ale structurii de date prin numele etichetelor în scopul schimbării unor valori folosim operatorul *Bundle By Name*. Urmăriți aplicația din Figura 3. Pentru a accesa mai ușor o componentă din structură se preferă desfacerea mănunchiului de date cu operatorul *Unbundle by Name* (Fig. 4).

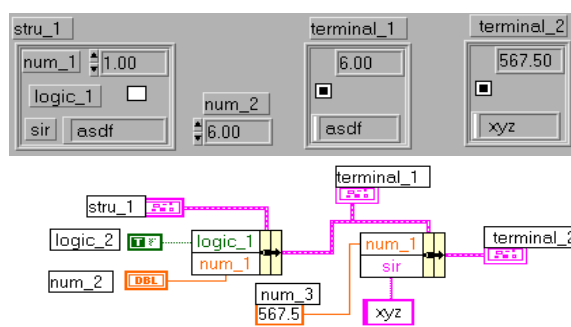


Fig. 3

1.3. Adunați câmpul numeric din controlul stru_1 cu cel din indicatorul terminal_2. Rezultatul se adaugă ca un nou câmp într-o structură mai generală care va conține și terminal_2. Se afișează ultima stuctură generată (terminal_3).

2. Aplicație cu studenți, discipline, note

2.1. Din tabloul de șiruri de caractere cu eticheta Tablou NUME, intră la fiecare iterație câte un nume de student în ciclul For (SESIUNE) (Fig. 5). Se compune o structură cu 4 câmpuri: șir caractere (nume student), Tablou Discipline, tablou note și media notelor. În continuare se adaugă un tablou cu 5 valori logice, câte una pentru fiecare notă/disciplină. Se generează *cluster 5camp*, o structură cu 5 câmpuri. O altă structură cu eticheta *cluster 4camp+Tabl bool* se afișează și conține o structură cu 4 câmpuri și tabloul cu 5 valori logice.

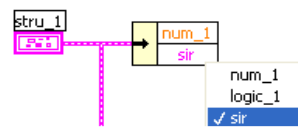


Fig. 4

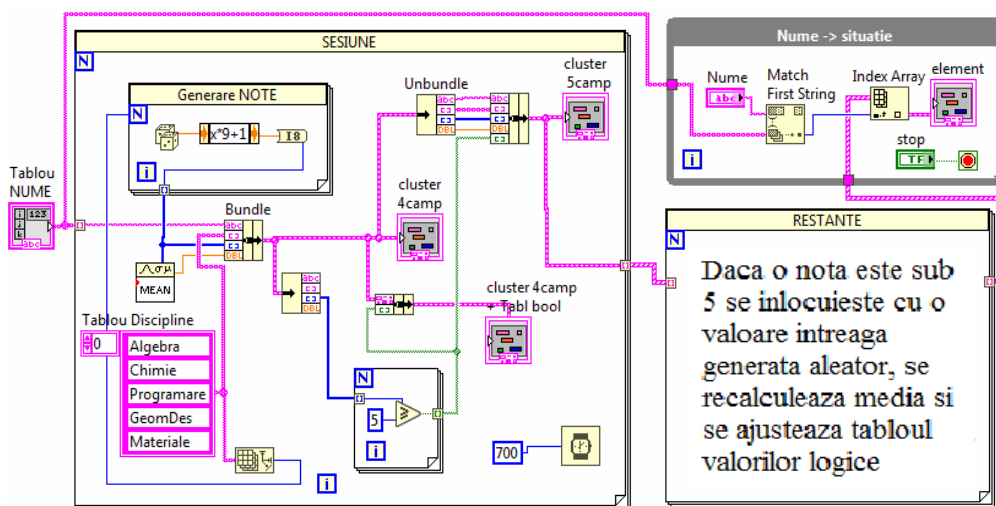


Fig. 5

Din ciclul SESIUNE iese întregul tablou de structuri. Fiecare structură conține situația unui student.

2.2. Se completează ciclul RESTANTE conform cu îndemnul scris în cadrul ciclului. În ciclul While (Nume -> situație) care se repetă până la apăsarea butonului de Stop, se selectează și afișează situația studentului introdus în controlul șir de caractere *Nume* (Fig.6). Funcția predefinită *Match First String* vi returnează poziția șirului (nume student) din *Tablou NUME*. *Index Array* returnează structura (situația studentului) selectată, din tabloul de structuri, prin indicele întreg.

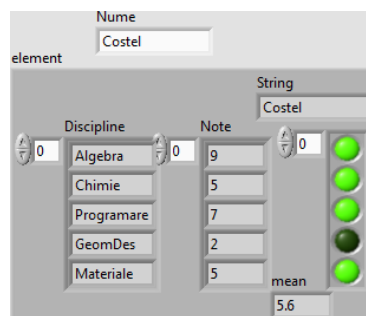


Fig. 6

2.3. Se va folosi Bundle by Name și Unbundle by Name în loc de Bundle/Unbundle în cadrul aplicației de mai sus (studenți, discipline, note).

3. Structura de control Sequence

Structura Sequence conține una sau mai multe *subdiagramme* sau cadre numerotate (0, 1, 2 ...) care sunt executate secvențial, în ordine crescătoare. Structura Sequence poate să apară în diagramă în varianta *Flat* pentru care cadrele sunt vizibile toate și înlanțuite în ordine de la stânga la dreapta și în varianta *Stacked* sau stivuite în care cadrele sunt suprapuse astfel încât numai codul grafic dintr-un cadru (cel curent) este vizibil, obținându-se o economie de spațiu ocupat în diagramă.

3.1. Măsurarea timpului consumat la execuția unui segment de cod

Se propune funcția *Tick Count (ms).vi* + structura Sequence cu trei cadre. În diagramă (Fig.7) se măsoară aproximativ timpul necesar unei ciclări care se execută în cadrul/secvența din mijloc. Funcția *Tick Count(ms).vi* este apelată de două ori. La momentul primului apel, furnizează o valoare în milisecunde (Timer). Valoarea returnată la apelul din secvența indice 2 va fi mai mare decât valoarea generată în prima secvență (indice 0). Diferența între valorile returnate este durata în milisecunde căutată. Când *timerul* atinge valoarea maximă întreagă $2^{32}-1$ următoarea valoare după incrementare este 0.

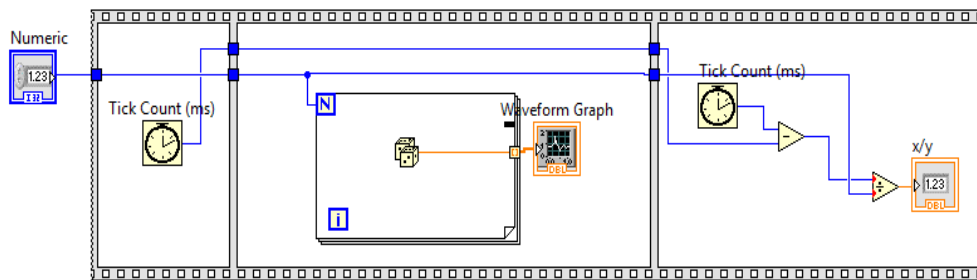


Fig. 7

În exemplul următor (Fig.8), în mod similar se verifică egalitatea dintre timpul măsurat și timpul de așteptare stabilit prin funcția *Wait (ms).vi*.

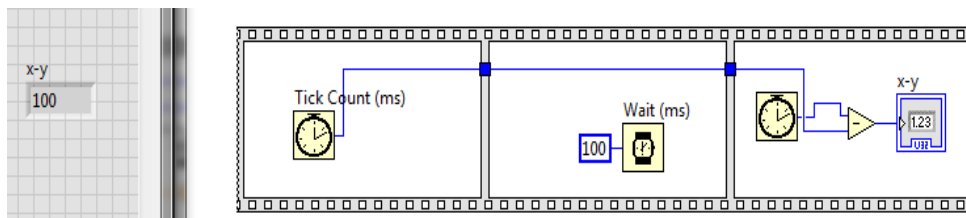


Fig. 8

Observăm valoarea 100 în PF, egală cu milisecundele impuse prin *Wait.vi*.

3.2. Ordonarea unui tablou 1D, afișarea și salvarea în format text

În exemplul următor (Fig. 9) este folosită o structură secvențială cu cadrele înlănțuite (flat). Aceasta va conține secvența indice 0 apoi se adaugă (Add Frame After) o nouă secvență (indice 1). Aplicația salvează într-un fișier text, pe o linie, valorile numerice din tabloul Array 1D în prima secvență, iar în a doua secvență în același fișier este adăugat (append to file?=T) șirul ordonat crescător cu valorile așezate pe coloană (transpose?=T). La execuția primei secvențe se va tasta sau selecta numele fișierului (în cadrul unei ferestre de dialog), iar numele fișierului în care se salvează va fi intrare pentru funcția Write Delimited Spreadsheet.vi (Fig.11) în a doua secvență.

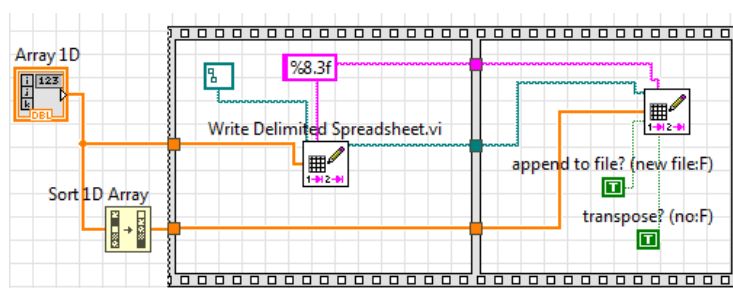


Fig. 9

Funcția Write Delimited Spreadsheet.vi convertește un tablou numeric 1D sau 2D având valori reale reprezentate în simplă sau dublă precizie, la tipul de dată șir de caractere, și-l salvează într-un fișier text.

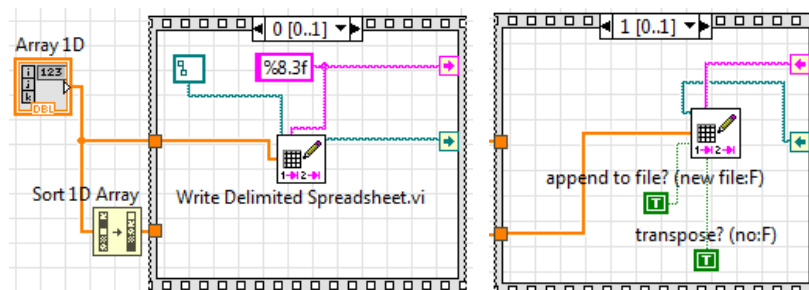


Fig. 10

În figura 10 același exemplu este refăcut în varianta de structură cu cadre stivuite (suprapuse). Această variantă se poate obține automat cu comanda *Replace/Replace with stacked sequence* (click dreapta pe antetul structurii).

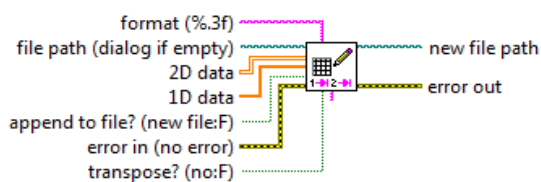


Fig. 11

Salvați șirul ordonat crescător și apoi cel inițial neordonat. Folosind operatorul *Reverse 1D array* ordonați descrescător și salvați în fișierul text. Formatul %8.3f indică salvarea valorii numerice pe un spațiu de 8 caractere din care trei sunt alocate pentru zecimală, unul pentru caracterul punct, iar restul pentru partea întreagă.

4. Verificarea unor relații matriceale

4.1. Verificați relația matriceală:

$$(A * B)^T = B^T * A^T$$

unde A, B sunt de tip matrice. A și B pot să nu fie matrice pătratice. Pentru operații cu matrice sunt folosite funcții din subpaleta Functions/Mathematics/Linear Algebra (Fig. 12). La intrarea și ieșirea din instrucțiunile de ciclare matricele și tablourile se comportă în mod similar.

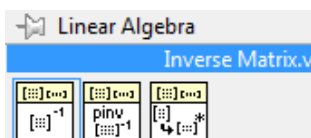


Fig. 12

4.2. Folosiți tipul de dată tablou/array 2D în locul tipului matrice accesând funcții din paleta Functions/Array. Observați testul de egalitate între tablouri, caz în care rezultă un tablou de valori logice (Fig. 14). Funcția *Equal?* (Fig. 13) prezintă două moduri de lucru pentru tablouri: a) compară element cu element de pe poziții similare în tablou și b) compară întregul tip de dată sau agregatul, caz în care rezultă o singură valoare logică.

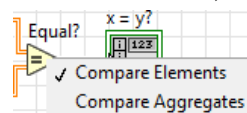


Fig. 13

4.3. Verificați de asemenea următoarele relații matriceale:

1. $(A * B)^{-1} = B^{-1} * A^{-1}$ (produsul inversat)
2. $(A + B) * C = A * C + B * C$ (distributivitate înmulțire față de adunare)
3. $(A^{-1})^T = (A^T)^{-1}$
4. $\det(A) * \det(A^{-1}) = 1$

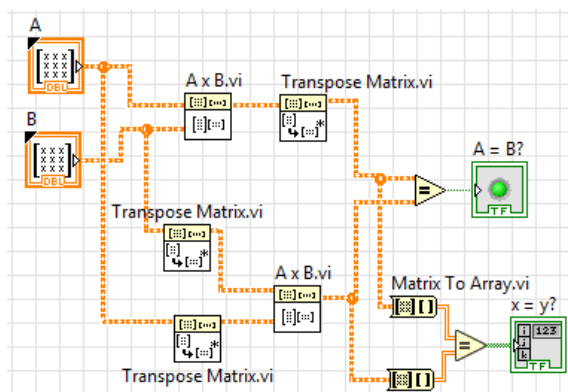


Fig. 14

V. Organizare pe pagini în Panoul Frontal cu Tab Control, funcția Sine Pattern.vi, semnale aleatoare, histograma

1. Funcția armonică $x(t)=a\cdot\sin(t)$, reprezentare grafică, media, RMS

1.1. Media valorilor (mean) pe una sau mai multe perioade este notată X_{mean} (\bar{x}) iar rădăcina din media pătratelor valorilor pe o perioadă (r.m.s. = root mean square) este X_{rms} (1).

$$\bar{x} = \frac{1}{n} \sum_{k=1}^n x_k \quad x_{\text{rms}} = \sqrt{\frac{1}{n} \sum_{k=1}^n x_k^2} \quad (1)$$

1.2. Să se verifice prin program relațiile dintre amplitudinea armonice (a), media valorilor absolute și rădăcina din media pătratelor valorilor pentru una sau mai multe perioade (2):

$$x_{\text{rms}} = 0.7071 \cdot a \quad x_{\text{mean}} = 0.6366 \cdot a \quad (2)$$

1.3. Se va crea o aplicație LabVIEW pentru generarea panoului frontal (PF) din Figura 1 (sunt folosite funcții din subpaleta Mathematics).

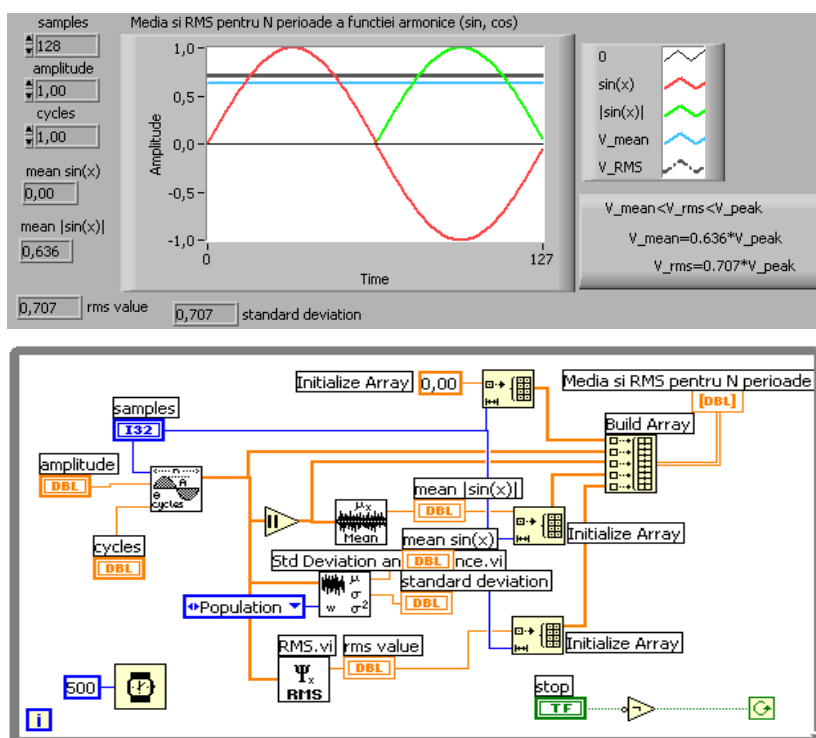


Fig. 1

Se va apela funcția Sine Pattern.vi (Signal Processing/Signal Generation). Prin intrarea *samples* este specificat numărul de eșantioane (128 implicit) sau valori generate în tabloul de ieșire (*Sinusoidal Pattern*). Prin *cycles* se impune

numărul de cicluri sinusoidale formate în semnalul de ieșire. Pictogramele funcțiilor apelate sunt vizualizate (Fig. 2) cu intrările și ieșirile asociate.

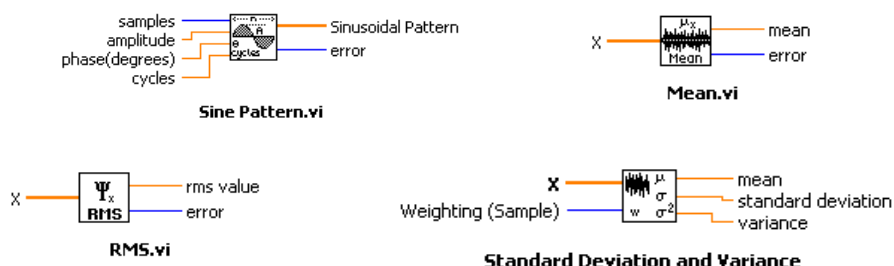


Fig. 2

Sunt generate cinci tablouri 1D, fiecare de câte 128 valori. Acestea prin funcția Build Array vor forma un tablou 2D de 5 linii și 128 coloane (0,...,127). Primul tablou 1D va trasa linia de zero (abscisa), al doilea tablou 1D trasează o perioadă a funcției sinus, urmează în ordine tabloul valorilor în modul, tabloul liniei asociată mediei modulelor de ordonată 0.6366·a și la final tabloul care va trasa linia de ordonată 0.707·a. Tabloul 2D este vizualizat grafic în PF prin Waveform Graph. Funcția Initialize Array generează un tablou 1D având 128 elemente, iar elementele au aceeași valoare (cea prescrisă). În Figura 3 se observă cazul în care s-au impus trei cicluri funcției Sine Pattern.vi.

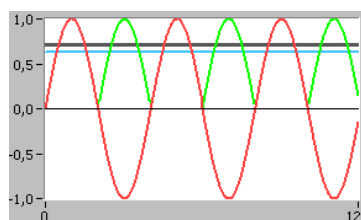


Fig. 3

2. Semnale aleatoare. Uniform white noise (Uwn), Gaussian white noise (Gwn), Periodic random noise (Prn) și histograma

2.1. Descrierea celor trei funcții care generează valori aleatoare

Funcția Gaussian white noise.vi (Gwn, Fig. 4) are intrarea samples = numărul de eșantioane (valori) din semnalul generat (implicit n=128); folosiți 1024, 2048 etc. Pentru a comanda împrăștierea valorilor în jurul mediei se prescrie o valoare pentru intrarea *standard deviation* (σ); aceasta este calculată cu relația (3).



Fig. 4

$$\sigma = \sqrt{\frac{1}{n} \sum_{k=1}^n (x_k - \bar{x})^2} \quad (3)$$

Gwn generează tabloul de n valori (Gaussian noise pattern). Pentru semnalul Gwn, densitatea de probabilitate a amplitudinii semnalului (domeniul timp)

urmărește curba lui Gauss (Fig. 5, sus), media aritmetică a valorilor semnalului este zero și deviația standard este notată cu sigma (σ).

Valorile semnalului Uniform white noise.vi (Uwn) prezintă aceeași probabilitate de apariție iar media aritmetică a valorilor semnalului este zero (Fig. 5, jos).

Semnalul Periodic random noise.vi (Prn) este o sumă de sinusoidă, fiecare sinusoidă având un număr întreg de cicluri; ciclurile sunt de aceeași amplitudine, dar faze aleatoare. Media valorilor semnalului Prn este zero.

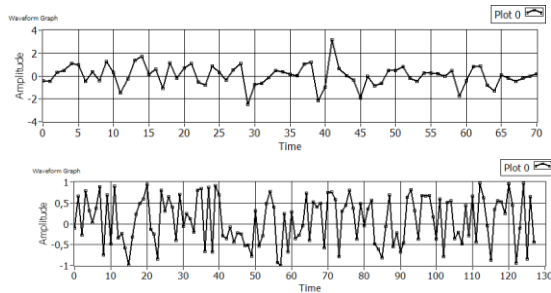


Fig. 5

2.2. Aplicație cu histogramă

Histograma $h(x)$ indică câte valori din șirul real de intrare (X) sunt în fiecare din cele m intervale. Intervalele au lățime egală:

$$\text{delta}_x = (\max(X) - \min(X))/m \quad (4)$$

Centrele celor m intervale sunt calculate cu relațiile:

$$\text{center}(i) = \min(X) + \text{delta}_x/2 + i * \text{delta}_x, \quad i=0,1,2\dots m-1. \quad (5)$$

Se consideră aplicația din Figura 6. *Histogram Graph* reprezintă histograma în grafic de bare, fiind o structură de 2 tablouri 1D. $h(x)$ este tabloul ordonatelor barelor sau numărul de valori găsite în fiecare interval, iar X Values este tabloul centrelor celor șapte intervale.

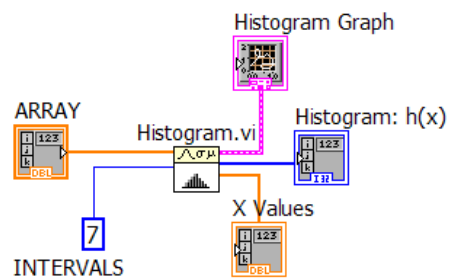
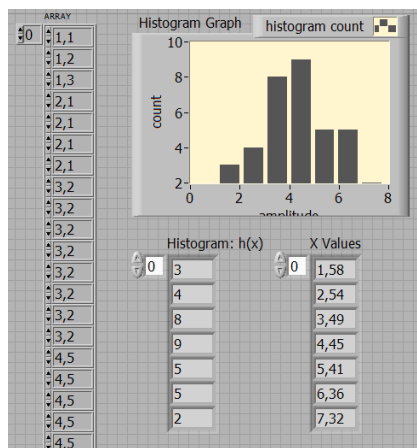


Fig. 6

Sugestiv, în Figura 7 sunt prezentate cele șapte intervale între $\min(X)$ și $\max(X)$ și valori în lungul axei Ox reprezentate prin puncte în cele șapte intervale. Sub abscisă sunt totalizate valorile din fiecare interval.

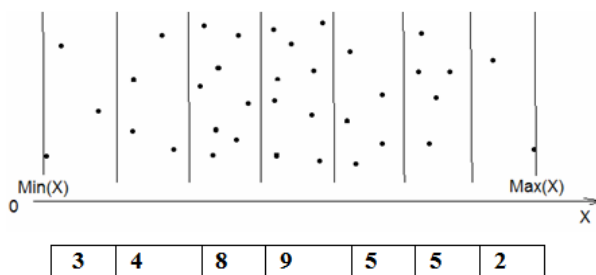


Fig. 7

3. Organizarea pe pagini în Panoul Frontal cu Tab Control

3.1. În Panoul Frontal (PF) se plasează un Tab Control (paleta Containers) cu trei pagini. Prima pagină a aplicației va conține o scurtă descriere a funcționării aplicației. A doua pagină, numită SINUS, conține Panoul Frontal al aplicației din Figura 1, iar în diagrama asociată paginii se găsește codul deja prezentat, având un ciclu While care se poate opri din pagina SINUS cu un buton de Stop numit Stop SINUS. A treia pagină, numită HISTOGRAME, vizualizează histograme pentru semnalele Gwn, Uwn și Prn în mod repetitiv (realizat cu al doilea ciclu While care se execută independent de primul), conform cu Panoul Frontal din Figura 8 și diagrama asociată din Figura 9.

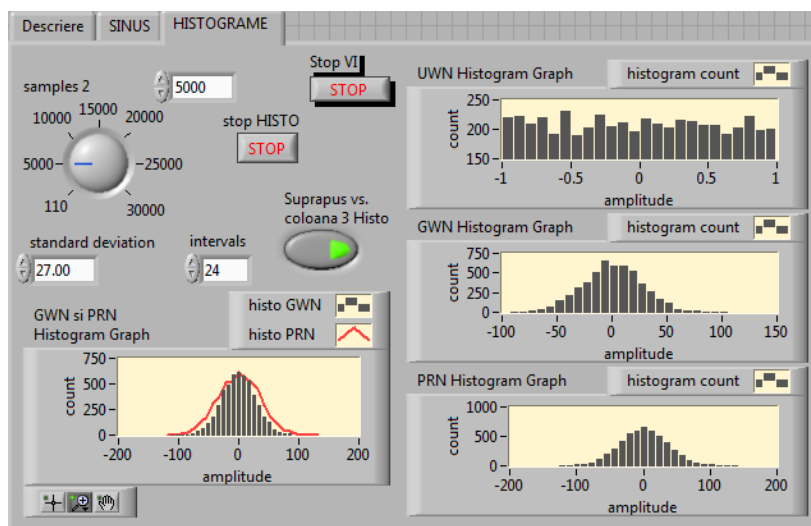


Fig. 8

Selectorul Boolean *Suprapus vs. coloana 3 Histo* activează afișarea coloanei celor trei histograme din dreapta PF sau fereastra grafică *GWN si PRN Histogram Graph* comandând unul dintre cazurile structurii Case din ciclul While (Fig. 9 și

Fig.10). Suprapunerea celor două histograme din fereastra *GWN si PRN Histogram Graph* se poate realiza prin modificarea (reglarea) deviației standard a semnalului Gwn generat la fiecare iterație.

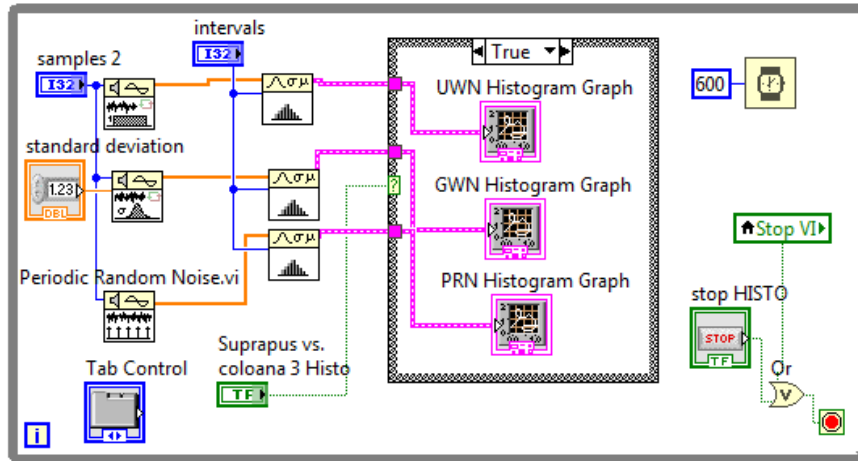


Fig. 9

3.2. Stop HISTO oprește numai ciclul asociat paginii HISTOGRAME. Stop SINUS oprește numai ciclul While asociat paginii SINUS. Butonul Stop VI este vizibil în toate cele trei pagini și oprește la apăsare *prelungită* întreaga aplicație, deci ambele cicluri While din diagramă. Butonul Stop VI este setat pe Properties/Operation/Switch *until released* (Fig. 11); acesta este creat în PF mai întâi în exteriorul suprafeței Tab Control (TC), apoi este selectat și mutat (folosind tastele săgeți) pe suprafața TC.

3.3. Pentru un anumit număr de eșantioane, modificați standard deviation (Gwn) până devin apropiate ca formă histogramele din fereastra *GWN si PRN Histogram Graph*, în care sunt suprapuse cele două histograme. Suprapunerea se realizează prin execuția cazului False al structurii Case, caz prezentat în Figura 10.

În graficul histogramele semnalelor Gwn și Prn am observat profilul de tip clopot (Gauss), iar pentru semnalul Uwn se obține palier orizontal.

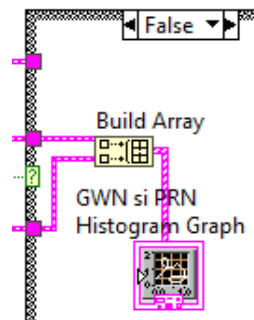


Fig. 10

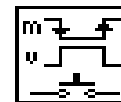


Fig.11

4. Probleme propuse

4.1. Să se verifice egalitatea dintre standard deviation (intrare) în Gaussian white noise.vi și deviația standard (σ) a valorilor numerice ce compun semnalul generat de Gaussian white noise.vi

4.2. Se reprezintă grafic histograma și puterea spectrală a unui semnal Gaussian white noise de 400000 eșantioane. Deviația standard (σ) va fi control în Panoul Frontal. Se va calcula folosind ciclări, procentual câte eșantioane sunt în fiecare din intervalele $(0, \sigma)$, $(-\sigma, 0)$, $(\sigma, 2\sigma)$, $(2\sigma, 3\sigma)$, $(-\sigma, -\sigma)$, $(-3\sigma, -3\sigma)$. (R:34% în primul interval).

4.3. Se generează și reprezintă grafic un semnal de tip Gaussian white noise. Se va calcula histograma semnalului cu funcția histogram.vi și în paralel cu programul propriu care împarte valorile semnalului în m intervale după relațiile (4) și (5) de mai sus.

4.4. Funcția Gaussian white noise.vi generează un semnal aleator cu medie zero; deviația standard va fi control. Se verifică repetitiv (folosind pentru calcule instrucțiuni de ciclare) corectitudinea relației de mai jos, pentru diverse valori ale deviației standard (Fig. 12).

$$\text{RMS}^2 = \text{deviația_standard}^2 + \text{media}^2$$

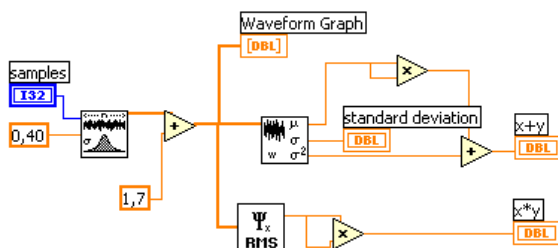


Fig. 12

4.5. Generați un tablou de 128 valori cu funcția Gaussian white noise.vi. Identificați valoarea maximă și poziția ei în semnal. Reprezentați grafic semnalul și marcați cu un pătrățel valoarea maximă din semnal.

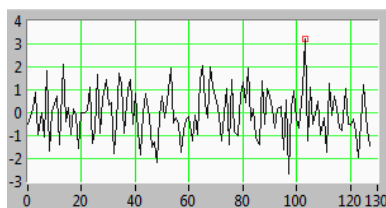


Fig. 13

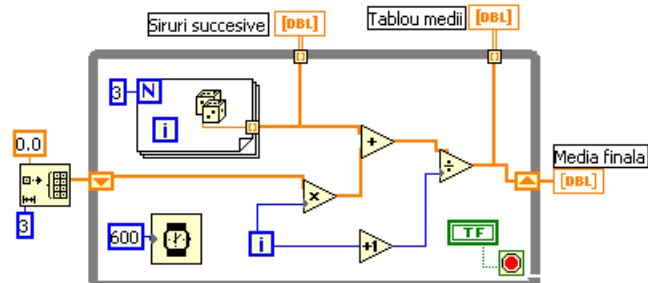


Fig. 2

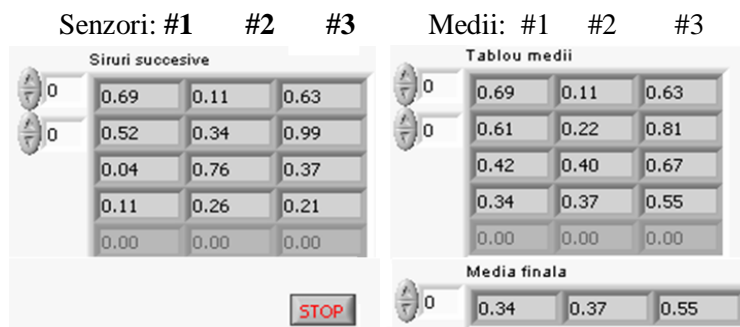


Fig. 3

1.3. Să se modifice programele pentru calculul mediei pătratelor și rădăcinii din media pătratelor pe fiecare din cele 3 coloane.

2. Funcția Mean PtByPt.vi pentru calculul mediei

Se reia diagrama precedentă la care se adaugă (Fig. 4) varianta de calcul care apelează funcția Mean PtByPt.vi din paleta Signal Processing/Point By Point.

Funcțiile din paleta Point By Point sunt scrise pentru analiza continuă a datelor pe măsură ce valorile sunt disponibile, punct cu punct (valoare cu valoare), spre deosebire de datele memorate în tablouri sau blocuri de date și procesate astfel în grup. Funcția (Fig. 5) calculează media aritmetică a valorilor din setul de date de intrare de

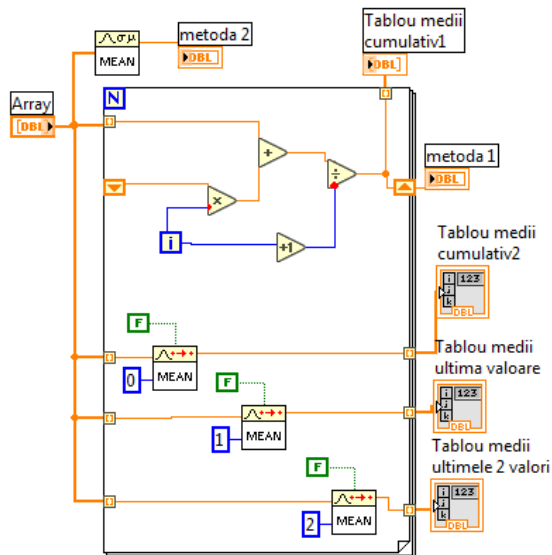


Fig. 4

lungime *sample length* (implicit 100). Dacă *sample length* este 0, funcția calculează media pe măsură ce valoarea curentă este disponibilă (cumulativ). Dacă *sample length* este mai mare decât zero, funcția calculează media ultimelor *n* valori apărute.

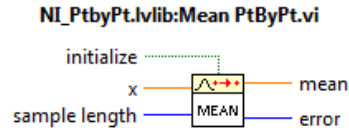


Fig. 5

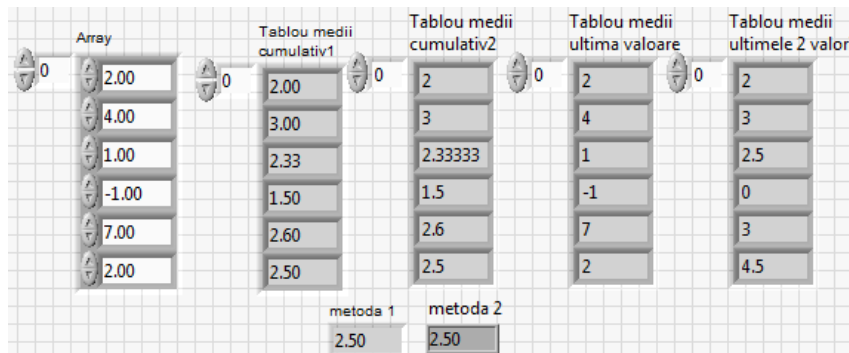


Fig. 6

În Panoul Frontal din Figura 6 se observă identitatea valorilor calculate prin cele două abordări în tablourile Tablou medii cumulativ.

3. Se caută o valoare într-un tablou numeric

Șirul numeric *a* de valori întregi este dat în panoul frontal. În cazul în care elementul căutat este găsit se returnează poziția elementului în șir. În caz contrar se afișează mesajul “Nu s-a găsit elementul”.

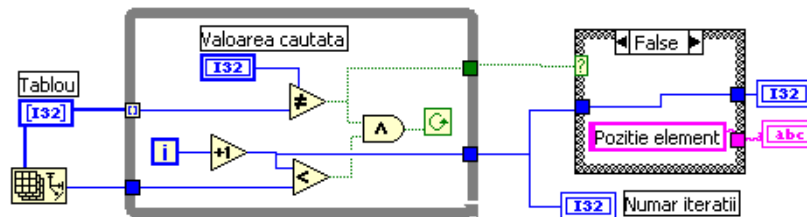


Fig. 7

Folosim un ciclu While pentru indexarea sau preluarea elementelor pe rând din tablou. În corpul ciclului sunt două comparații a căror rezultate logice sunt conectate la un AND logic care în continuare este conectat la terminalul ciclului While de tipul Continue if True.

Elementul curent este comparat cu valoarea căutată. Dacă diferă de aceasta și mai sunt elemente în șir de comparat se trimite valoarea logică True la terminalul ciclului, continuându-se cu iterația următoare. Dacă se găsește valoarea căutată, chiar dacă nu se parcurge întregul șir, se întrerupe ciclarea. Prin tunelul de ieșire

indicele elementului (+1) părăsește ciclul While și se afișează în panoul frontal. Valoarea False provenită din evaluarea expresiei logice $Valoarea\ cautata \neq a(i)$ comandă execuția cazului False a unei structuri Case pentru afișarea șirului de caractere 'Poziție element' (Fig. 8).

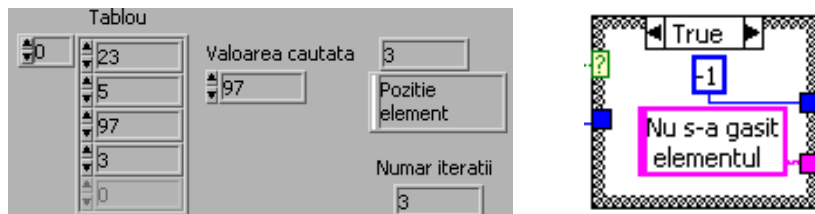


Fig. 8

4. Operații cu stivă - funcții pentru prelucrarea tablourilor

Se implementează o stivă de date numerice întregi. Stiva suportă trei operații: adăugare element în stivă (registru ID sus), extragere element din stivă (ultimul adăugat) și inițializare stivă (ștergerea tabloului din memorie = eliberarea memoriei).

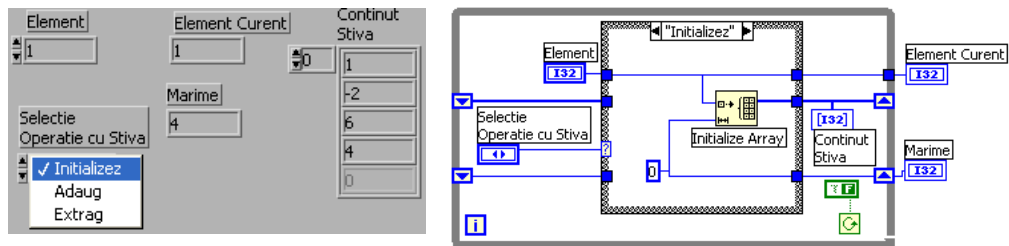


Fig. 9

În panoul frontal (Fig. 9) observăm conținutul stivei după patru operații de adăugare, ultimul element adăugat are valoarea 1. Un registru (tablou 1D) memorează stiva. Aceasta este actualizată în PF la ieșirea din Case. Registrul de jos conține numărul de elemente din stivă. Fiecare caz are trei intrări și trei ieșiri. În continuare sunt descrise succint cele trei cazuri.

Case "Initialize": generează (Initialize Array) tablou 1D vid care se va copia în registrul de sus; acesta memorează stiva (Fig. 9). Registrul de jos este inițializat cu zero.

Case "Adaug": Build Array (în varianta concatenare) adaugă un element la stivă și incrementează contorul memorat în registrul de jos (Fig. 10).

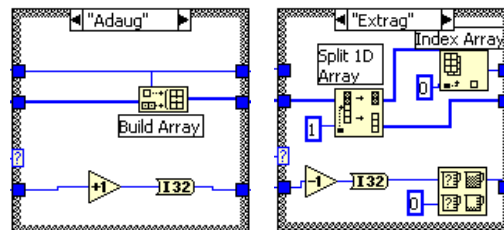


Fig. 10

Case "Extrag": din tabloul 1D stivă se separă un subtablou de un element din care cu Index Array se extrage unicul element și se trimite la indicatorul Element Curent. Al doilea subtablou (din Split) sau stivă se copiază în registrul de stivă. Numărul de elemente din stivă decrementează, dar nu scade sub zero.

5. Variante pentru calculul sumei elementelor de pe DP și DS în matrice

Se accesează direct elementele diagonalei matricei, fără parcurgerea întregii matrice. Este calculată suma elementelor de pe diagonala principală (DP) sau diagonala secundară (DS), ambele prin două variante (Fig. 11). În prima variantă observăm indexarea liniilor matricei la intrarea în ciclu, pentru controlul numărului de iterații. În a doua variantă intră în ciclu întreg tabloul.

i, j - indice linie, coloana; DP: $i=j$; DS: $i+j=n-1 \Rightarrow j=n-1-i$

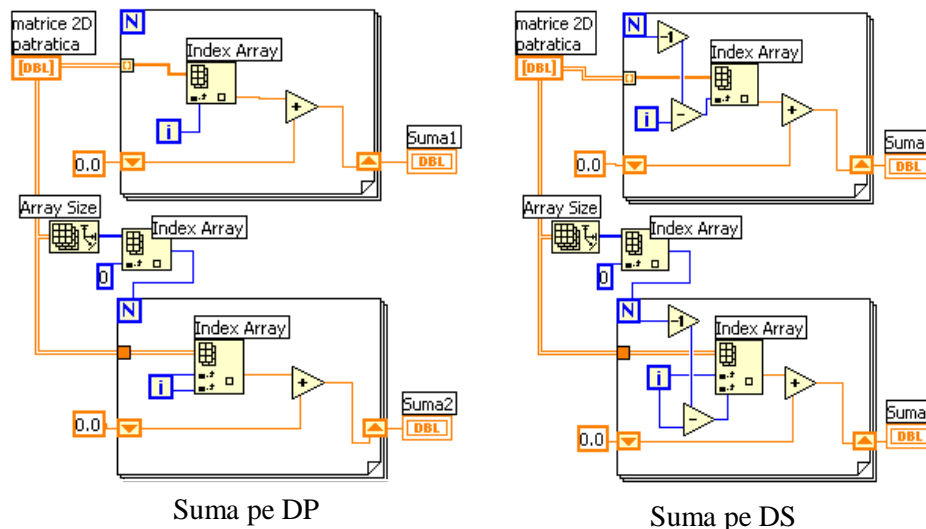


Fig. 11

6. Separare șir în două subșiruri: unul strict pozitiv, altul strict negativ

Pentru valoarea 0 sunt selectate cazurile False din ambele instrucțiuni Case, iar tablourile trec neafectate.

Pentru $valoare > 0$, instrucțiunea Case de sus execută cazul True și celălalt Case execută caz False.

Pentru $valoare < 0$, instrucțiunea Case de jos execută cazul True și celălalt Case execută cazul False. Șirurile rezultate sunt de lungimi diferite, astfel se va folosi Build

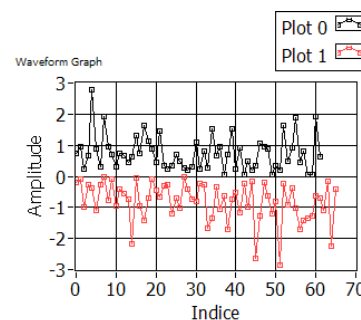


Fig. 12

Cluster Array (Fig. 13) pentru obținerea unui cluster de șiruri inegale. Urmează vizualizarea grafică cu Waveform Graph.

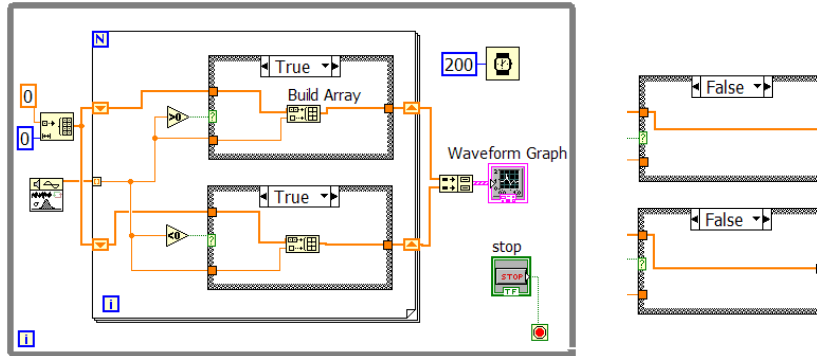


Fig. 13

7. Ordonarea unui șir de numere reale

7.1. Metoda bulelor - bubble sort

Se va ordona descrescător șirul de valori (inițial) copiat în registrul shift. În ciclul For interior se realizează comparații a câte două valori alăturate din șir:

$$a[j] < a[j+1]$$

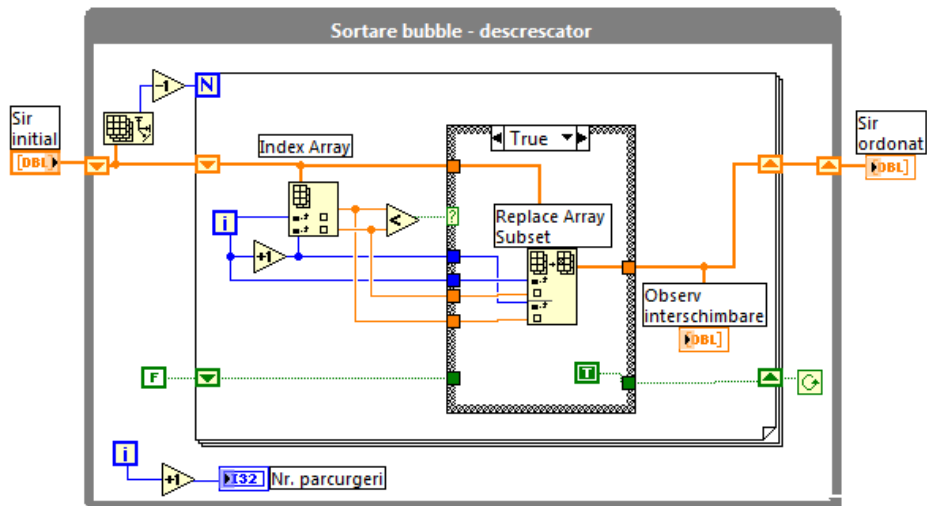


Fig. 14

Dacă $a[j] < a[j+1]$ este True se interschimbă cele două elemente alăturate, se actualizează registrul Shift de sus (conține tabloul supus ordonării) și se pune True în registrul Shift Boolean (de jos). Dacă $a[j] < a[j+1]$ este False, elementele comparate rămân pe pozițiile lor, iar registrul Boolean păstrează valoarea logică. După fiecare

comparație elementul mai mic va fi pe poziția cu indice mai mare, adică $a[j+1]$. Se începe cu $j=0$, caz în care are loc prima comparație $a[0] < a[1]$ și se termină cu $j=N-1$. *Replace Array Subset* realizează interschimbarea prin două înlocuiri: valoarea din tablou de la indicele i este pusă la indicele $i+1$, iar valoarea din tablou de la indicele $i+1$ este pusă la poziția i . Când are loc o parcurgere a șirului, fără nici o interschimbare, valoarea False din registrul de jos nu se schimbă și va opri ciclul While exterior. De fiecare dată ciclul For interior parcurge întregul șir inclusiv subșirul deja ordonat aflat la indici mari; aplicația se poate îmbunătăți prin expresia $\text{Array Size} - i - 1$ pentru setarea lui N (ciclul For) unde i este contor pentru While.

7.2. Metoda inserției

Registrul Shift al ciclului For exterior (Fig. 15) conține șirul pe tot parcursul ordonării descrescătoare a acestuia. Ciclul For exterior primește la terminalul N valoarea $\text{Array Size} - 1$, astfel se repetă de $n-1$ ori, unde n este numărul valorilor din șirul de ordonat.

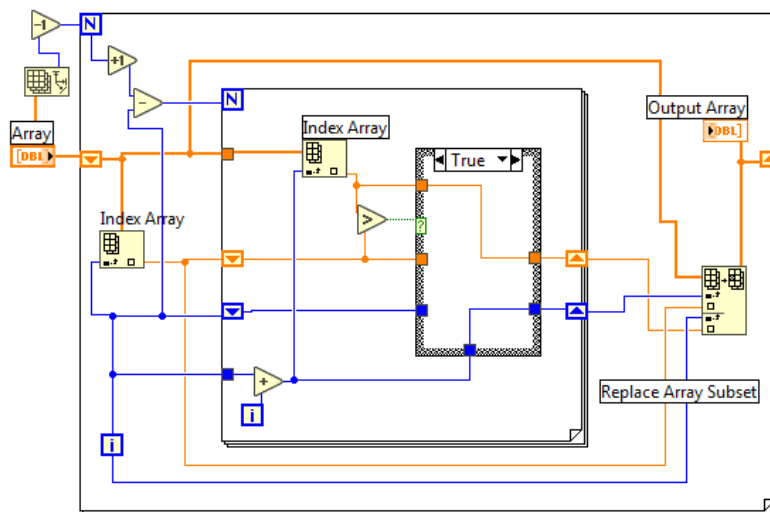


Fig. 15

La fiecare iterație a ciclului For exterior, ciclul For interior parcurge un subșir tot mai mic din șirul de ordonat. La prima iterație a șirului For exterior, ciclul For interior parcurge întregul șir de ordonat, găsește elementul maxim și poziția acestuia păstrate în cei doi regiștri Shift (atașați ciclului For interior); cazul True este selectat când valoarea curentă extrasă prin Index Array este mai mare decât cea din registrul Shift. În continuare are loc interschimbarea primului element din șir cu cel maxim găsit. Procesul se repetă. Prima poziție din șir fiind ocupată de cel mai mare element, procesul se repetă pentru subșirul din care este exclus primul element. Astfel, șirul For interior va parcurge subșirul rămas, găsește elementul maxim și poziția acestuia, iar la ieșire din ciclul For interior are loc din nou interschimbarea elementelor. Acest proces în final realizează aranjarea descrescătoare a valorilor numerice din tablou.

8. Extragerea unor linii din matricea 2D și generarea unei submatrice

Se vor extrage liniile dorite din tabloul numeric Array 2D și se va forma o nouă matrice cu acestea (Fig. 16, Fig. 17). Se inițializează registrul Shift cu o matrice (tablou 2D) de zero linii și zero coloane de tip numeric.

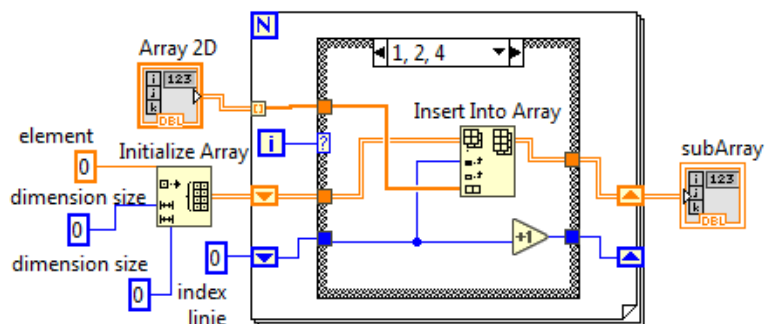


Fig. 16

La fiecare iterație a ciclului For linia curentă a tabloului Array 2D (intrată prin indexare în ciclul For) este verificată cu ajutorul structurii Case dacă se află printre liniile selectate de a face parte din noua submatrice. În caz afirmativ cu funcția *Insert Into Array* se adaugă linia selectată în noul tablou la poziția dictată de valoarea întreagă *index linie* conținută în al doilea registru de transfer. Inițial acest registru are valoarea 0 și incrementează după fiecare linie adăugată. Cazul *0 Default* asigură trecerea fără modificarea datelor din registrul conținând matricea și a celui care conține indicele liniei.

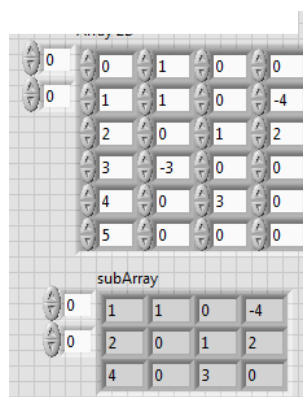


Fig. 17

9. Rezolvarea unui sistem de ecuații liniare și verificarea soluției

Fie un sistem de ecuații liniare scris matriceal:

$$Ax=B$$

Sistemul este rezolvat prin apelul funcției *Solve Linear Equations.vi* (Fig.18). Pentru a eficientiza calculul soluției se specifică tipul matricei coeficienților sistemului prin controlul *matrix type* și selecția unei valori din lista:

- general (0),
- matrice pozitiv definită (1),
- matrice triunghiulară jos (2) sau
- matrice triunghiulară sus (3).

În diagrama din Figura 19 se observă, după rezolvarea sistemului, verificarea soluției prin înmulțirea fiecărei linii a matricei coeficienților (A) cu soluția coloană (X) și suma produselor.

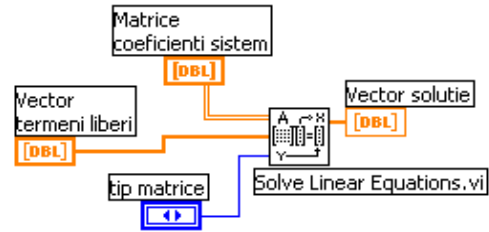
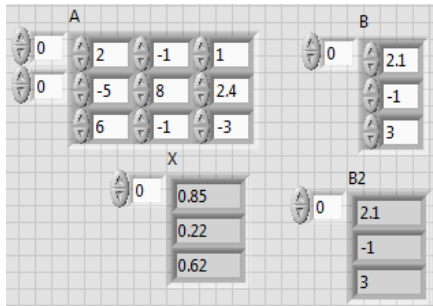


Fig. 18

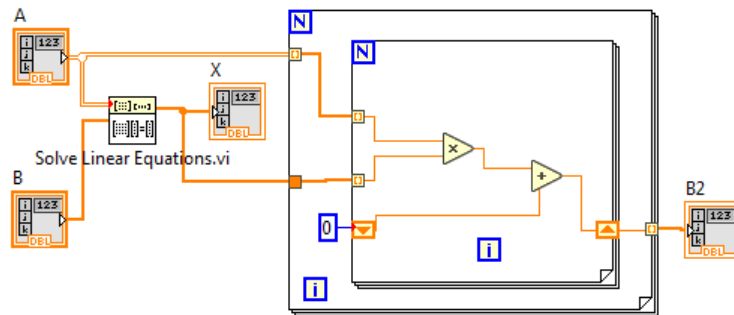


Fig. 19

10. Studiul unei funcții date prin control și de caractere - grafice asociate

Aplicația urmărește un exemplu disponibil în cadrul mediului LabVIEW. Se introduce în PF (Fig. 20) expresia unei funcții în controlul de tip șir de caractere numit *formula*, aceasta fiind *funcția de studiu*.

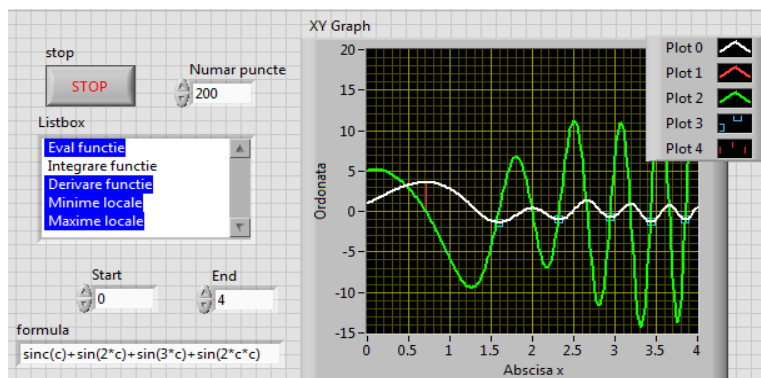


Fig. 20

Evaluarea funcției algebrice se face repetitiv în cadrul unui ciclu While, oprit cu butonul de stop. Controlul *Listbox* comandă o structură Case (Fig. 21). *Listbox* conține o listă cu următoarele articole: Eval funcție, Integrare funcție, Derivare funcție, Minime locale și Maxime locale (numerotate de la 0 la 4). Controlul *Listbox* generează un tablou de valori întregi; tabloul conține numai pozițiile selectate din listă. Acest tablou intră cu indexare în ciclul For, ciclul care se repetă de atâtea ori câte poziții sunt selectate în *Listbox*. Se inițializează registrul de transfer asociat ciclului For cu un tablou de cinci structuri. Fiecare structură conține două tablouri 1D de valori reale, unul conține abscise și al doilea ordonatele (asociate unei curbe). Inițial tablourile sunt cu zero elemente. Aceste tablouri vor conține valori numerice, în urma prelucrării funcției de studiu, în vederea reprezentărilor grafice.

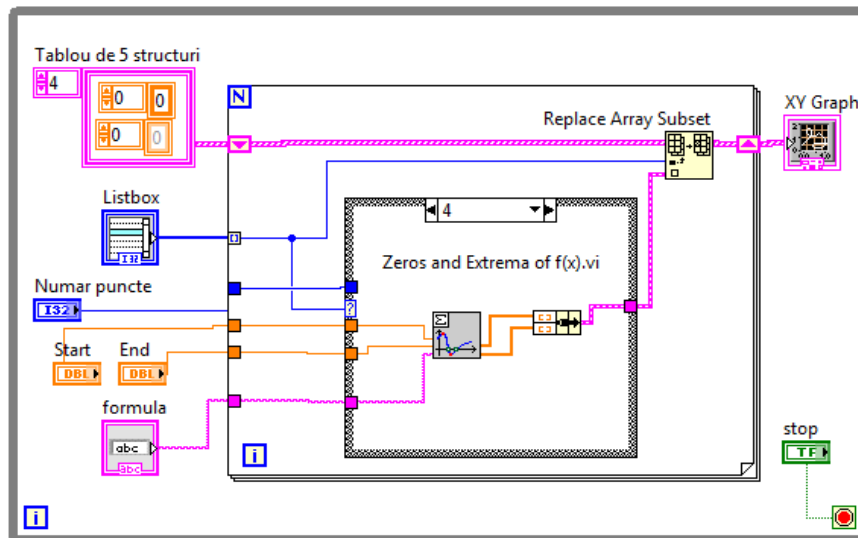


Fig. 21

Funcțiile folosite în cazurile instrucțiunii Case sunt următoarele:

Integration.vi, *Differentiation.vi*, *Eval $y=f(x)$.vi*, *Zeros and Extrema of $f(x)$.vi*. Funcțiile sunt plasate în subpaletele: Calculus, Zeros și 1D & 2D Evaluation observate în Figurile 22 și 23.

În controlul *Listbox* (1D array of long [32 bit integer]) se marchează (CTRL+click mouse) acțiunea sau acțiunile dorite din listă. Modul de lucru al listei este specificat prin *Selection Mode*, acesta fiind setat pe *0 or More Items* (Fig. 24).

Tabloul de structuri este intrarea acceptată de indicatorul *XY Graph* pentru a trasa mai multe grafice. Prin combinația Ctrl+Mouse se adaugă sau elimină articole din *Listbox*. Tabloul de valori întregi care conține articolele selectate din *Listbox* intră cu indexare în ciclul For și selectează pe rând cazurile care se execută în Case. În fiecare caz din Case este apelată o funcție din subpaletele amintite. Fiecare funcție primește expresia funcției de studiu din controlul *formula* și generează o

structură de două tablouri (abscise și ordonate) care (structură) actualizează tabloul de cinci structuri la poziția indicată de indicele curent al tabloului generat de Listbox. Tabloul de structuri intră în XY Graph și astfel se vor vizualiza zero, una sau mai multe curbe.

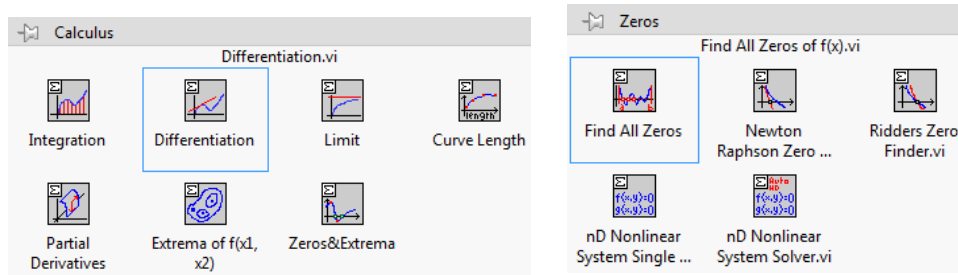


Fig. 22

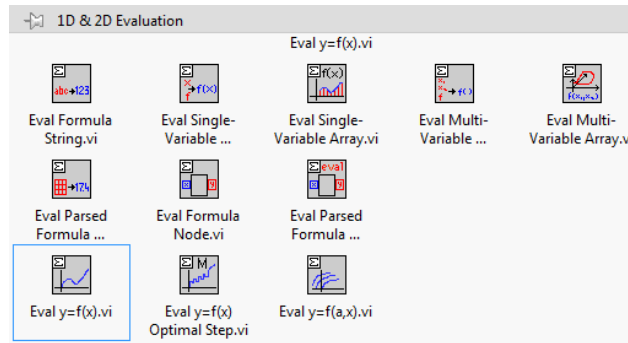


Fig. 23

La fiecare repetiție a ciclului exterior While, în funcție de articolele selectate din Listbox, se execută cazurile din Case potrivite (conform cu selecția făcută), iar structurile corespunzătoare sunt actualizate în cadrul tabloului *Tablou de 5 structuri*. Conform cu prelucrările matematice selectate (evaluare funcție, integrare funcție etc.) se vor vizualiza curbele corespunzătoare în XY Graph.

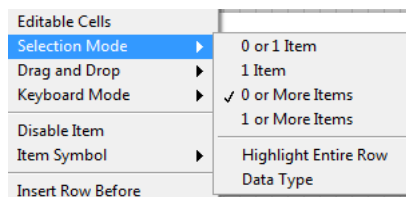


Fig. 24

VII. Formula Node, inserare cod limbajul C, Call Library Function Nod

1. Formula Node, utilizare cod limbajul C

Formula Node este o structură de programare care permite evaluarea de expresii mai complexe scrise cu sintaxa C și execuția de programe în limbajul C. Pe marginile structurii se pot adăuga variabile de intrare prin comanda Add Input (Fig. 1). Acestea primesc valoare din exteriorul structurii Formula Node. Prin comanda Add Output se adaugă variabile de ieșire. Acestea primesc valoare în urma evaluării expresiilor de forma: $Var_out = expresie;$

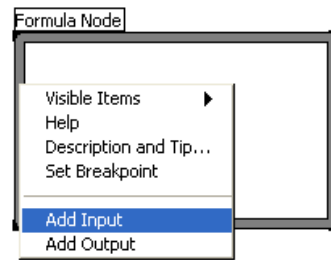


Fig. 1

1.1. Evaluarea unor expresii numerice

În Figura 2, observați operatorii din expresii (? : , **, /) și funcțiile matematice apelate. x1 și x2 sunt variabile de intrare în Formula Node, iar y1, y2, y3 și y4 conțin valori de ieșire, calculate. Operatorul ternar este de forma:

$$variabila = exp_cond ? expT : expF$$

Se evaluează expresia condițională. Dacă valoarea expresiei exp_cond este True, atunci se evaluează expresia $expT$, iar valoarea obținută se atribuie variabilei din stânga semnului egal. Dacă exp_cond are valoarea False, se evaluează $expF$, iar valoarea obținută se atribuie variabilei din stânga semnului egal.

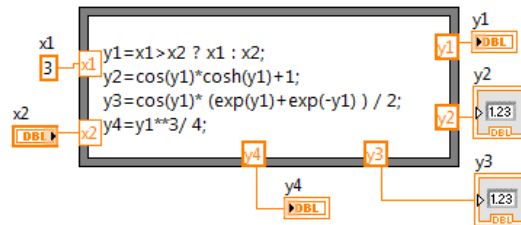


Fig. 2

1.2. Suma valorilor din șirul numeric Array1D

Este folosit ciclul For din LabVIEW și în paralel cod C scris în Formula Node. Variabilele x și ne sunt parametri de intrare în Formula Node (Fig. 3). Variabila sum este parametru de ieșire (calculat).

$int\ i;$ – este declarația variabilei i de tip întreg,

$float\ sum=0;$ – este declarația variabilei sum de tip real și initializare cu 0.

În ciclul For se însumează elementele din șir astfel:

- 1) $i=0$ – reprezintă $expr1$ din Figura 3,
- 2) dacă $i < ne$ ($expr2$) este T → se execută corpul ciclului: $sum=sum+X[i];$
iar dacă $expr2$ este F → se iese din ciclul For,
- 3) $i++$ ($expr3$) crește variabila i (incrementează) cu 1,

4) se execută pasul 2) din nou.

1.3. Suma valorilor numerice din Array (2D), cod C în Formula Node

În diagrama din Figura 4 sunt doi parametri de intrare: *dim* este un tablou 1D conținând două valori întregi (*nl* = numărul de linii și *nc* = numărul de coloane din tabloul 2D al valorilor numerice de adunat) și *X* este numele tabloului Array (2D) de valori reale, nume care va fi folosit pentru accesarea valorilor în codul C. Observăm două cicluri for imbricate astfel: ciclul exterior parcurge liniile tabloului 2D, iar cel interior parcurge pe rând elementele liniei curente (deci coloanele).

Parametrii de ieșire *nl* și *s* sunt valori scalare.

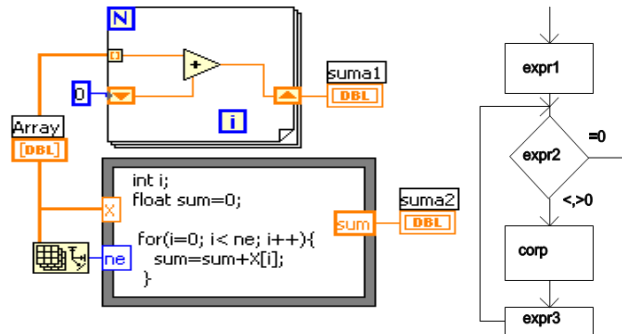


Fig. 3

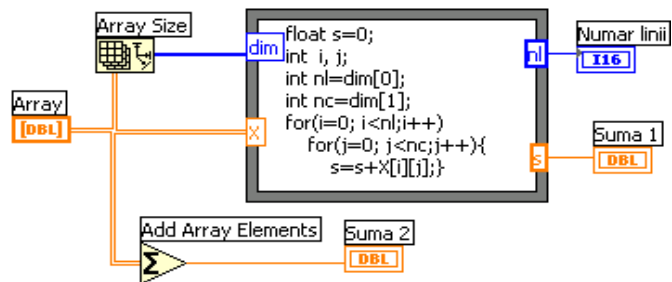


Fig. 4

1.4. Suma anumitor elemente din tabloul (1D) - ciclul While (C)

În Figura 5 este folosit ciclul While condiționat anterior din limbajul C, pentru parcurgerea întregului șir de valori ale tabloului *X*. *ne* este numărul de elemente returnat de Array Size. Dacă valoarea elementului curent este în intervalul (0, 10), valoarea este adunată la variabila *sumP*. În variabila *sum* sunt adunate toate elementele tabloului.

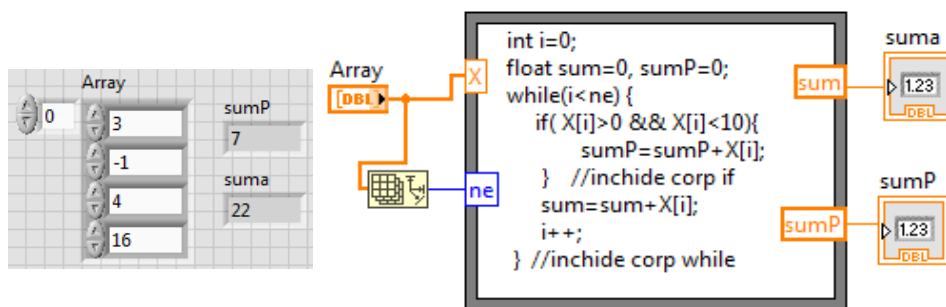


Fig. 5

2. Apel C/C++ DLL din LabVIEW

2.1. Se creează un proiect DLL din CodeBlocks IDE în C/C++
File/ New/ Project... (Fig. 6);

Din fereastră selectăm pictograma Dynamic Link Library (Fig. 6);

Scriem titlul proiectului: SumaTablouDLL;

Selectăm Compiler: GNU GCC Compiler și bifăm numai Create "Release"...

Se creează fișierul sursă C++: *main.cpp*

și un fișier header: *main.h*.

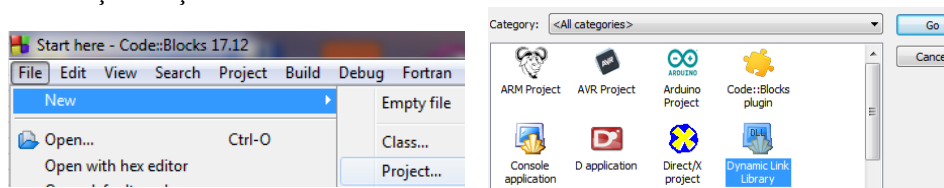


Fig. 6

Fișierul cod sursă *main.cpp* (șablon propus) după adăugarea codului pentru realizarea sumei elementelor pozitive din tablou mai mici decât 10, va conține:

```
#include "main.h"
// a sample exported function
float DLL_EXPORT SumPoz(const LPCSTR sometext, float X[], int ne )
{
    // ↓ funcție Win32 API pentru configurare Box dialog cu mesaj
    MessageBoxA(0, sometext, "DLL Message", MB_OK | MB_ICONINFORMATION);
    int i=0; float sum=0;
    while( i<ne ) {
        if( X[i]>0 && X[i]<10)
            sum=sum+X[i];
        i++;
    }
    return sum;
}
.....
```

Fișierul header *main.h* (șablon propus) conține declarația funcției *SumPoz()*:

```
.....
extern "C"
{ #endif
float DLL_EXPORT SumPoz(const LPCSTR sometext, float X[], int ne );
#ifdef __cplusplus } ...
```

2.2. Generarea bibliotecii dinamice DLL de programe compilate în format executabil folosind comanda *Build Ctrl+F9 => Output file is bin\Release\SumaTablouDLL.dll*.

Se corectează erorile dacă sunt.

DLL este o bibliotecă dinamică de programe compilate în format executabil (.exe). Programele pot fi folosite prin apelul lor în timpul execuției altor aplicații.

LIB este bibliotecă statică, conține programe compilate care se leagă la început în cadrul unui program care le apelează și vor fi incluse în executabilul acelui program. Dacă două programe A și B apelează același program executabil (E) din LIB, ambele (A și B) vor fi mai mari prin includere la început prin link-editare.

2.3. Call Library Function Nod din LabVIEW

Funcția Call Library Function Nod din *Connectivity/Libraries & Executables/...* (Fig. 7) apelează cod extern din biblioteca DLL (Dynamic Link Library). Se poate expanda (asemănător cu Bundle) și configura nodul *Call Library Function Node* pentru a preciza biblioteca, funcția, parametrii funcției și valoarea returnată.

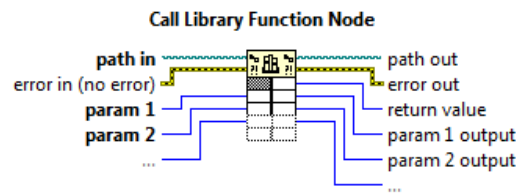


Fig.7

Nodul conține câte un terminal pereche intrare-ieșire pentru fiecare parametru al funcției SumPoz. Prin terminalul din stânga se trimite un parametru (date) în funcție iar prin cel corespunzător din dreapta se citește valoarea parametrului după execuția funcției.

Return value este valoarea returnată a funcției. Dacă tipul datei returnate de funcție este *Void*, terminalul cel mai de sus-dreapta nu este folosit. Implicit 'calling convention' este C.

2.4. Detalii despre pasarea parametrilor

În funcția din SumPoz.dll cei 3 parametri sunt: șir de caractere/string, tablou/array numeric real (float) și numeric întreg pe 32 biți. Funcția returnează suma elementelor din tablou cu valori între 0 și 10 (float 4 bytes). În general pentru tipul numeric se pot folosi subtipurile: întreg pe 8, 16, 32, 64-bit, cu semn sau fără semn, și tipurile real pe 4-byte (single-precision numbers) și 8-byte (double-precision numbers).

În figurile de mai jos este prezentat modul de configurare prin comanda Configure... (Fig. 8) a parametrilor nodului *Call Library Function Nod*.

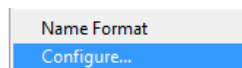


Fig. 8

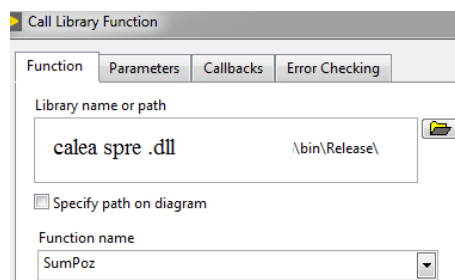



Fig. 9

În secțiunea Function (Fig. 9) se specifică calea ...bin\Release\ *nume.dll* spre biblioteca .dll creată din platforma Code::Blocks. Cu butonul  (secțiunea Parameters) se adaugă trei parametri: arg1, arg2, arg3. În cele patru panouri din Figura 10, se specifică tipul valorii returnate de funcție și tipul celor 3 parametri.

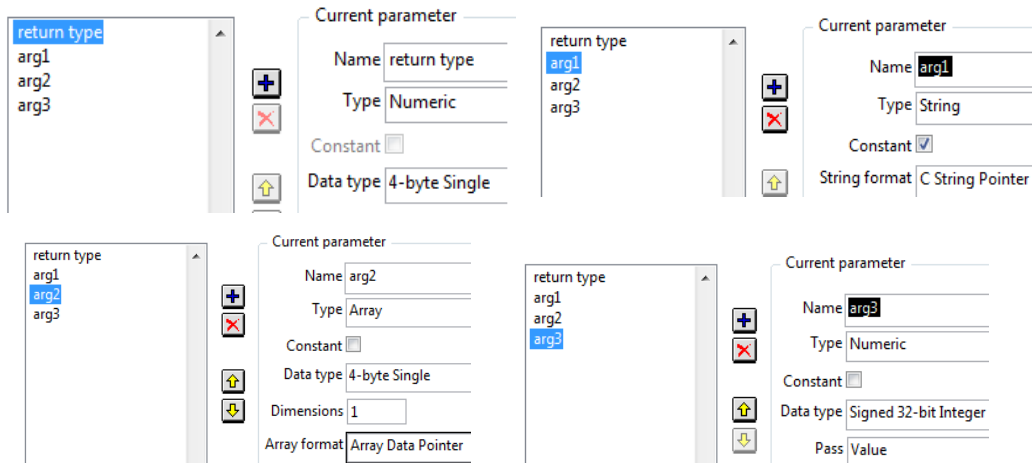


Fig. 10

Funcția SumPoz primește 3 parametri actuali (cunoscuți) (Fig. 11):
 arg1: șirul de caractere 'apel DLL C',
 arg2: tabloul de valori reale (control în PF) (20, 1, -3, 7) și
 arg3: numărul de valori reale din tablou, returnat de Array Size.

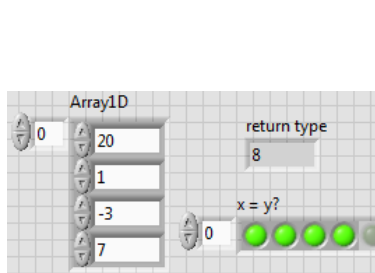


Fig. 12

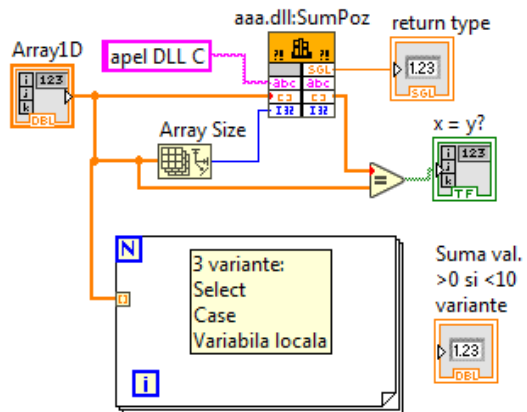


Fig. 11

În Panoul Frontal al aplicației (Fig. 12) indicatorul *return type* afișează suma elementelor cu valori în intervalul (0, 10) și egalitatea la nivel de elemente între tabloul de intrare și cel de ieșire din funcție sub forma tabloului de valori logice (toate sunt True fiindcă tabloul nu se modifică în funcția apelată).

2.5. Să se includă în ciclul For (Fig. 11) codul grafic LabVIEW, pentru calculul sumei elementelor pozitive și mai mici decât 10, folosind trei variante:

Select în prima variantă, Case pentru selectarea valorilor și adunarea elementelor în a doua variantă, și variabila locală în locul registrului Shift în a treia variantă.

3. Apel script MATLAB (MATLAB script node)

Se poate include cod script Matlab în structura de programare *MATLAB script node*. Execuția codului are loc prin apelul produsului software MATLAB®. Produsul Matlab trebuie să fie instalat în calculator (versiunea 6.5 sau o versiune mai recentă). Se introduce în diagramă structura de programare MATLAB Script din paleta Mathematics/Script&Formula/Script Nodes.

Se va calcula media, deviația standard și varianța pentru un șir de valori numerice $X(i), i=1, \dots, n$. Variabilele de intrare și ieșire sunt următoarele:

add input: tabloul x,

add output: media, variance1, dev_st.

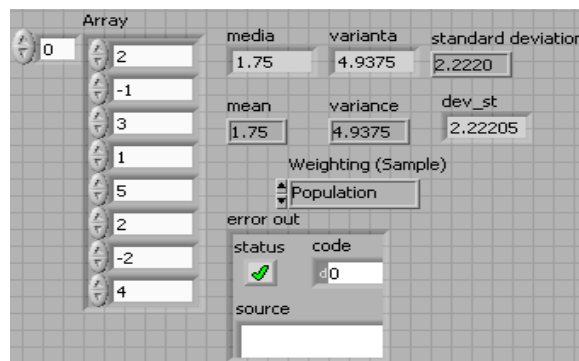
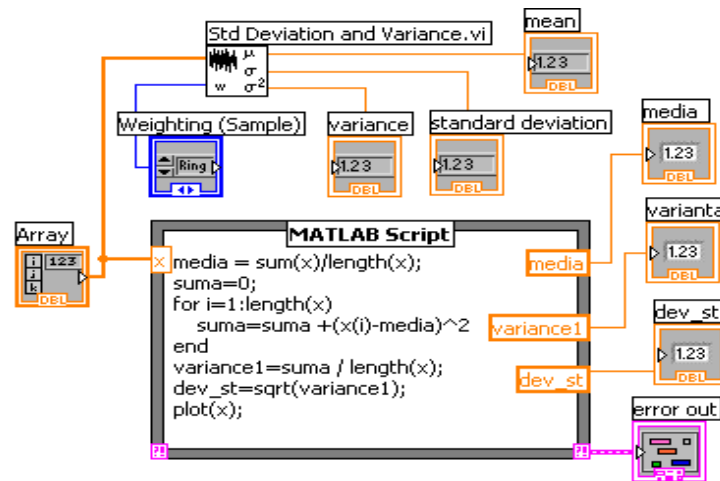


Fig.13

Observăm codul Matlab (Fig. 13): ciclul *for* pentru parcurgerea șirului numeric *x*, *plot(x)* pentru reprezentarea grafică a șirului într-o fereastră grafică. S-a apelat funcția LabVIEW Std deviation and Variance.vi pentru valori comparative.

4. Modularizarea programului. Generare subVI ca funcție apelabilă individual din diagrama altei aplicații (apel subVI)

4.1. Aplicația din Figura 14 realizează evaluarea repetitivă a unor expresii logice cu operanzii logici (LEDuri) a și b, și operatorii logici And, Or, Nand.

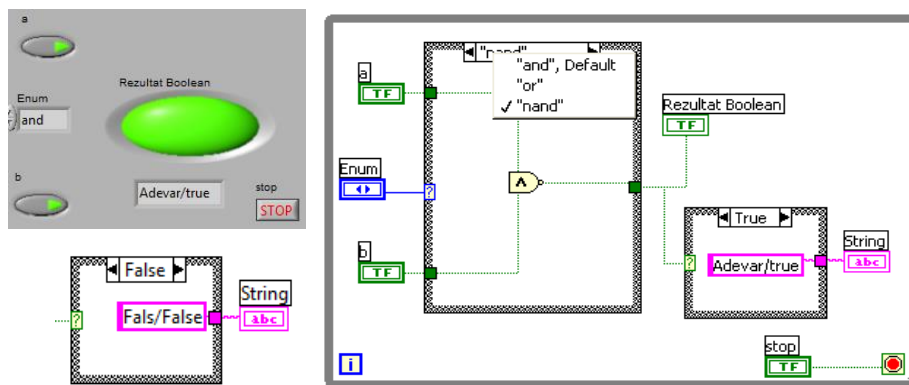


Fig. 14

4.2. Generare SubVI

Se selectează cu mouse o zonă dreptunghiulară (Fig.16) din diagrama unei aplicații/VI (de preferință nu se includ în zona selectată terminale control sau indicator).

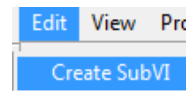


Fig. 15

Cu comanda *Create SubVI*, din meniul diagramei bloc *Edit/Create SubVI* (Fig. 15), se înlocuiește zona selectată cu o pictogramă (Fig. 16): Untitled 2 (SubVI).

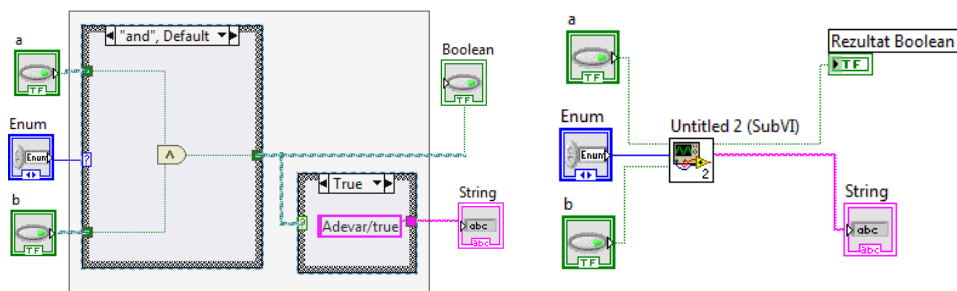


Fig. 16

Prin dublu click pe noul SubVI (sau Open Front Panel, Fig. 17), se deschide și se observă PF și diagrama și apoi se salvează cu numele dorit pentru o viitoare

utilizare ca instrument virtual independent. Pictograma asociată noului SubVI poate fi editată/personalizată prin click dreapta pe colțul dreapta-sus a panoului frontal al aplicației.

Se poate include/apela noul SubVI într-o aplicație mai generală cu comanda *Select a VI...* din diagrama aplicației apelantă. Acest SubVI inclus în diagramă pune la dispoziția operatorului intrările și ieșirile funcției. Astfel, Untitled2 (SubVI) prezintă intrările *a*, *Enum* și *b*, iar valorile returnate sunt *Rezultat Boolean* și *String*.

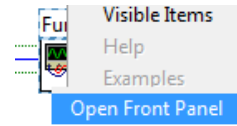


Fig. 17

5. Probleme propuse

5.1. Se generează o aplicație care conține un Tab Control cu trei pagini după modelul din Figura 18. La selectarea unei pagini se selectează un caz al unei instrucțiuni CASE. În fiecare caz se va executa o altă aplicație dintre cele deja efectuate în laboratoarele precedente. Fiecare dintre cele trei aplicații este în prealabil transformată într-un SubVI cu controalele și indicatoarele proprii prezente în pagina corespunzătoare a obiectului Tab Control.

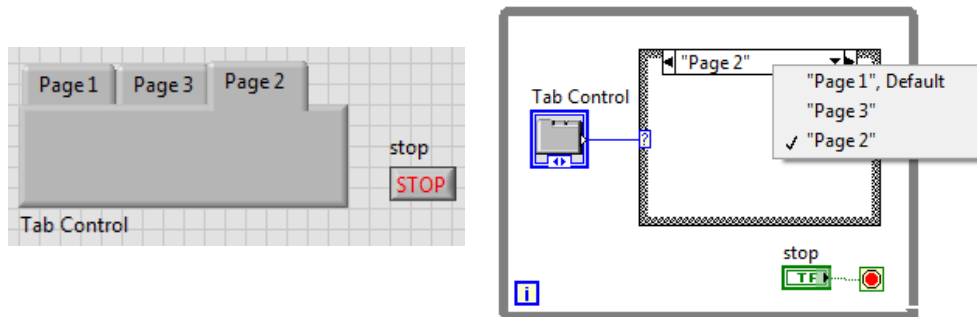


Fig. 18

5.2. Se generează *SortariTablou.dll* din *Code::Blocs* limbajul C++ care va conține funcția *sortari.cpp*. Funcția sortări primește următorii patru parametri: un șir caractere pentru generare fereastră cu mesaj, tablou șir de numere reale, număr elemente din tablou și un număr întreg cu rol de selector. Dacă selectorul este 1 se ordonează șirul crescător, iar dacă selectorul este 2 se ordonează descrescător șirul (metoda de sortare este la alegere). Funcția returnează suma elementelor din tablou și tabloul sortat. Se folosește *Call Library Function Nod* din *LabVIEW*.

VIII. Calcule cu Numere Complexe I

1. Reprezentarea numerelor complexe, produsul și câtul

1.1. Z1 și Z2 sunt controale numerice, având tipul de dată complex (CDB parte reală + parte imaginară). Se creează inițial un control numeric real urmat de schimbarea reprezentării în memorie (click dreapta pe controlul numeric + Representation, Fig.1).

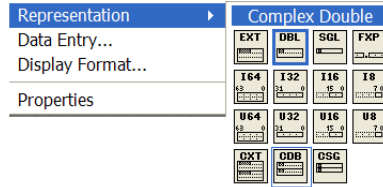


Fig. 1

1.2. Operatorul *Complex To Polar* returnează două numere reale: modulul și faza. Operatorul *Complex To Re/Im* returnează două numere reale: partea reală și cea imaginară (Fig.2).

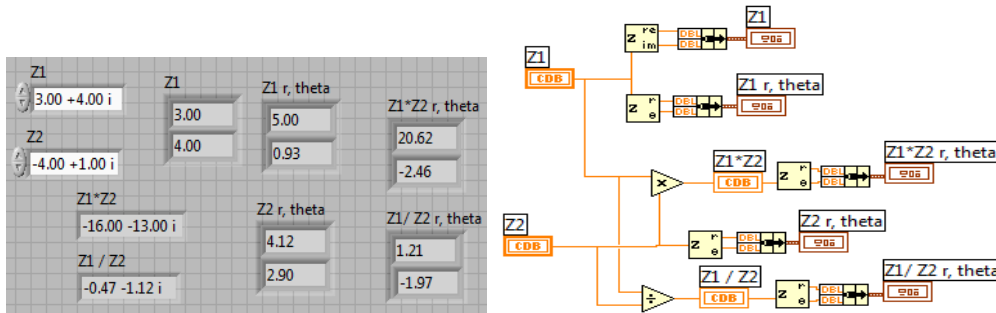


Fig. 2

1.3. În diagrama din Figura 2, observăm *înmulțirea* a două numere complexe $Z1 \cdot Z2$. Rezultă un nou număr complex având modulul egal cu produsul modulelor lui Z1 și respectiv Z2: $5 \cdot 4.12 = 20.6$. Faza noului număr complex este suma fazelor (radiani) numerelor Z1 și Z2: $0.93 + 2.9 = 3.83$; $3.83 - 2 \cdot \pi \approx -2.45$.

1.4. Prin *împărțirea* a două numere complexe $Z1/Z2$ rezultă un nou număr complex având modulul egal cu câtul modulelor numerelor Z1 și Z2 ($5/4.12 = 1.21$) și având faza (radiani) egală cu diferența fazelor: $0.93 - 2.9 = -1.97$.

1.5. Se reamintește exprimarea unui număr complex z în coordonate carteziene rectangulare: $z = x + jy$, unde x și y sunt numere reale, iar $j = \sqrt{-1}$. De asemenea x este partea reală a numărului complex z , iar $j \cdot y$ este partea imaginară a numărului complex z în planul complex (Fig. 3).

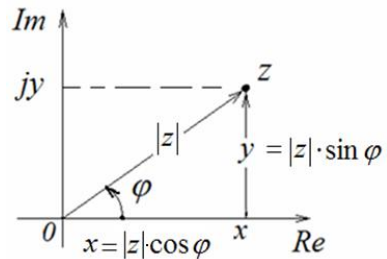


Fig. 3

Numărul complex z exprimat în coordonate

polare (r, φ) (Fig. 3) are forma (1):

$$r \angle \varphi \text{ unde } r = |z|, \varphi \in [-\pi, \pi] \quad (1)$$

sau expresia (2) folosind exprimarea prin funcția exponențial complexă (relația lui Euler):

$$z = |z| \cdot e^{j\varphi} \quad (2)$$

Conversia din exprimarea carteziană în cea polară se face cu relațiile (3):

$$r = |z| = \sqrt{x^2 + y^2} \text{ iar } \varphi = \text{atan2}(y, x) \quad (3)$$

Dacă se cunoaște z în coordonate polare, conversia în coordonate carteziene se face astfel (4):

$$z = |z| \cdot (\cos \varphi + j \sin \varphi) \quad (4)$$

unde $x = |z| \cdot \cos \varphi, \quad y = |z| \cdot \sin \varphi$.

În Figura 4 sunt vizualizate două numere complex conjugate: $z = x + j y$ și $z^* = x - j y$, acestea fiind plasate în planul complex în oglindă față de axa reală.

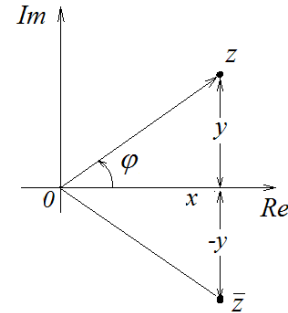


Fig. 4

2. Instrumentul Real FFT.vi

2.1. Funcția FFT.vi (Fig. 5) aplică tabloului de intrare X de n valori reale x_i transformata Fourier rapidă (FFT) sau transformata Fourier discretă reală (DFT). Rezultă tabloul FFT{X} de n coeficienți spectrali complecși y_k .

Se va programa relația (5) de calcul a coeficienților y_k .

$$y_k = \sum_{i=0}^{n-1} x_i e^{-jk2\pi \frac{i}{n}}, \quad j = \sqrt{-1} \quad (5)$$

Folosind relația lui Euler (Fig. 6):

$$e^{jx} = \cos(x) + j \cdot \sin(x) \quad (6)$$

rezultă:

$$y_k = \sum_{i=0}^{n-1} x_i [\cos(k2\pi \frac{i}{n}) - j \cdot \sin(k2\pi \frac{i}{n})] \quad (7)$$



Fig. 5

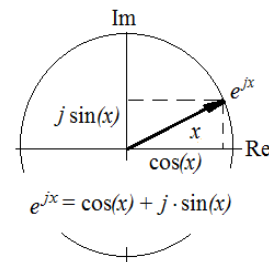


Fig. 6

Semnificația coeficienților în tabloul de ieșire din funcție este următoarea: $y_0 \rightarrow$ componenta continuă (reală) a semnalului de intrare, de forma:

$$y_0 = \sum_{i=0}^{n-1} x_i e^0$$

$y_1 \rightarrow$ prima armonică din componenta semnalului inițial,

$y_2 \rightarrow$ a doua armonică,

...

$y_{\frac{n}{2}-1} \rightarrow$ a $n/2-1$ armonică,

$y_{n/2} \rightarrow$ armonica Nyquist de forma:

$$y_{n/2} = \sum_{i=0}^{n-1} x_i [\cos(\pi i) - j \sin(\pi i)] = \sum_{i=0}^{n-1} x_i (-1)^i$$

Urmează coeficienții complex conjugăți simetrici de frecvențe negative:

$y_{n/2+1} \rightarrow$ a $n/2-1$ armonică,

...

$y_{n-2} \rightarrow$ a doua armonică,

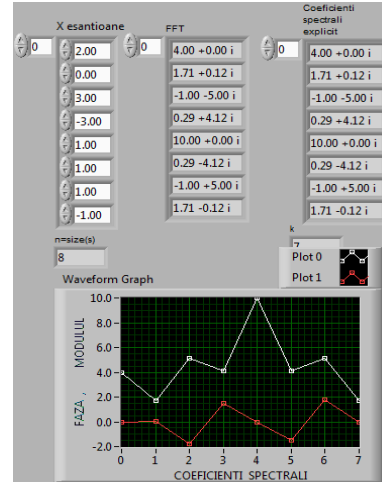
$y_{n-1} \rightarrow$ prima armonică.

Coeficienții complecși y_k pot fi exprimați în varianta modul și fază:

$$\text{Modul} = \sqrt{\text{Re}^2 + \text{Im}^2},$$

$$\text{Faza} = \text{atan2}(\text{Im}, \text{Re}) \in [-\pi, \pi] \text{ (arctangentă în 4 cadrane).}$$

2.2. În PF (Fig. 7) observăm tabloul de 8 valori reale (X eşantioane), tabloul coeficienților complecși FFT calculați cu funcția predefinită FFT.vi (Signal Processing/Transforms) și tabloul coeficienților complecși calculați cu programul (puțin eficient) din diagramă (Fig. 8).



- y_0 valoare reală
- y_1, y_2, y_3 valori complexe
- y_4 valoare reală
- y_5, y_6, y_7 val. complex conjugate

Fig. 7

2.2. În PF (Fig. 7) observăm tabloul de 8

valori reale (X eşantioane), tabloul coeficienților complecși FFT calculați cu funcția predefinită FFT.vi (Signal Processing/Transforms) și tabloul coeficienților complecși calculați cu programul (puțin eficient) din diagramă (Fig. 8).

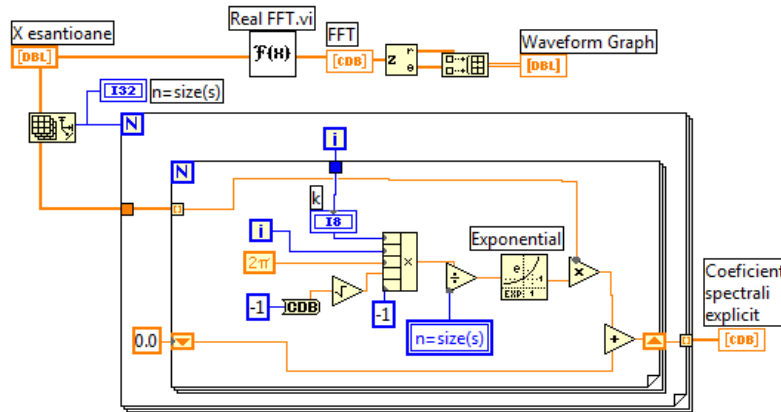


Fig. 8

În diagramă, suma după indicele i din relația (5) este efectuată de ciclul interior, sumele parțiale fiind gestionate de registrul Shift asociat. La fiecare ciclu exterior se calculează câte un coeficient y_k (k primește valoarea contorului ciclului exterior). Funcția Compound Arithmetic pregătește exponentul funcției exponențiale

realizând produs între valorile de intrare. Tabloul X eşantioane intră în ciclul For exterior fără indexare, astfel întregul tablou va fi disponibil în corpul ciclului pentru calculul fiecărui coeficient spectral.

n este numărul de eşantioane (valori) pe perioada T a semnalului ($T=n \cdot \Delta t$) sau într-un bloc de date supus analizei. $\Delta t = 1/f_s$ este timpul între două valori măsurate sau perioada de eşantionare; f_s este frecvența de eşantionare, $\Delta f = f_s/n$ este spațierea în domeniul frecvență între coeficienții spectrali y_k .

3. Reprezentarea grafică a coeficienților spectrali în format vectorial

3.1. Feather Plot și Compass Plot

Se dorește vizualizarea unor vectori în plan. Coeficienții complecși generați de funcția FFF.vi sunt în general perechi de numere complex conjugate. Pentru reprezentarea grafică se selectează Graph/Feather Plot și Plot Helper (*Vector sau Complex*). Se observă grafic perechile de coeficienți complex conjugată și cei doi coeficienți reali plasați pe axa reală (orizontală).

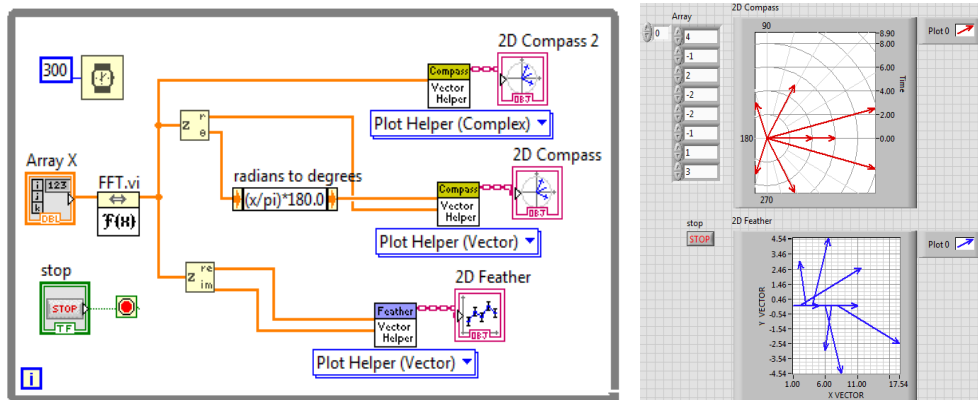


Fig. 9

Modificați interactiv valorile din șirul real de intrare și numărul de valori din vector. Observați perechile de vectori simetrici și cei doi coeficienți reali.

Varianta în care intrarea funcției Feather Plot este tablou Complex este prezentată în Figura 10.

Indicatorul grafic Compass Plot versiunea Plot Helper (*Vector sau Complex*) (etichetă 2D Compass) permite vizualizarea tabloului generat de funcția Real FFT.vi reprezentând coeficienții spectrali complex conjugată (plus cei doi coeficienți reali), ca vectori cu aceeași origine. Intrările în funcție sunt în două

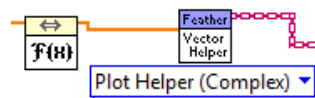


Fig. 10

variante: a) varianta Vector: tablou module și tablou unghiuri [grade] și b) varianta Complex: tablou de numere complexe.

3.2. Feather Plot multiplu - înlănțuire de Feather Plot Helper

Sunt vizualizate, în Figura 11, două seturi de vectori de lungimi diferite în aceeași fereastră grafică.

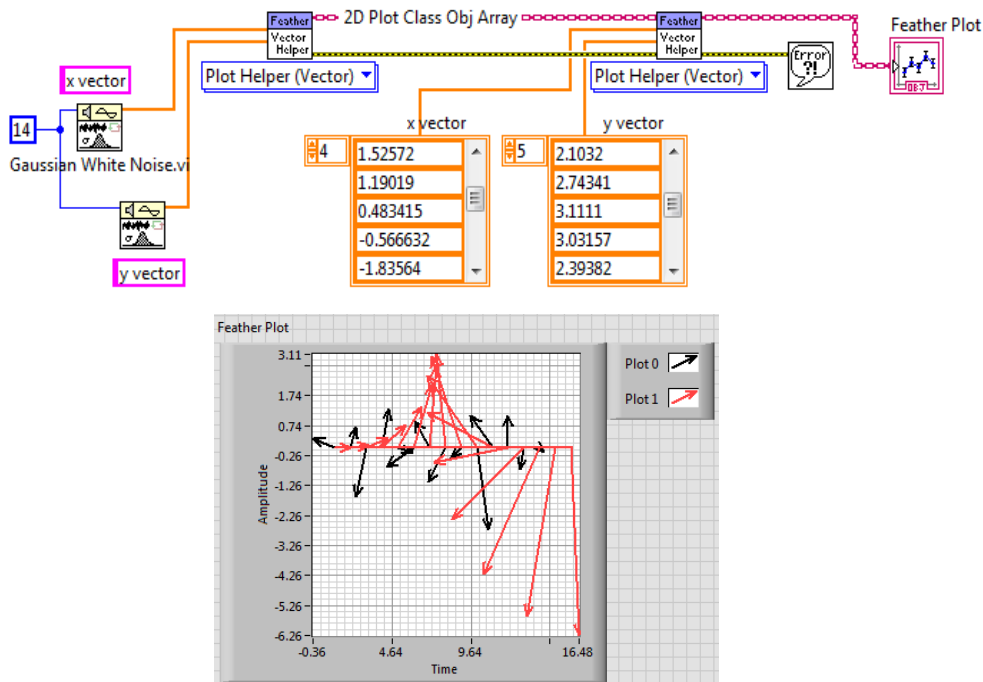


Fig. 11

4. Puterea spectrală bilaterală

Funcția *Power Spectrum.vi* aplică șirului de intrare X expresia (8):

$$S_{xx} = \frac{1}{n^2} FFT\{X\}^* \cdot FFT\{X\} = \frac{1}{n^2} |FFT\{X\}|^2 \quad (8)$$

Rezultă puterea spectrală *bilaterală* S_{xx} . n este numărul eșantioanelor de intrare din X, egal cu al puterilor spectrale rezultate. În diagrama din Figura 13 se obține puterea spectrală în trei moduri de calcul. Este folosită funcția Power Spectrum vizualizată în Figura 12 (două versiuni ale produsului LabVIEW).

X este tablou real 1D de intrare, conține n

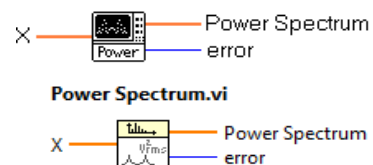


Fig. 12

eșantioane din semnalul de intrare considerat periodic.

$FFT\{X\}$ este transformata Fourier rapidă sau discretă DFT aplicată șirului X .

S_{xx} (Power Spectrum) = tabloul de ieșire real 1D, conține n puteri spectrale.

$S_{xx}(0) = y_0^2/n^2$ (pătratul coeficientului componentei continue/ n^2).

$S_{xx}(i) = (y_i^* \cdot y_i)/n^2, i=1, \dots, n-1$.

Produsul a două numere complex conjugate este un număr real.

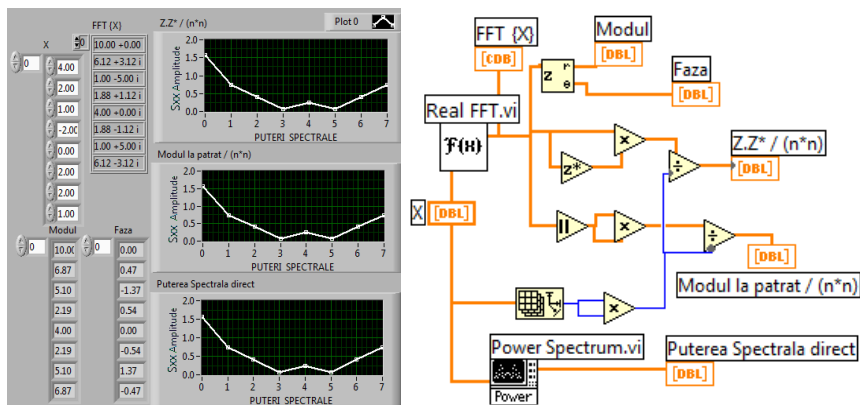


Fig. 13

5. Puterea interspectrală bilaterală complexă $S_{xy}(f)$

5.1. Puterea interspectrală dintre două semnale date prin valori reale discrete plasate în cei doi vectori de intrare X și Y (fiecare de câte n valori reale) se realizează prin instrumentul Cross Power.vi, cu relația (9):

$$S_{xy} = \frac{1}{n^2} FFT^* \{X\} \cdot FFT\{Y\} \quad (9)$$

Rezultă puterea interspectrală complexă bilaterală $S_{xy}(f)$.

Caracterul asterisc $*$ indică conjugata complexă a valorilor din $FFT\{X\}$,

n este numărul eșantioanelor reale din X și Y , egal cu numărul valorilor complexe din tabloul rezultat S_{xy} .

Dacă $n=2^k$, unde $k=1,2, \dots, 23$, instrumentul apelează transformata

Fourier Rapidă FFT, altfel apelează transformata discretă DFT. Dacă tablourile X și Y sunt identice rezultă valori reale în S_{xy} . În diagrama din Figura 15 este calculată puterea interspectrală bilaterală folosind instrumentul Cross Power.vi (Fig. 14) și în paralel observăm calculul explicit după relația (9), constatând identitatea rezultatelor și simetria valorilor modulelor față de componenta centrală Nyquist.

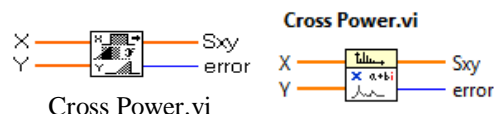


Fig. 14

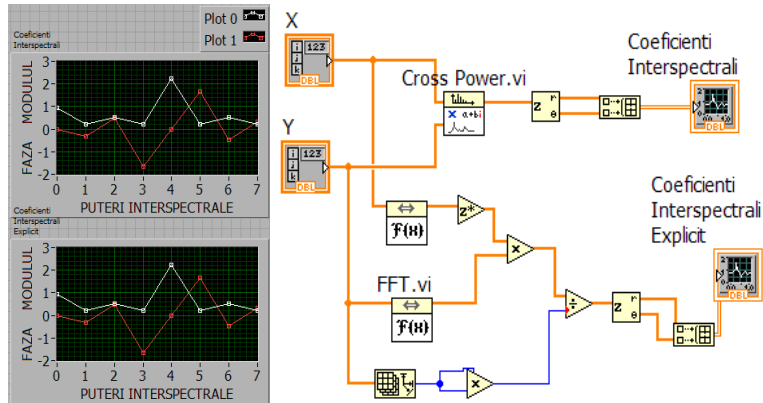


Fig. 15

5.2. Puterea spectrală unilaterală poate fi vizualizată printr-un grafic de bare la ascultarea unui fragment audio (muzică) folosind un CD player (Fig. 16).

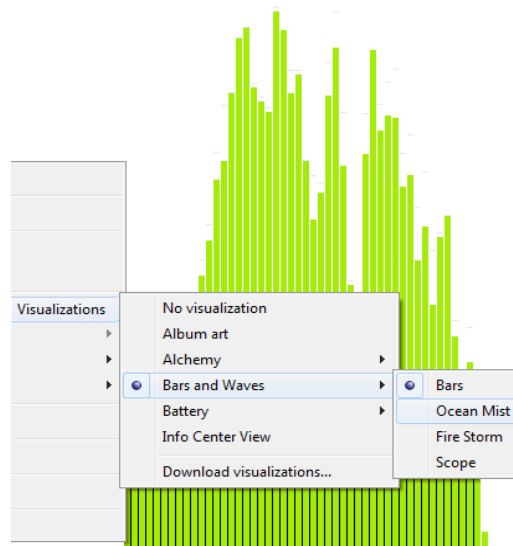


Fig. 16

6. Generarea unui fișier executabil - aplicație LabVIEW

6.1. Se dorește realizarea unui fișier executabil plecând de la un instrument virtual dezvoltat în LabVIEW. Se va putea executa aplicația în alt sistem de calcul (calculator) în care nu este instalat LabVIEW, dar trebuie să fie instalat modulul *LabVIEW Runtime Engine*

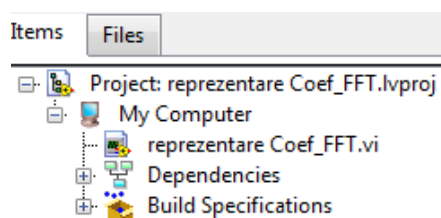


Fig. 17

RTE. Pentru generarea executabilului este folosit modulul *Application Builder*. Acesta este inclus în LabVIEW, varianta Professional Development System.

În prima etapă este generat și salvat proiectul (reprezentare Coef_FFT.lvproj, Fig. 17); acesta conține aplicația (reprezentare Coef_FFT.vi) sau aplicațiile (.vi). În continuare, prin mouse *click dreapta*, pe câmpul *Build Specifications* (în Project Explorer, Fig. 18) se selectează *New/Application (.exe)* (sau folosim meniul Tools). Dacă este necesar, în prealabil sunt selectate folosind săgeți, fișierele sursă care se vor compila (Fig. 19).

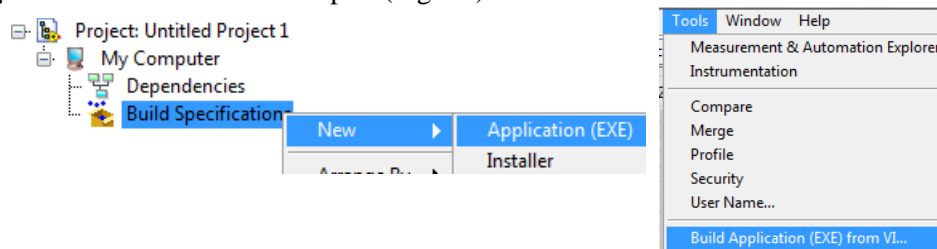


Fig. 18

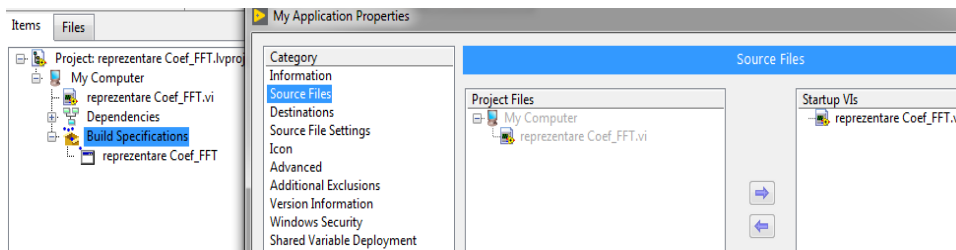


Fig. 19

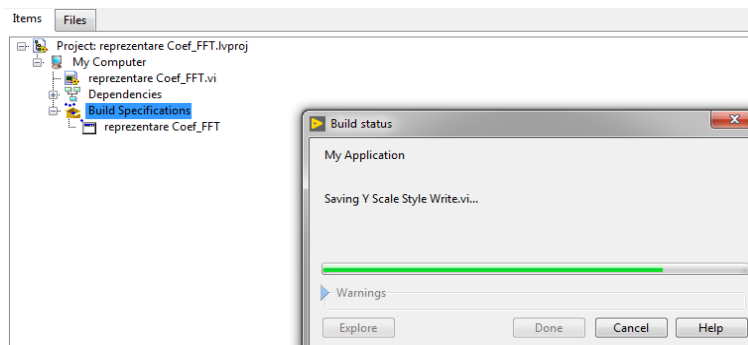


Fig. 20

Se urmărește în desfășurare procesul de compilare (Fig. 20).

Este verificat conținutul directorului unde s-a depus aplicația executabilă. S-a creat un director *build* în care sunt depuse fișierele executabile (Fig. 21).

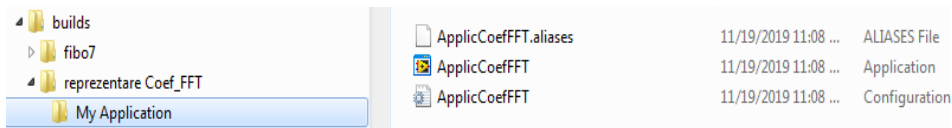


Fig. 21

Este lansată în execuție aplicația executabilă (Fig. 22). S-a făcut referire la aplicația reprezentare Coed_FFT.vi descrisă mai sus.

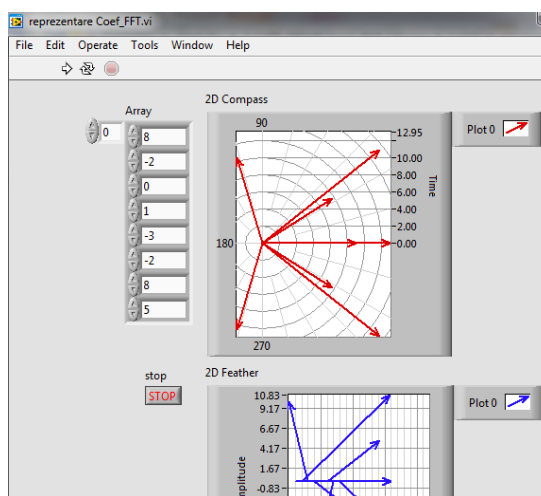


Fig. 22

6.2. Un proiect LabVIEW grupează instrumente virtuale (.vi) și fișiere asociate lor, diverse resurse, referințe la fișiere salvate pe disc, variabile, hyperlinkuri etc., cu scopul realizării unei aplicații mai ample. Aceste informații colaborative sunt grupate într-un fișier proiect cu extensia .lvproj. Gestionarea proiectului se realizează prin utilitarul LabVIEW Project Explorer. Din acesta se pot crea noi fișiere .vi aparținând proiectului, prin comanda New/VI (comanda deschide un fișier blank de tip .vi, Fig. 23), noi variabile, clase, biblioteci etc.. Pot fi adăugate aplicații .vi existente (comanda Add). Secțiunea *Dependencies* a fișierului proiect conține zona de fișiere *vi.lib* și zona de *subVI*-uri asociate unor fișiere .vi incluse în

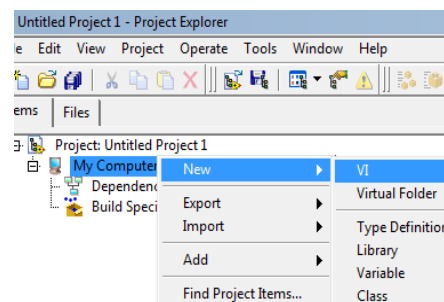


Fig. 23

proiect. De asemenea sunt adăugate fișiere .dll asociate unor fișiere .vi aflate în secțiunea *MyComputer*. O bibliotecă sau library file (LLB) se poate crea plecând de la comanda: Build Specifications/ New/ Source Distribution (Fig. 24). Lista posibilităților oferite de LabVIEW Project Explorer poate continua.

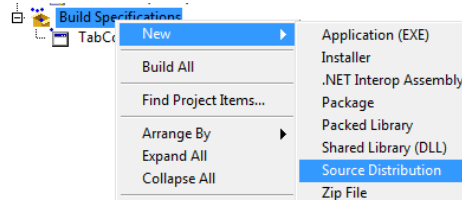


Fig. 24

7. Probleme propuse

7.1. Calculați $S'_{xy} = \frac{1}{n} FFT\{X\} \cdot FFT^*\{Y\}$ și comparați cu S_{xy} (rezultă conjugata complexă a vectorului S_{xy}).

7.2. Reprezentați vectorial $S_{xy}(f)$ apelând Feather Plot și comparați cu $S'_{xy}(f)$.

7.3. Observați simetria din Y , S_{xx} și S_{xy} (unde $Y=FFT\{X\}$) față de termenii: $y_{n/2}$, $S_{xx}[n/2]$ și respectiv $S_{xy}[n/2]$ (excepție primul element).

7.4. Să se calculeze media aritmetică \bar{y} asociată liniilor spectrale ale puterii spectrale unilaterale (Auto Power Spectrum) în dB, conform relației (10). n este numărul liniilor spectrale generate de funcția Auto Power Spectrum (Fig. 25) fiind jumătate din numărul eșantioanelor semnalului de intrare *Signal* (V). A_i este amplitudinea liniei spectrale indice i , unde $i=0, \dots, n-1$. Funcția Auto Power Spectrum este plasată în paleta Signal Processing/Spectral Analysis.

$$\bar{y} = 20 \log \left(\frac{1}{n} \sum_{i=0}^{n-1} \frac{A_i}{10^{-5}} \right) \quad (10)$$

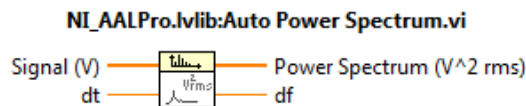


Fig. 25

7.5. Să se calculeze media geometrică \hat{y} asociată liniilor spectrale ale puterii spectrale unilaterale (Auto Power Spectrum) în dB, conform relației (11) unde 10^{-5} este o mărime de referință la care se raportează coeficientul spectral A_i .

$$\hat{y} = 20 \log \left(\left(\prod_{i=0}^{n-1} \frac{A_i}{10^{-5}} \right)^{1/n} \right) = \frac{1}{n} \sum_{i=0}^{n-1} 20 \log \left(\frac{A_i}{10^{-5}} \right) \quad (11)$$

IX. Calcule cu Numere Complexe II

1. Raportul a două șiruri complexe - funcția de transfer

Se va observa o aplicație care împarte element cu element două tablouri 1D de valori complexe (A și B) și selectează prima jumătate din valorile rezultate.

1.1. A (stimul sistem) și B (răspuns sistem) sunt două tablouri 1D de n valori reale fiecare; acestea pot fi considerate semnale (măsurate) cu spațiere în timp dt între eșantioane succesive. Timpul total sau perioada T a semnalelor (semnalele sunt considerate periodice) este:

$$T = n \cdot dt \quad (1)$$

Frecvența armonică fundamentală egală cu spațierea armonicilor în domeniul frecvență este:

$$df = 1/T \quad (2)$$

1.2. Funcția Real FFT.vi primește un tablou de n valori reale și returnează un tablou de n valori de tipul complex. În Figura 1 observăm diagrama funcției de de transfer (unilateral) predefinită în LabVIEW.

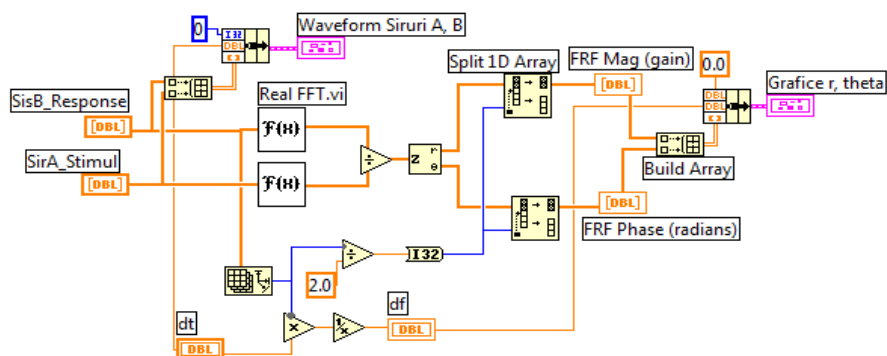


Fig. 1

1.3. Cele două șiruri de numere complexe se împart element cu element ($B(i)/A(i)$, $i=0, \dots, n-1$) prin operatorul Divide (Fig. 2) și rezultă tabloul 1D complex (Transfer Function, TF):

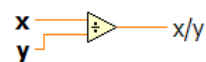
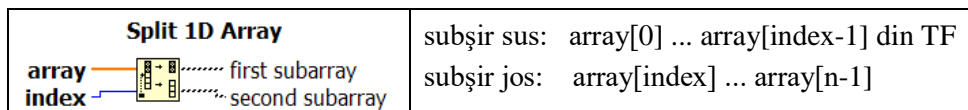


Fig. 2

$$TF = \frac{FFT\{B\}}{FFT\{A\}} \quad \Leftrightarrow$$

$$TF = \frac{FFT\{B\}(i)}{FFT\{A\}(i)}, \quad i=0, \dots, n-1 \quad (3)$$

Sunt convertite în format polar (r-modul și θ -faza în intervalul $[-\pi, \pi]$) toate cele n valori complexe rezultate. Prin funcția *Split 1D Array* sunt selectate primele $n/2$ valori. Funcția *Split 1D Array* returnează două subșiruri:



La final sunt afișate, în același grafic, modulele și fazele primelor $n/2$ valori complexe cu spațiere între valori succesive $df = 1/T$, în domeniul frecvență (Fig. 3).

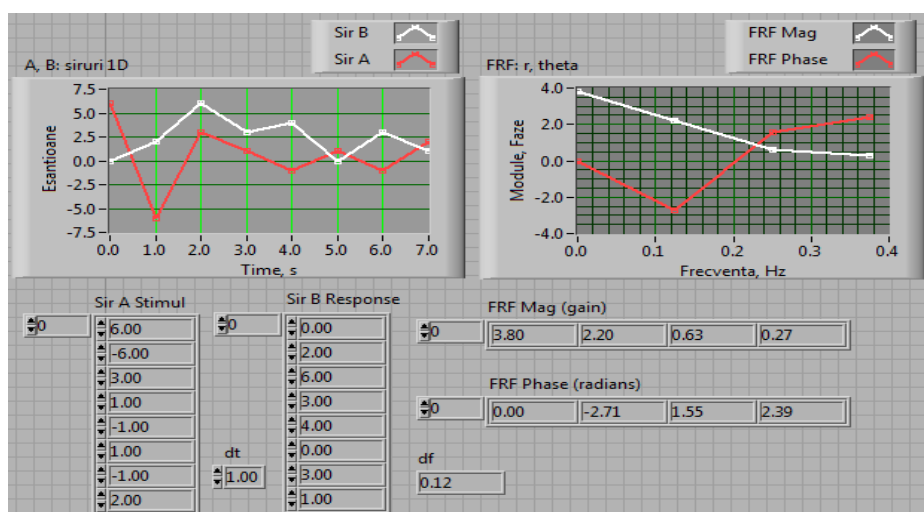


Fig. 3

1.4. Modificați aplicația/diagrama din Figura 1, realizând împărțirea perechilor de numere complexe în cadrul unui ciclu FOR (noua aplicație și cea inițială vor afișa grafice similare). În PF (Fig. 3) observăm cele două tablouri reale inițiale, graficul lor, $dt=1$, $df=1/n$, $n=8$ valori și graficul primei jumătăți din numărul modulelor și fazelor cu spațiere df între valori.

2. Funcții care returnează tablouri complexe: Cross Power Spectrum, Frequency response

Funcțiile abordate în diagrama din Figura 4 sunt unele complexe: Cross Power Spectrum(avg) și Frequency response (avg) iar altele reale: Coherence Function și Impulse Response.

2.1. Diagrama funcției predefinite Network Functions.vi

La fiecare iterație a ciclului For (Fig. 4) câte o linie (indice i) din tablourile 2D (*Semnal 2D Stimul* și *Semnal 2D Raspuns*) participă la calculul funcțiilor Power Spectrum.vi și Cross Power.vi. La iterația indice 0 este selectat Cazul ..0; la ieșirea din acest caz sunt inițializați cei trei regiștrii de transfer. Regiștrul de sus (#1)

conține un tablou de valori complexe (puteri interspectrale), iar registrul#2 și registrul#3 conțin tablouri de valori reale (puteri spectrale). La iterațiile indice 1, 2,...,n-1 este selectat Cazul 1.. în care se însumează tablourile (nu există caz Default). La ieșirea din ciclu observăm medierea cu n, unde n este numărul de linii ale matricelor 2D de intrare. Funcția Power Spectrum.vi calculează: $S_{xx} = |FFT\{X\}|^2 / n^2$, iar funcția Cross Power.vi calculează $S_{xy} = FFT^*\{X\} \cdot FFT\{Y\} / n^2$. Puterile spectrale și interspectrale vor participa în continuare la calculul celor patru funcții de ieșire.

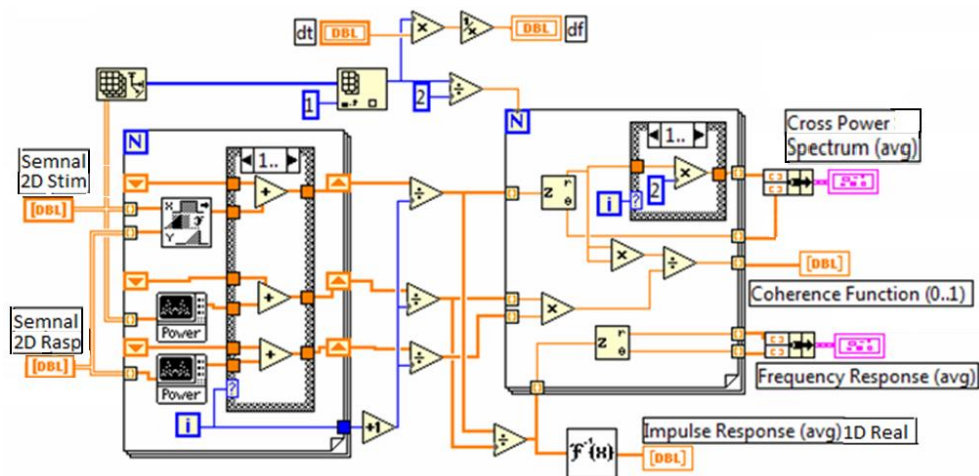


Fig. 4

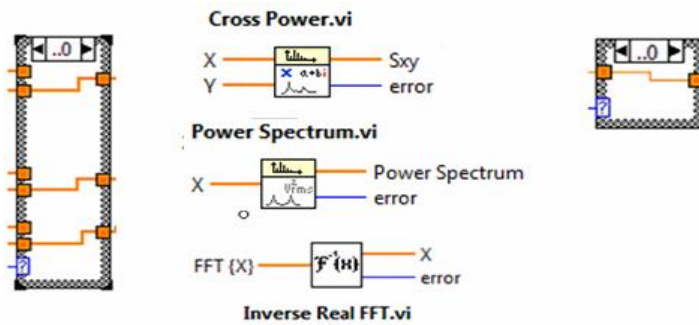


Fig. 5

Al doilea ciclu For se repetă de n/2 ori. La ieșirea din acest ciclu rezultă trei funcții la care se adaugă funcția Impulse Response (răspunsul sistemului la un semnal de tip impuls), astfel:

a) Funcția complexă Cross Power Spectrum (avg) G_{xy} (unilateral: n/2 valori) dată prin două tablouri: tabloul modulelor (n/2 valori) și tabloul fazelor (n/2 valori), unite într-o structură (cluster).

- b) Funcția complexă Frequency Response (avg) dată prin două tablouri: tabloul *modulelor* (n/2 valori) și cel al *fazelor* (n/2 valori), unite într-o structură.
- c) Funcția reală Coherence Function (0..1) cu n/2 valori între 0 și 1:

$$coherence = |avg S_{XY}|^2 / [avg S_{XX} \cdot avg S_{YY}] \quad (4)$$

d) Funcția reală Impulse Response (avg) (n valori) este calculată folosind Transformata Fourier Inversă (Inverse Real FFT.vi) aplicată funcției de transfer mediată (Avg Transfer function). Astfel, sunt parcurse două etape de calcul:

1. Funcția *Transfer Function TF* (n valori complexe calculate în etapa 1):

$$avg \text{ Transfer Function} = avg S_{XY}(f) / avg S_{XX}(f)$$

2. *avg Impulse Response = inverse FFT(avg Transfer Function)*

Funcția *Inverse Real FFT.vi* primește un tablou 1D de n valori complexe și returnează un tablou 1D de n valori reale.

Funcțiile, de mai sus, sunt calculate de aplicația predefinită Network Functions (avg).vi după relațiile deja menționate. În Figura 5 sunt aduse completări la diagrama din Figura 4, fiind afișate cazurile ..0 ale celor două structuri Case din Figura 4 și alte două variante de pictograme pentru S_{XX} și S_{YY} .

Spațierea df în domeniul frecvență se calculează în mod similar cu aplicația din Figura 1, cu observația că din tabloul de două valori generat de funcția Array Size este extras numărul de coloane (numărul elementelor din fiecare semnal al setului de semnale care participă la mediere).

- 2.2. Creați un SubVI cu trei intrări și cinci ieșiri, similar cu funcția Network Functions(avg).vi din Figura 6, plecând de la diagramele prezentate în Figurile 4 și 5. Se va edita o altă pictogramă pentru SubVI-ul creat.

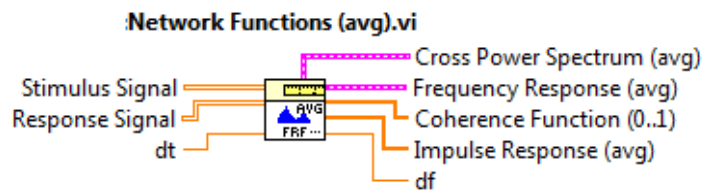


Fig. 6

3. Probleme propuse

3.1. Verificați printr-un program dacă rapoartele $FFT\{Y\}/FFT\{X\}$ și S_{xy}/S_{xx} aplicate șirurilor de intrare X și Y sunt egale (aceleași valori pentru funcția Frequency Response nemediată). Folosiți un număr mare de valori de intrare pentru diagrama din Figura 7.

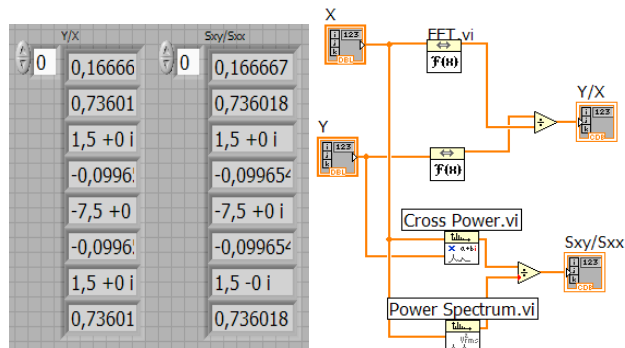


Fig. 7

3.2. Reprezentați grafic funcțiile Cross Power Spectrum(avg), Coherence Function(0..1) și Frequency Response(avg) spațiind valorile acestora în domeniul frecvență (abscisa) cu df , începând de la 0 Hz.

3.3. Explicați obținerea funcției AutoPower Spectrum.vi (single-sided) din funcția Power Spectrum.vi (Sxx, bilaterală) observând diagrama funcției AutoPower Spectrum.vi din paleta Signal Processing/Spectral Analysis.

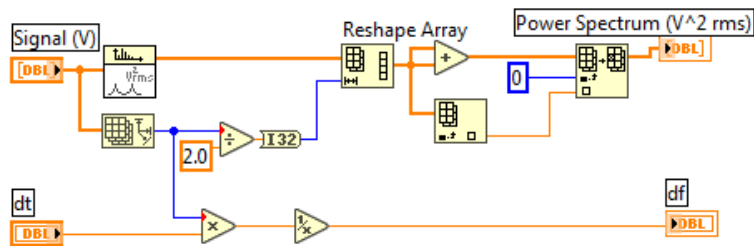


Fig. 8

X. LabVIEW + cod Matlab și C - semnal ponderat (windowing)

1. Prelucrarea semnalului prin ponderarea valorilor

Se generează un semnal sinusoidal discret apelând funcția Sine Wave.vi. Sunt folosite controale în Panoul Frontal pentru intrările: samples= n , frequency și phase in. Semnalul va fi prelucrat prin una din cele patru ferestre de ponderare predefinite: Hanning, Hamming, Exponential și Force selectate din paleta Signal Processing/Windows.

Fiecare eșantion din semnalul (tablou 1D) în domeniul timp, este înmulțit (ponderat) cu câte un coeficient specific ferestrei, în total n înmulțiri. Coeficienții unei ferestre sunt calculați prin relații de calcul asociate ferestrei.

În aplicația din Figura 1, semnalul este prelucrat automat de o fereastră selectată de operator și în paralel același semnal este înmulțit (prin program) cu coeficienți generați după relația de calcul, rezultând două semnale identice suprapuse.

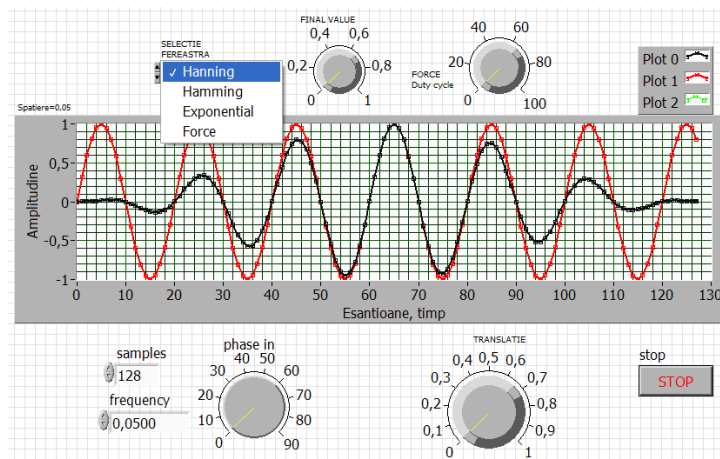


Fig. 1

2. Prelucrarea unui tablou prin fereastră Hanning - Matlab

2.1. În Figura 2 observăm curba sinus inițială de amplitudine constantă și două curbe identice, una prelucrată de fereastră Hanning (cu amplitudine zero la început și la sfârșit) și respectiv a doua obținută separat prin programarea formulei de calcul (1). y_i sunt valorile prelucrate prin fereastră, iar x_i sunt valorile din semnalul inițial.

$$y_i = 0.5x_i(1 - \cos(w)), \quad w = 2\pi i / n, \quad i = 0, 1, 2, \dots, n-1 \quad (1)$$

Controlul TRANSLATIE permite separarea celor două curbe identice. Prin aceasta se verifică egalitatea între rezultatele provenite din programarea explicită după relațiile de calcul și rezultatul aplicării ferestrei predefinite. Ponderarea cu coeficienții ferestrei Hanning se face într-un caz separat printr-un segment de cod/script scris în Matlab (trebuie să existe produsul Matlab instalat în același calculator).

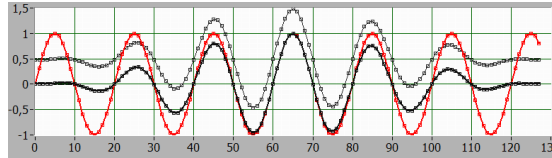


Fig. 2

În aplicația generală sunt folosite două instrucțiuni Case (4 cazuri în fiecare) și un selector comun Selectie Fereastră de tip Enum (Fig. 3). Build Array unește trei semnale de tip tablou 1D într-un tablou/array 2D (3 linii și 128 coloane).

2.2. Rescrieți formulele Hanning în LabVIEW sau cod C.

3. Fereastră Hamming - cod LabVIEW

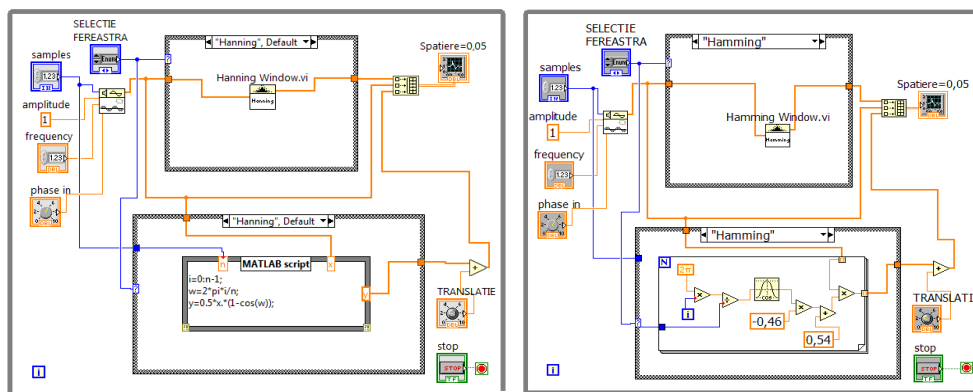


Fig. 3

Ponderarea cu fereastră Hamming se face în paralel într-un alt caz folosind programare LabVIEW și relația (2). Pentru y_0 și y_{n-1} se obține atenuare maximă.

$$y_i = x_i(0.54 - 0.46 \cos(w)), \quad w = 2\pi i/n, \quad i = 0, 1, 2, \dots, n-1 \quad (2)$$

Fereastră Hanning anulează prima valoare din semnal, iar Hamming n-o anulează. Modificați controlul *faze in* (grade) pentru a porni semnalul sinusoidal de la o valoare nenulă și a observa comparativ semnalele ponderate.

4. Fereastră Exponential - cod C în formula Node

La ponderarea semnalului cu fereastră Exponențială în aplicația curentă se apelează la *formula nod* folosind codul limbajului C. y_i sunt valorile prelucrate prin fereastră conform cu relația (3). *Final Value* (f) este valoarea finală minimă, controlată din panoul frontal în limitele 0..1; micșorând-o, mărim atenuarea.

$$y_i = x_i \exp(a \cdot i), \quad a = \ln(f)/(n-1), \quad i = 0, 1, 2, \dots, n-1 \quad (3)$$

În Figura 4 valoarea minimă este 0.12. Modificați controlul Final Value asociat ferestrei Exponential și observați efectul.

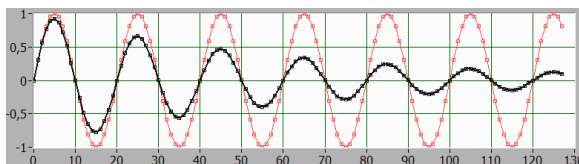


Fig. 4

5. Fereastra Force - cod LabVIEW

La ponderarea cu fereastra Force se apelează la programare în LabVIEW. Prin aplicarea ferestrei Force, semnalul inițial este păstrat nemodificat în procentul specificat prin controlul FORCE Duty cycle (%) acesta putând fi în intervalul 0%...100% din lungimea semnalului, conform cu relația (4).

$$w = \begin{cases} x_i & (\text{daca } 0 \leq i \leq d) \\ 0 & \text{altfel} \end{cases} \quad \text{unde: } d = (0.01) \cdot n \cdot (\text{duty cycle}) \quad (4)$$

În Figura 5 se observă aplicarea ferestrei Force având *duty cycle* = 65%.

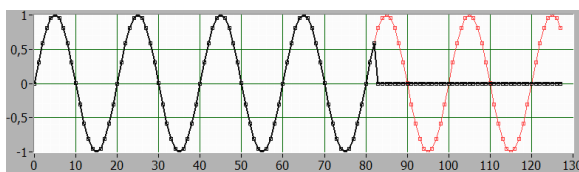


Fig. 5

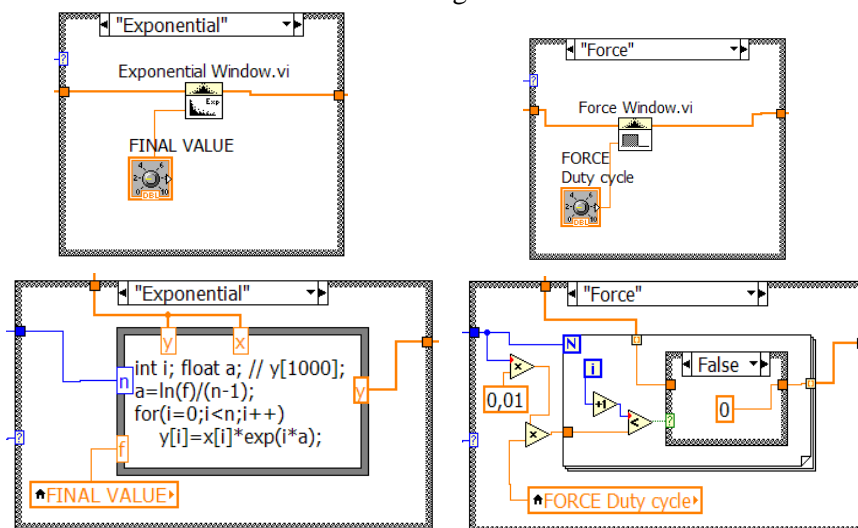


Fig. 6

Modificați controlul FORCE Duty cycle asociat ferestrei Force și observați efectul. Se va prelucra semnalul cu ferestre de pondere (windowing) înainte de aplicarea transformatei Fourier (diminuează *spectral leakage*).

6. Probleme propuse

6.1. Introduceți posibilitatea de a selecta dintr-o listă semnalul de prelucrat. Lista conține trei semnale Sine wave.vi, Square wave.vi și un semnal aleator.

6.2. Folosiți o singură instrucțiune CASE în aplicație unificând cazurile omoloage. Astfel, fereastra predefinită și relațiile de calcul explicite asociate se vor regăsi în același caz din instrucțiunea CASE.

6.3. Reprezentați grafic tabloul coeficienților cu care se înmulțește semnalul pentru ferestrele Hanning și Exponențial.

6.4. Adăugați noi ferestre de ponderare (fereastra Blackman - cazul 5 etc.)

6.5. Aplicați funcția Auto Power Spectrum (APS) atât semnalului inițial sinusoidal, cât și semnalului ponderat prin ferestrele Hanning sau Hamming, și vizualizați rezultatele grafic comparativ într-o nouă fereastră în PF (Fig. 7). Graficul prin aplicarea funcției APS (Fig. 8) va avea abscisa în domeniul frecvență; setați ordonata în scară logaritmică și modificați intrarea *frequency* (Fig. 7) a semnalului sinusoidal. Se observă diminuarea valorilor spectrului în jurul unicului vârf spectral al semnalului sinusoidal, după aplicarea ferestrei de ponderare, comparativ cu spectrul semnalului inițial. Auto Power Spectrum (Fig. 8) calculează puterea spectrală unilaterală plecând de la Sxx (puterea spectrală bilaterală, Fig. 9).

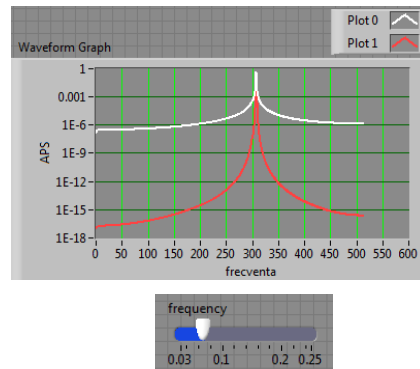


Fig. 7

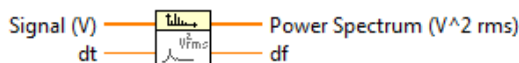


Fig. 8

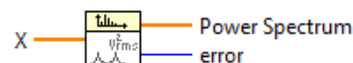


Fig. 9

XI. Programarea pe evenimente

Instrucțiunea Event Structure conține unul sau mai multe cazuri (asemănător cu Case structure), fiecare caz fiind executat la apariția unui eveniment sau grup de evenimente. Evenimente pot fi: schimbarea valorii unui control, intrarea sau ieșirea pointerului mouse într-o/dintr-o zonă de pe Panoul Frontal, apăsarea unui buton mouse, închiderea/schimbarea mărimii unei ferestre, apăsarea unei taste, timeout etc. În general Event Structure se plasează într-un ciclu While.

1. PF interactiv - Ciclu While (polling) versus Event Structure

Efectuăm produsul a două controale numerice A și B cu observarea permanentă a modificării valorilor de intrare și a produsului valorilor.

1.1. În prima variantă produsul este plasat în corpul ciclului While (Fig. 2). Când nu se modifică valorile A sau B ciclarea continuă consumând resurse de calcul. Observați contorul i în PF din Figura 1.

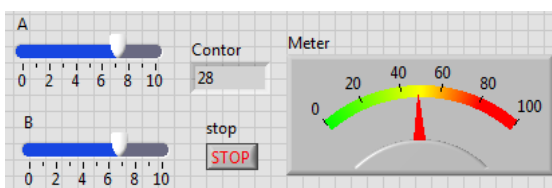


Fig. 1

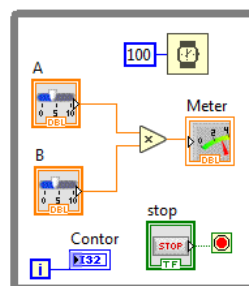


Fig. 2

1.2. Varianta de programare pe evenimente - Event Structure

În aplicația precedentă păstrăm Ciclu While, dar produsul valorilor numerice este plasat în primul caz [0]"A","B":Value Change al structurii Event, creat prin modificarea cazului 0 Timeout cu comanda Edit Events Handled by This Case.

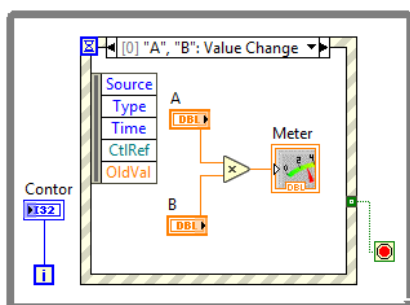


Fig. 3

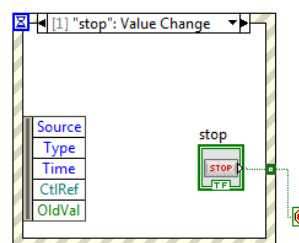


Fig. 4

Se deschide o fereastră de configurare/editare evenimente (Fig. 5) folosind comanda Edit Events Handled by This Case și se adaugă două evenimente de tip Value Change, sursa evenimentelor fiind controalele A și B (Fig. 3).

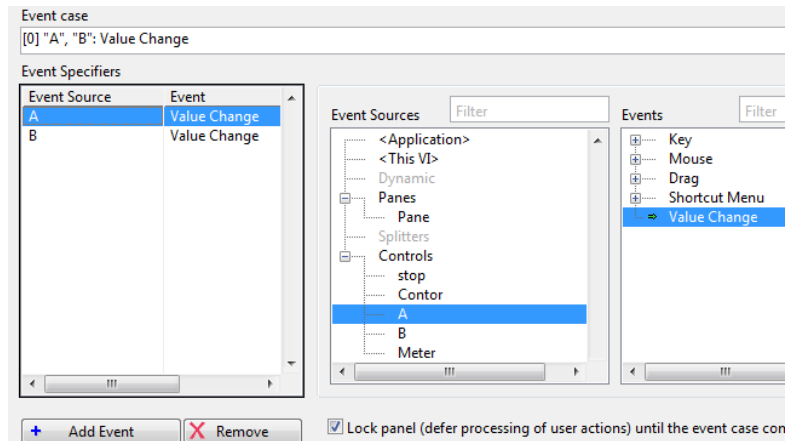


Fig. 5

Oprirea ciclului și a aplicației este posibilă dacă se introduce un al doilea caz de tip Value Change în structura Event (Fig. 4) care va conține terminalul butonului de STOP. Acest caz se execută la apăsarea butonului STOP în PF, iar la ieșirea din caz (după tratare Event) valoarea True a butonului oprește ciclul While.

La execuție se observă faptul că ciclarea este suspendată (contorul nu crește) când nu sunt înregistrate evenimente de tipul modificării valorii controalelor A sau B. Când schimbăm din PF valorile controalelor A sau B, contorul ciclului crește (incrementează), iar înmulțirea se efectuează imediat. Se pot trata cele trei evenimente de tip Value Change într-un singur caz (Fig. 6).

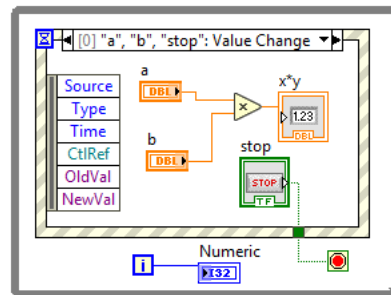


Fig. 6

1.3. Cazul Timeout al structurii Event

1.3.1. Aplicația din Figura 7 conține două cazuri: cazul Timeout și cazul tip Value Change pentru butonul de STOP al ciclului.

Se conectează constanta numerică 3000 la clepsidra din colțul stânga-sus a structurii. La fiecare 3000 ms de așteptare, dacă nu apare un eveniment, se execută automat cazul 'Timeout' în care se adună valoarea lui A la registrul Shift și se afișează. Dacă

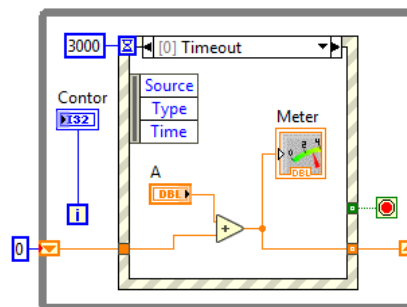


Fig. 7

schimbăm valoarea controlului A din PF nu se întâmplă nimic imediat, doar după

împlinirea celor 3000 ms se execută cazul și se adună valoarea schimbată a lui A (schimbarea lui A nu este considerată ca fiind eveniment declanșator).

1.3.2. Adăugați un caz nou pentru sesizarea schimbării valorii lui A și actualizarea imediată a sumei (variabile locale pentru A și Meter).

1.3.3. Includeți în cazul Timeout și evenimentul 'schimbare valoare A' (Value Change) fără a avea un caz separat pentru schimbarea lui A. De asemenea adăugați și evenimentul de schimbare a valorii butonului Stop în cazul Timeout, astfel va exista un singur caz în aplicație (Fig. 8). La apăsarea butonului de Stop are loc încrementarea registrului cu valoarea lui A, afișarea în Meter și oprirea ciclului.

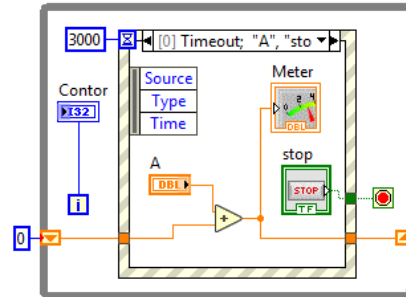


Fig. 8

2. Eveniment static - schimbarea valorii unui control șir de caractere

Se include Event Structure în diagrama bloc. Implicit există cazul '[0] Timeout'. Se adaugă cu comanda 'Add Event Case' un nou caz pentru tratarea unui eveniment de tipul 'Value Change' - caz înregistrat static (Static Event Registration). Se va urmări schimbarea valorii unui control String. La apariția evenimentului se execută codul din cazul asociat vizualizat în Figura 9.

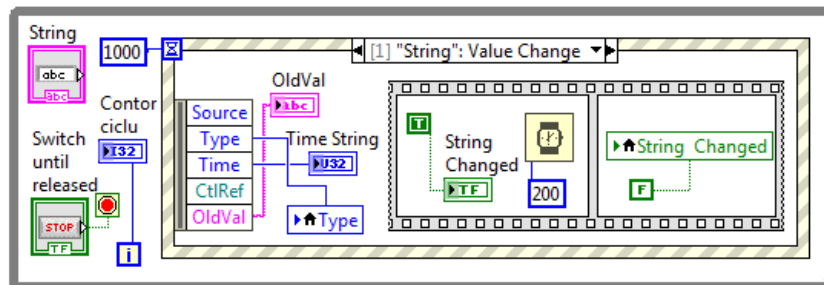


Fig. 9

Lansăm aplicația. Se execută repetitiv ciclul While pe cazul '[0] Timeout' (Fig. 10) de fiecare dată după așteptarea unui număr de 1000 ms. Evenimentul are loc dacă se tastează un șir de caractere sau se modifică un șir existent (fără Enter) în controlul String, urmat de click-mouse pe suprafața PF. Acest eveniment declanșează execuția codului din caz [1]:

- se afișează în indicatorul OldVal vechiul șir (Fig. 11) care a fost modificat,
- se execută secvența indice 0 din structura Sequence (Fig. 9) în care LED-ul indicator String Changed se luminează (T) pentru 200 ms după care, în secvența indice 1, LED-ul este stins (F) și se iese din cazul [1] al Event Structure.

Așteptarea apariției unui eveniment (schimbare șir caractere) durează 1000 ms. Dacă nu s-a schimbat șirul se execută evenimentul *Timeout* după care se

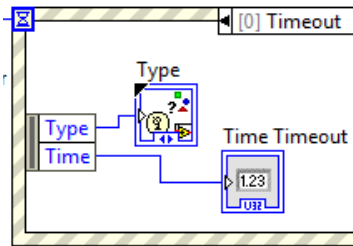


Fig. 10

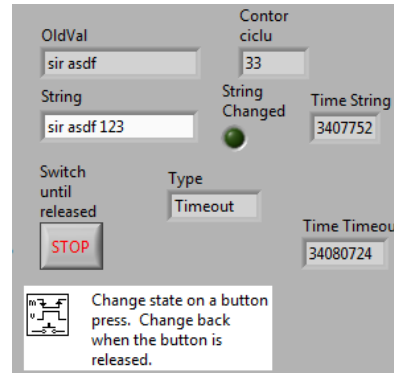


Fig. 11

părăsește Structura event și se repetă ciclul While. 'Contor ciclu' incrementează la fiecare secundă (1000 ms) dacă nu apare evenimentul (modificarea șirului).

La execuția fiecărui caz se afișează în indicatorul unic, realizat prin variabila locală asociată indicatorului Type, mesajul Timeout sau Value Change indicând tipul evenimentului care a avut loc. Indicatoarele Time Timeout și Time String indică momentul apariției evenimentului respectiv. Aceste două indicatoare pot fi tratate într-un singur indicator similar cu indicatorul Type.

Butonul de STOP nu este tratat ca un eveniment, motiv pentru care oprirea ciclului While se realizează prin apăsarea mai de durată a butonului STOP pentru a fi 'sesizată apăsarea' și transmisă valoarea True la terminalul ciclului.

3. Schimbare parametri Sine Patern.vi - grafic sinus - buton dialog

La schimbarea unui parametru din cei trei (amplitudine, fază, cicluri) a funcției Sine Patern.vi (Fig. 12) se actualizează graficul sinus din Waveform Chart (Fig. 13) și incrementează contorul ciclului While.

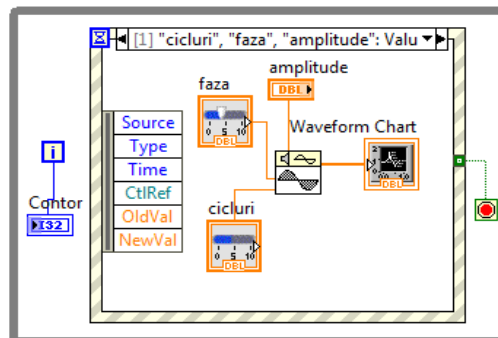


Fig. 12

La apăsarea butonului Stop, acest eveniment declanșează cazul [0]. În acest caz, butonul Stop nu este legat direct la terminalul ciclului While (Fig. 14). Se alege mai întâi între mesajele Opresc (T) și Continuă (F) asociate funcției Two Button Dialog.vi și astfel se trimite una dintre valorile logice T respectiv F la terminalul *Stop if True* al ciclului.

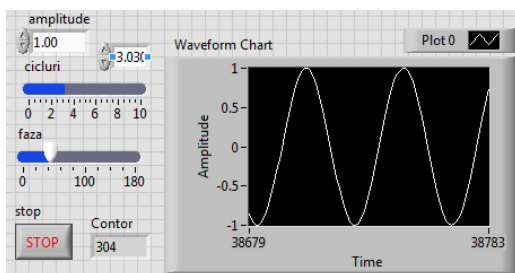


Fig. 13

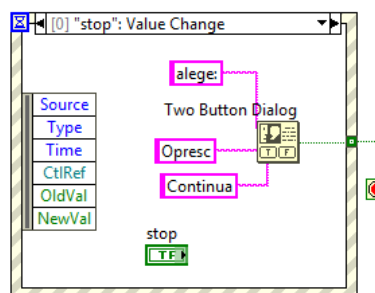


Fig. 14

4. Evenimente Mouse Enter, Mouse Leave și Value Change

Aplicația din Figura 15 generează un tablou de *Nr val random* valori aleatoare, trasează graficul, trece graficul în mod Blink și revine, afișează (și apoi șterge) în indicatorul MESAJE etichetele unor indicatoare și controale când se trece cu pointerul mouse peste zona alocată lor din Panoul Frontal.

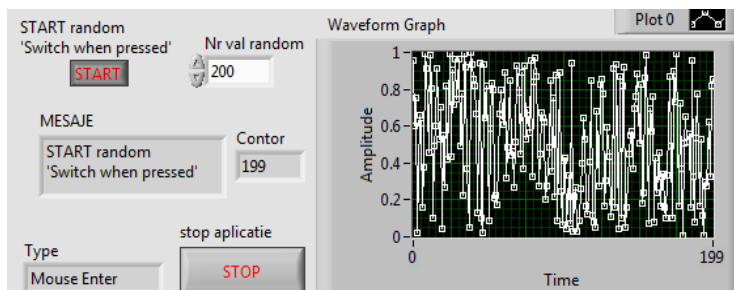


Fig. 15

În continuare sunt prezentate evenimentele și cazurile asociate lor:

[0] La evenimentul de tip apăsare buton START are loc schimbarea valorii logice $T \rightarrow F$ sau $F \rightarrow T$ și, de asemenea, se generează un număr de valori aleatoare ($Nr\ val\ random=200$). Este afișat semnalul de valori aleatoare în fereastra grafică (Fig. 15 și 16); butonul nu este conectat în diagramă fiind doar declanșatorul evenimentului.

[1] Când pointerul *mouse* intră în zona indicatorului grafic Waveform Graph, graficul trece în mod *Blink*; o constantă șir de caractere (mesaj) se afișează în indicatorul MESAJE (Fig. 17); evenimentul este de tip Mouse Enter.

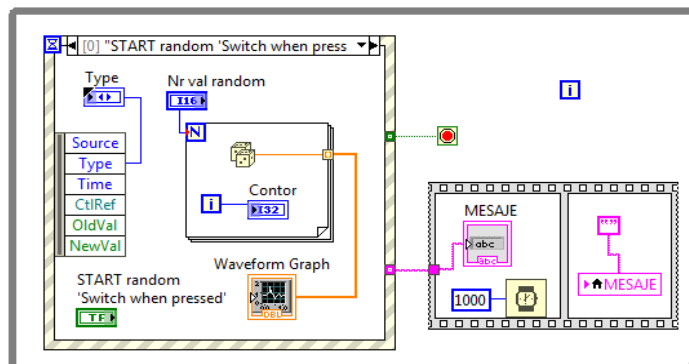


Fig. 16

[2] Când pointerul *mouse* iese (eveniment Mouse Leave) din zona indicatorului Waveform Graph se oprește modul *Blink* al graficului și constanta șir de caractere '*Blink se opreste cand iesi din graph*' trece în indicatorul MESAJE (Fig. 17).

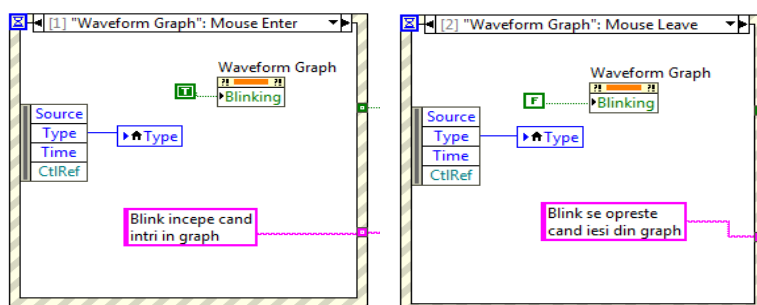


Fig. 17

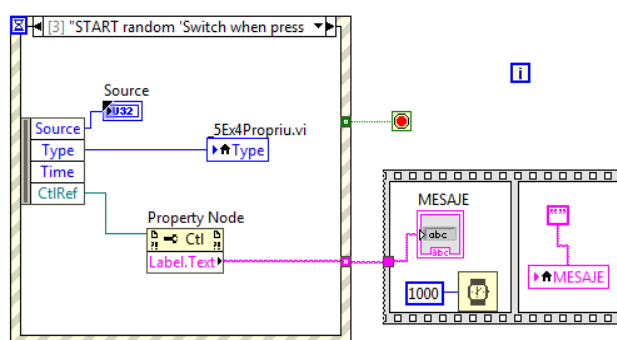


Fig. 18

[3] Când pointerul Mouse intră în zona controlului *START random* 'Switch when pressed' sau în zona controlului '*stop aplicatie*' sau '*Nr val random*', se afișează

eticheta (șir caractere) acestor controale (CtlRef→Property Node→Label.Text) în indicatorul șir de caractere MESAJE pentru o secundă (Fig. 18). Evenimentul returnează CtlRef, iar PropertyNode citește o *proprietate a unei referințe* care poate fi obiect, clasă, metodă, VI (aici Property for Control Class).

[4] La apăsarea butonului STOP (Fig. 19) are loc un eveniment de tip Value Change, se oprește ciclul While și aplicația curentă.

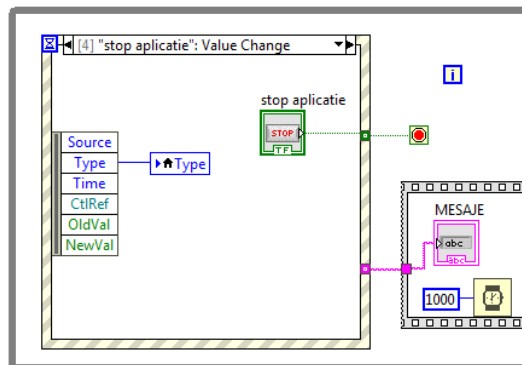


Fig. 19

Pentru trei cazuri [1], [2], [3] ale instrucțiunii Event Structure secvența indice 0 (din structura Sequence) afișează mesajul pentru 1000 ms după care, în secvența următoare (indice 1), mesajul este șters prin afișare șir vid (Fig. 18). În Figura 20 sunt listate cele cinci cazuri.

- [0] "START random 'Switch when pressed'": Value Change
- [1] "Waveform Graph": Mouse Enter
- ✓ [2] "Waveform Graph": Mouse Leave
- [3] "START random 'Switch when pressed'", "stop aplicatie", "Nr val random": Mouse Enter
- [4] "stop aplicatie": Value Change

Fig. 20

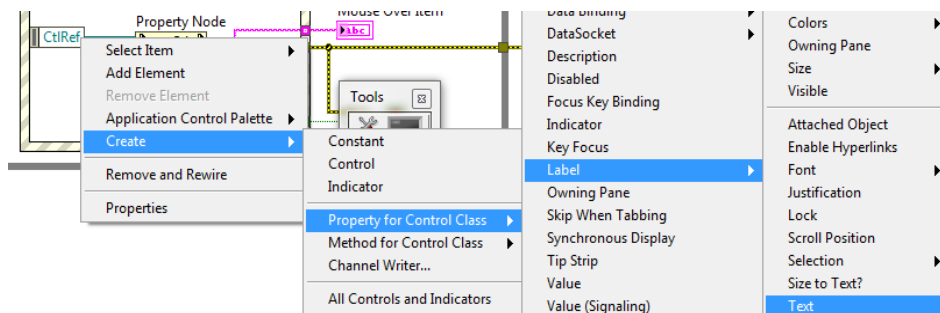


Fig. 21

Indicatorul Type (unic prin folosirea variabilei locale) indică tipul fiecărui eveniment (Value Change, Mouse Enter, Mouse Leave) care are loc.

Pentru setarea PropertyNode (cazul [3]) sunt folosite meniurile din Figura 21, unde inițial se poziționează pointerul *mouse* pe CtlRef al nodului Event Data (plasat interior contur stânga), urmat de *click* buton dreapta al mouse/Create etc.

5. Filtrare evenimente (Filter Event)

Anumite evenimente pot fi anulate automat sau este consultat operatorul înaintea efectuării acțiunii. Astfel sunt evenimentele de tip *Panel Close?* și *Menu Activation?* care vor fi exemplificate în continuare.

Să presupunem că a apărut un eveniment și anume *click mouse* pentru a închide Panou Frontal (PF). Acțiunea de închidere efectivă a ferestrei poate fi anulată (dacă de exemplu rulează o aplicație) prin tratarea evenimentului [0] Panel Close? (Fig. 22). Acțiunile pot fi anulate sau modificate.

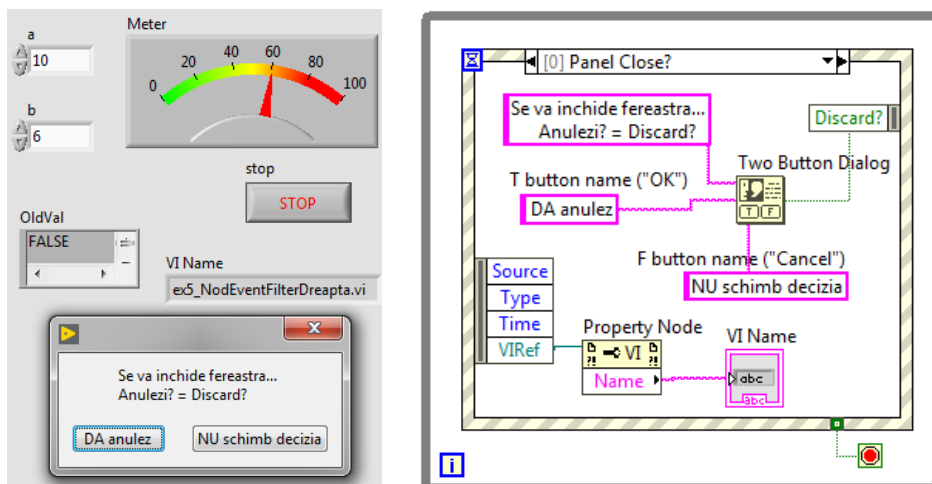


Fig. 22

Se reia aplicația din Figura 3, pentru înmulțirea a două valori reale și indicarea produsului cu un Meter; se adaugă două evenimente tratate în cazurile [0] (Fig. 23) și [2] (Fig. 24). Pentru început analizăm cazul [0] Panel Close? de tip filtrare evenimente.

Se presupune că în timpul rulării aplicației curente *nume.vi*, cu mouse-ul se acționează pentru închiderea ferestrei PF a aplicației curente *nume.vi*. Prin câmpul *Discard?* al nodului Event Filter (dreapta) se poate anula comanda de închidere a ferestrei dacă se alege butonul *DA anulez* sau se acceptă decizia de închidere a aplicației dacă se alege butonul *NU schimb decizia*. Câmpul *Discard?* apare automat pe marginea dreaptă a subdiagramei (cazului) când se selectează evenimentul Panel Close? în fereastra de configurare.

Prin *VIRef* din nodul Event Data (stânga) se extrage numele aplicației curente *nume.vi* (Fig. 23). Numele aplicației (a cărui Panou Frontal a fost acționat pentru închidere) se afișează în indicatorul șir de caractere VI Name (Fig. 22).

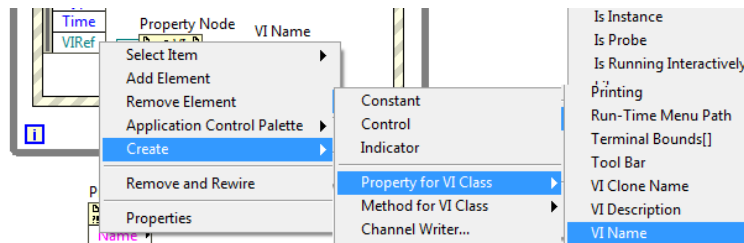


Fig. 23

Tratarea acestui *Event case* se observă în fereastra de configurare (Fig. 24), unde sursa evenimentului (Event Sources) este: *<This VI>*, iar tipul evenimentului (Events) este: *→Panel Close?*.

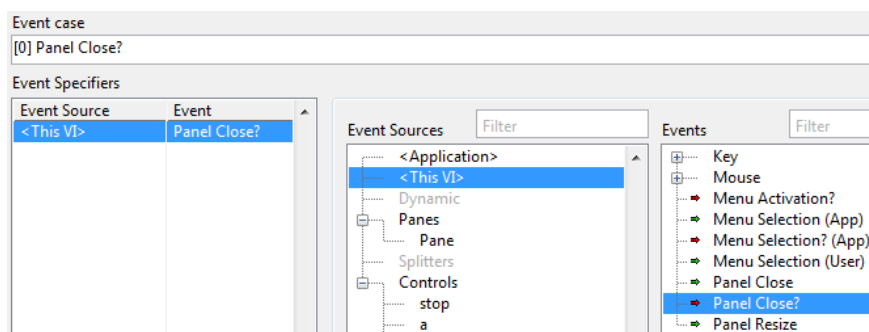


Fig. 24

În continuare este observat cazul [2] din Figura 25:

[2] Filter Event: Menu Activation?

În mod similar se creează cazul de tratare a activării meniului Panoului Frontal (PF) pentru a selecta o comandă în timpul rulării programului. Se poate anula sau continua acțiunea demarată răspunzând la fereastra dialog care apare.

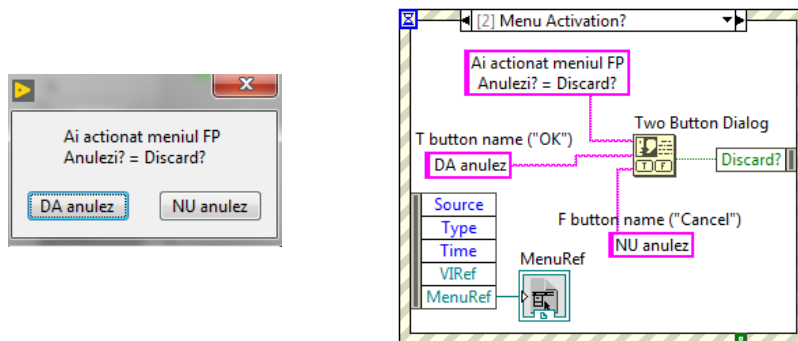


Fig. 25

[1] "stop","a","b": Value Change → eveniment de notificare

1. Se modifică valoarea unui control din lista: a, b sau stop. Prin articolul *OldVal* din nodul Event Data se afișează valoarea veche a controlului modificat. Indicatorul *OldVal* (Fig. 26) este de tip *variant* (tip generic pentru date simple și structurate) fiind capabil să afișeze atât valori numerice (a, b) cât și logice (False).

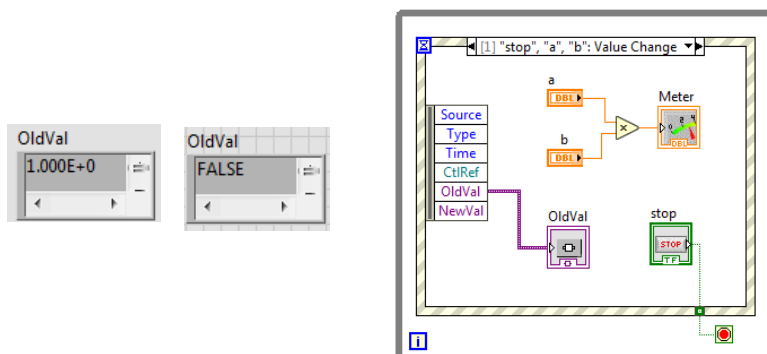


Fig. 26

6. Evenimente dinamice declanșate prin program din diagramă

În aplicația propusă, pentru început sunt calculate 300 de valori ale unei funcții în intervalul $[0, 15]$ și este reprezentat grafic tabloul valorilor funcției (Fig. 27). În continuare sunt configurate două evenimente dinamice cu declanșare pe valorile funcției astfel: dacă valorile funcției intersectează abscisa are loc generarea unui eveniment logic, iar pentru fiecare valoare a funcției în intervalul $[1, 3]$ este generat câte un eveniment dinamic numeric. La generarea evenimentelor și tratarea lor coparticipă funcții din paleta *Dialog&User Interface/Events*. Astfel, cele două

funcții Create User Event (Fig. 30) prezintă fiecare ieșirea *user event out* prin care se leagă la funcțiile Generate User Event și Register For Events (Fig. 27).

Evenimentul dinamic așteptat trebuie să aibă *tip și nume*. Prin intrarea *user event data type* a funcției Create User Event se stabilește numele evenimentului, în cazul aplicației analizate *Eve logic* (Eveniment Logic) dat de utilizator și tipul de dată al evenimentului este cel *logic* (valoarea True primită, nu are importanță). Similar evenimentul numeric (al aplicației analizate) va avea numele *Eve numeric* și tipul *numeric*.

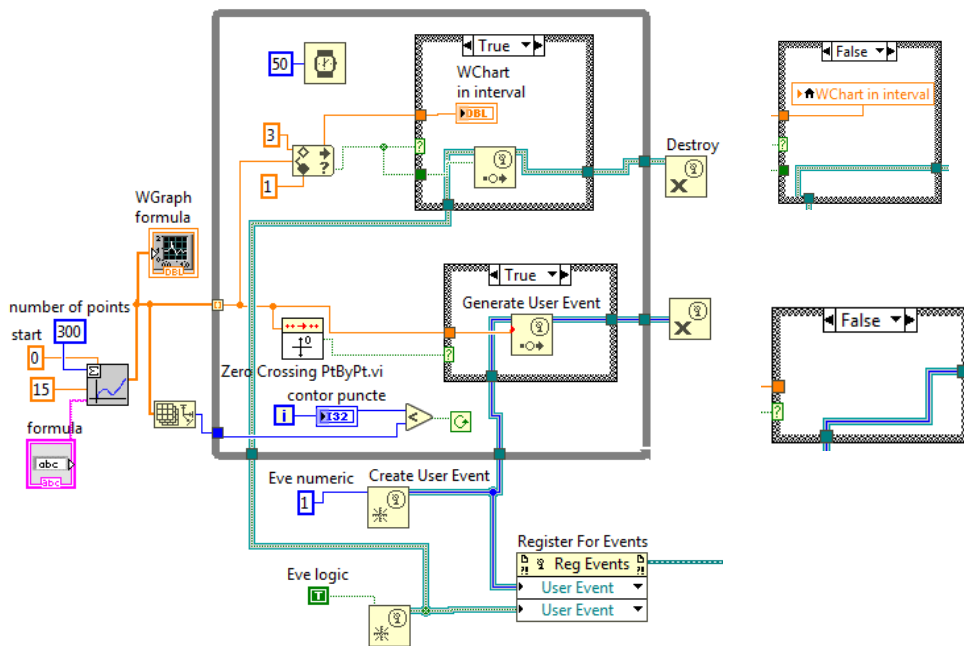


Fig. 27

Când funcția *Zero Crossing PtByPt.vi* sesizează o trecere prin zero a valorilor, returnează valoarea logică True, iar în cazul True al structurii Case se execută funcția *Generate User Event.vi* declanșând astfel cazul [2] <*Eve logic*>: *User Event* al structurii Event Case (Fig. 28). Similar pentru o valoare în intervalul [1, 3] a semnalului, funcția *In range and Coerce.vi* returnează True și este executat *Generate User Event.vi* declanșând astfel cazul [1] <*Eve numeric*>: *User Event* al structurii Event Case (Fig. 29).

Funcția *Create User Event* (Fig. 30) returnează o referință la un *User Event*.

Funcția *Register For Events* înregistrează evenimentul în cadrul structurii Event (aceasta prezintă 3 cazuri în aplicația curentă).

Funcția *Generate User Event* trimite evenimentul la toate structurile de tip Event Structure care au fost înregistrate pentru acel eveniment sau care conțin *un caz* pentru tratarea acestui eveniment.

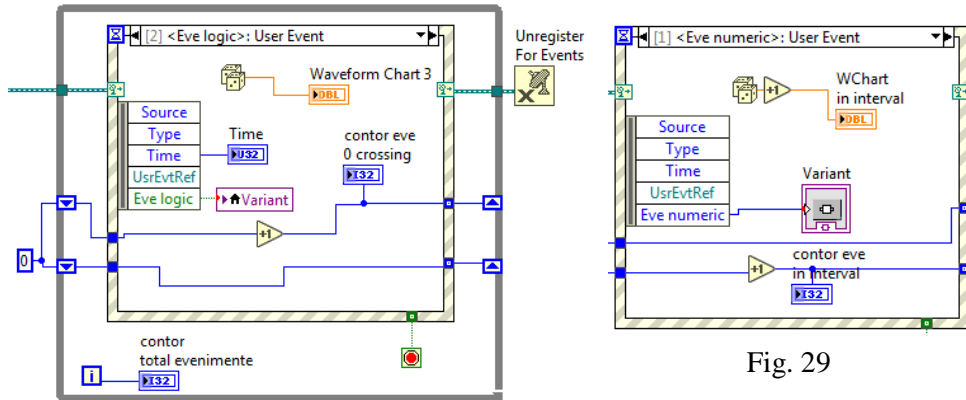


Fig. 28

Fig. 29

Se va crea în diagramă o structură Event cu 3 cazuri.

Event Structure este pusă în ciclul While deoarece după apariția unui eveniment structura Event Structure se consumă (termină) și trebuie din nou executată pentru a trata un nou eveniment.

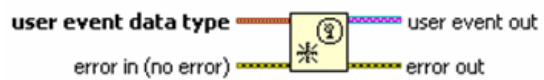


Fig. 30

1. Cazul [0] *Stop contorizare evenimente*: Value Change este un caz înregistrat static (Fig. 31). Butonul de oprire a ciclului care înscrie structura Event are acțiunea mecanică prezentată în Figura 32, poziția (1,1) în matricea de acțiuni posibile.

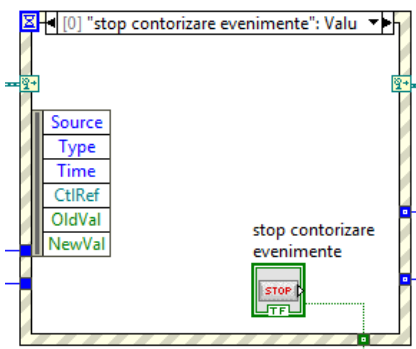


Fig. 31.

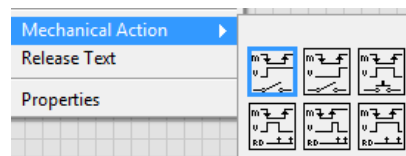


Fig. 32

Pentru a putea adăuga evenimente dinamice se activează (bifează) *Show Dynamic Event Terminal* (Fig. 33), la care se leagă ieșirea 1 a funcției *Register For Events*, astfel încât la crearea unui nou caz să apară în fereastra de editare (Fig. 34) posibilitatea de a crea un eveniment dinamic.

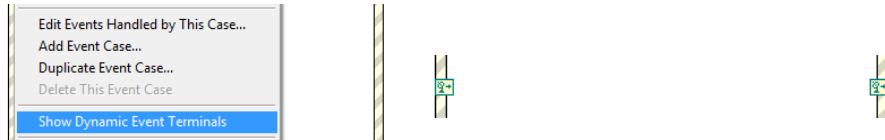


Fig. 33

2. Cu comanda Add Event Case... se creează al doilea caz [1]<Eve numeric>:User Event. În fereastra deschisă (Event case, Fig. 34) se selectează Event Sources: Dynamic/.... În cazul apariției acestui eveniment se incrementează valoarea din Registrul de transfer cu vizualizare în indicatorul *contor eve in interval* și se generează un număr aleator care se vizualizează în fereastra *WChart in interval* plasată în PF.

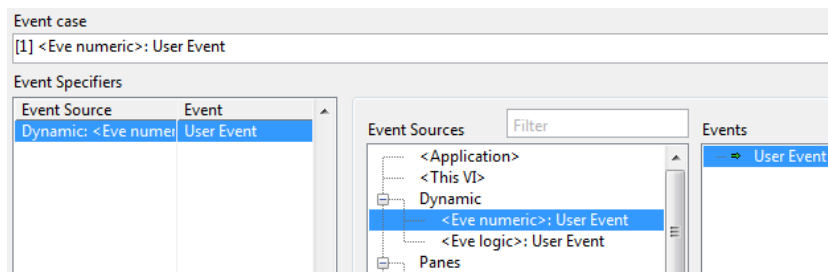


Fig. 34

3. Cu comanda Add Event Case... se creează al treilea caz numit [2]<Eve logic>:User Event. În cazul apariției acestui eveniment se incremenetează valoarea din Registrul de transfer cu vizualizare în indicatorul *contor eve 0 crossing* și se generează un număr aleator cu vizualizare în fereastra Waveform Chart (3) în PF.

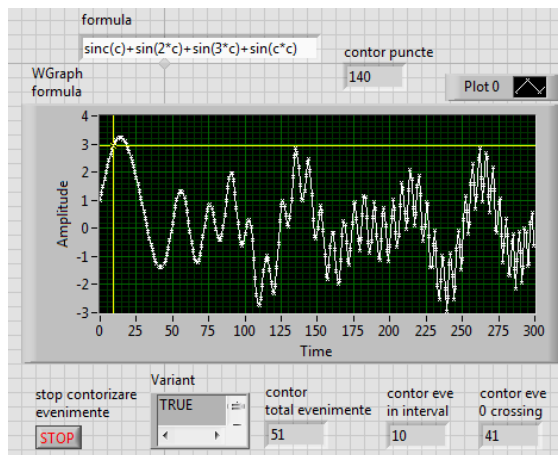


Fig. 35

Observăm continuu în PF egalitatea între numărul total de evenimente care au loc și suma celor două tipuri de evenimente. În Figura 35, la un moment dat se surprind în timpul rulării 10 evenimente (valori în interval) plus 41 evenimente (0 crossing) rezultând 51 numărul total de evenimente. Numărul total de evenimente este egal cu numărul iterațiilor ciclului While asociat structurii Event.

Ferestrele grafice *Waveform Chart 3* și *WChart 2 in interval* vor conține fiecare atâtea puncte generate aleator câte evenimente au lor din fiecare tip. Pentru ștergerea celor două ferestre (clear history) de la o rulare (execuție) la alta a aplicației se folosește codul grafic din Figura 36, inserat în afara ciclurilor diagramei. Succesiunea de comenzi pentru a avea acces la proprietatea History Data a obiectului fereastră grafică și inițializarea acesteia cu tabloul vid de valori întregi este de asemenea observabilă în Figura 36. Același efect se obține prin comanda Data Operations/Clear Chart (sau Clear Graph) de pe suprafața ferestrei grafice. Fereastra *WChart 1 in interval* cu terminalul aflat în cazul True din Figura 27 prezintă valorile efective care declanșează evenimentul de tip în valoare în intervalul [1, 3].

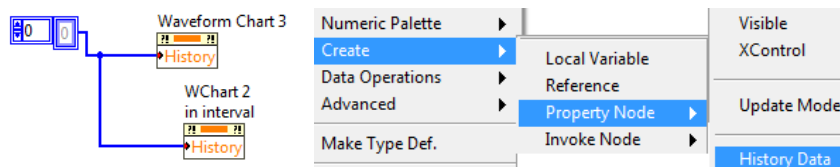


Fig. 36

7. Precizări cu privire la Event Structure

7.1. Aspecte generale

Programarea pe evenimente (Event-Driven Programming) este utilă în special pentru dezvoltarea interfețelor utilizator (UI). Tradițional, este folosită tehnica *polling* sau citirea repetată în cadrul unui ciclu a controalelor din Panoul Frontal pentru a sesiza o modificare de valoare, fapt care se traduce în utilizarea de resurse CPU mari. Ciclarea la frecvență mai mică face posibilă neglijarea unor evenimente sau a ordinii apariției lor. În programarea condusă de evenimente, spre deosebire de programarea procedurală, aplicația care rulează sub sistemul de operare (aplicația LabVIEW, de exemplu) recepționează și tratează corespunzător mesajul primit de la sistemul de operare la producerea unui eveniment. Evenimentele de genul interacțiunii prin tastatură sau mouse sunt identificate de sistemul de operare, este transmis mesajul asociat, care poate fi recepționat de aplicație, urmând să se execute un cod scris special pentru acel eveniment, în cazul de față codul aparține unui caz al Event Structure.

Fluxul firesc al datelor în diagrama unei aplicații presupune execuția unui nod al diagramei la momentul în care nodul are la dispoziție date la toate intrările conectate. După execuție, nodul generează (returnează) date care trec prin fire spre nodurile următoare conectate conform cu fluxul de date din diagramă.

Programarea condusă de evenimente permite modificarea execuției firești la apariția unui eveniment urmată de tratarea acelui eveniment. Evenimentele pot fi statice sau dinamice. Exemple de evenimente statice sunt: schimbarea valorii unui control, intrarea sau ieșirea pointerului *mouse* într-o/dintr-o zona de pe PF, apăsare

buton mouse, închiderea sau schimbarea mărimii unei ferestre, apăsarea unei taste, timeout etc. Evenimentele dinamice spre deosebire de cele statice prezentate în exemplele anterioare, sunt declanșate prin program din Diagrama bloc, fără intervenția utilizatorului în PF. Programul construit pe baza structurii Event (Event Structure) așteaptă apariția unui eveniment, tratează evenimentul apărut și revine la așteptare.

7.2. Descrierea structurii Eveniment

Structura Eveniment (Event Structure) poate avea una sau mai multe subdiagramme sau cazuri și se plasează într-un ciclu While. Fiecare subdiagramă sau caz gestionează unul sau mai multe evenimente. Cât timp se așteaptă apariția unui eveniment nu se consumă resurse de calcul CPU. Evenimentele se pun în coada de așteptare dacă nu pot fi tratate imediat (de exemplu, un eveniment apare când un alt eveniment se execută). Se pot șterge elemente din coadă, folosind funcția Flush Event Queue.

Elementele specifice structurii Eveniment sunt prezentate în Figura 37 (preluată din Help LabVIEW) în care se observă un eveniment de tip Key Down? Astfel, observăm:

1. selectorul de evenimente - acesta conține eticheta sau antetul cazului și descrie tipul evenimentelor urmărite prin acel caz.

2. Terminalul Timeout (clepsidra) specifică numărul de milisecunde de așteptare după care se execută cazul Timeout; dacă valoarea conectată la clepsidra este -1 rezultă o așteptare nelimitată. În cazul în care se conectează la clepsidra o valoare întreagă (în msec) trebuie să existe și un case Timeout, altfel apare o eroare.

3. Setare Terminal pentru tratarea unui eveniment dinamic; se bifează *Show Dynamic Event Terminal* (click dreapta mouse pe cadrul Event Structure) la care se leagă ieșirea 1 a funcției *Register For Events* astfel încât la crearea unui nou caz să apară în fereastra de editare posibilitatea de a crea un eveniment dinamic.

4. Nodul Event Data este plasat în interiorul cadrului atașat pe latura stângă. Acesta permite acces la datele pe care LabVIEW le returnează la apariția unui eveniment, fiind date despre evenimentul curent. Asemănător cu *Unbundle By Name*, se poate redimensiona numărul de terminale din nod pe verticală și se poate selecta articolul dorit. Nodul Event Data permite acces la câmpuri cum sunt: Type

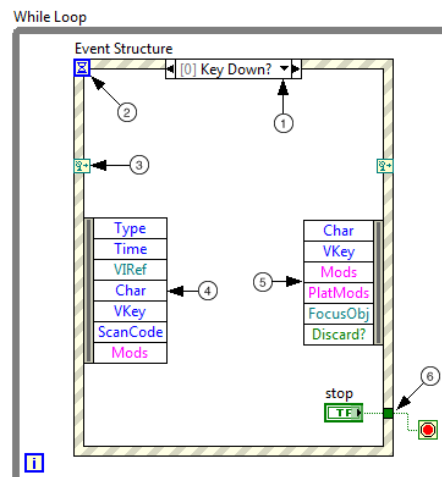


Fig. 37

și Time care sunt elemente comune tuturor evenimentelor sau elemente Char and VKey, acestea fiind specifice evenimentului apărut.

5. Nodul Event Filter (plasat pe latura dreaptă a cadrului) identifică date ale evenimentului pe care le poți modifica înainte ca interfața utilizator (UI) să poată prelucra acea dată. Nodul apare numai în cazuri de tip *filter events* (având caracterul ? la urmă). Dacă se dorește schimbarea *event data*, se poate lega la dreapta și modifica articolul cu data în cauză sau lega data provenită din Event Data Node la Event Filter Node. Astfel, se pot schimba date ale evenimentului cu noi valori și anume cele dorite de programator. De exemplu, pentru eliminarea/anularea unui eveniment deja cerut se leagă valoarea True la terminalul *Discard?*. Dacă nu se conectează o valoare la un terminal de date aparținând nodului Event Filter, acea dată își păstrează valoarea.

6. Event Structure suportă tuneluri de ieșire, dar nu sunt necesare legături la tunel din fiecare caz - așa cum în general este necesar la Structura Case.

8. Probleme propuse

8.1. Folosiți Event Structure pentru umărirea unui eveniment de tip mișcare pointer mouse (Mouse Move) în PF (Fig. 38). Sunt returnate (în case) și stocate coordonatele mouse-ului în timp ce este deplasat. După oprirea ciclului While (care conține Event Structure) să se traseze mișcarea efectuată de pointerul *mouse*, conform cu Figura 39. Pe un alt caz (subdiagramă) să se anuleze automat încercarea de a închide sau redimensiona Panoul Frontal.

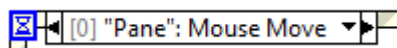


Fig. 38

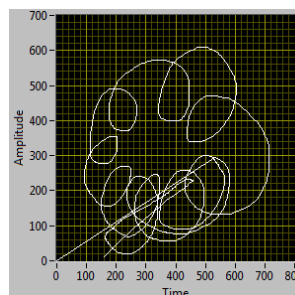


Fig. 39

8.2. Salvați într-un tablou de structuri timpul apariției și tipul fiecărui eveniment care a avut loc pe durata rulării unei aplicații.

8.3. Se va ilumina un LED verde (indicator boolean) la fiecare 4 secunde. Se contorizează și afișează, de asemenea, timpul total la fiecare iluminare a LED-ului.

XII. Tipul de dată waveform - generare, salvare, concatenare

1. Tipul de dată waveform, funcția Build Waveform

1.1. Funcțiile de generare/manipulare a datelor de tip waveform (formă de undă) se găsesc în Paleta Functions/Waveform. Tipul Waveform este o dată de tip structură, se asociază cu un semnal măsurat/generat și se compune din trei câmpuri: $t0$ momentul de start, dt spațierea între valori sau eșantioane succesive și Y tabloul de valori/eșantioane. În aplicația din Figura 1 cu funcția Build Waveform.vi s-a creat o formă de undă analogică. Funcția Get Date/Time In Seconds.vi obține data

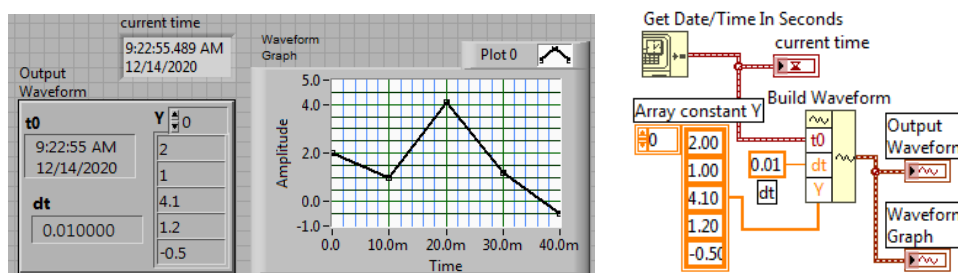


Fig. 1

și timpul curent. Se poate folosi, de asemenea, funcția To Time Stamp (Fig. 2) pentru a obține o valoare pentru $t0$. În graficul din Panoul Frontal observăm spațierea de 10 milisecunde între eșantioane succesive și durata semnalului de 40 milisecunde.

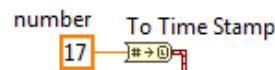


Fig. 2

1.2. Conectați forma de undă generată, mai sus, la prima intrare (waveform) a unei noi funcții Build Waveform (Fig. 3) și modificați spațierea ($dt=0.03$) dintre valorile formei de undă. Observați în grafic durata modificată a formei de undă.

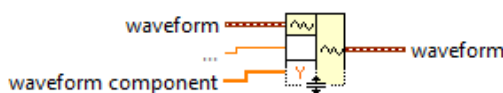


Fig. 3

2. Operații cu forme de undă

Două forme de undă se pot aduna, scădea, înmulți sau împărți; cele două trebuie să aiba aceeași spațiere dt între eșantioane.

În diagrama din Figura 4 operația care se aplică formelor de undă este aleasă printr-un control de tip Enum (Fig. 5); acesta selectează un caz dintre cele patru cazuri ale instrucțiunii Case. În Panoul Frontal observăm forma de undă Sine Waveform peste care s-a suprapus forma de undă Gaussian White Noise Waveform.vi. Ambele forme de undă prezintă același Sampling Info (implicit):

$F_s=1000$ (eșantioane pe secundă) rezultând același $dt=0.001$ iar numărul total de eșantioane în semnal este $\#s=1000$, rezultând o durată de o secundă a formei de undă. Frecvența semnalului sinusoidal generat este implicit de 10 Hz.

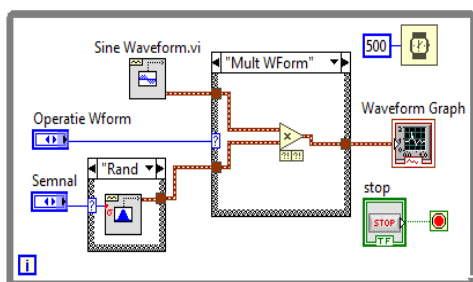


Fig. 4

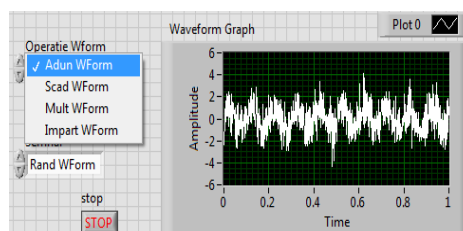


Fig. 5

Funcția Sine Waveform.vi prezintă intrările observabile în Figura 6. Intrarea *sampling info* (de tip structură) a funcției Sine Waveform.vi conține componentele F_s (implicit $F_s=1000$ eșantioane/secundă) și $\#s$ (implicit $\#s=1000$ eșantioane); astfel, semnalul sau forma de undă are durată de o secundă, conține 1000 eșantioane și $dt=0.001$ secunde.

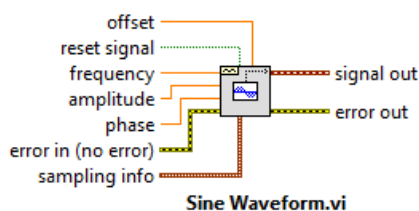


Fig. 6

3. Tablou de forme de undă, salvare în fișiere și vizualizare Putere spectrală

3.1. Se generează la fiecare iterație un semnal formă de undă sinusoidal (Sine Waveform.vi) peste care se suprapune perturbația sau zgomotul dat de forma de undă Uniform White Noise Waveform.vi (Fig. 10).

Formele de undă cu zgomot atașat generate la fiecare iterație se adună, iar la ieșirea din ciclu (după apăsarea butonului Stop) se mediază aritmetic. Cazul indice 0 al structurii Case asigură inițializarea registrului Shift cu prima formă de undă generată, iar la iterațiile următoare se însumează forma de undă curentă cu suma formelor de undă precedente puse la dispoziție de același registru de transfer.

Sunt salvate forme de undă în fișiere la fiecare iterație astfel: în format text (f2.txt - coduri ASCII) apelând *Export Waveforms To Spreadsheet File (2D).vi* și în format binar (f1.bin) apelând *Write Waveforms to File.vi*. Fișierele de tip 'Spreadsheet' conțin datele în celule aranjate pe linii și coloane. O celulă poate fi de tip șir de caractere, valori numerice etc. (de exemplu, fișierele Excel.xlsx).

Intrarea *sampling info* a funcției Sine Waveform.vi conține componentele F_s și $\#s$ cu valori implicite, astfel semnalul durează o secundă, conține 1000 eșantioane și $dt=0.001$ secunde. În exemplul curent modificați $F_s=100$, $\#s=100$.

pentru ambele forme de undă Sine Waveform.vi și Uniform White Noise Waveform.vi

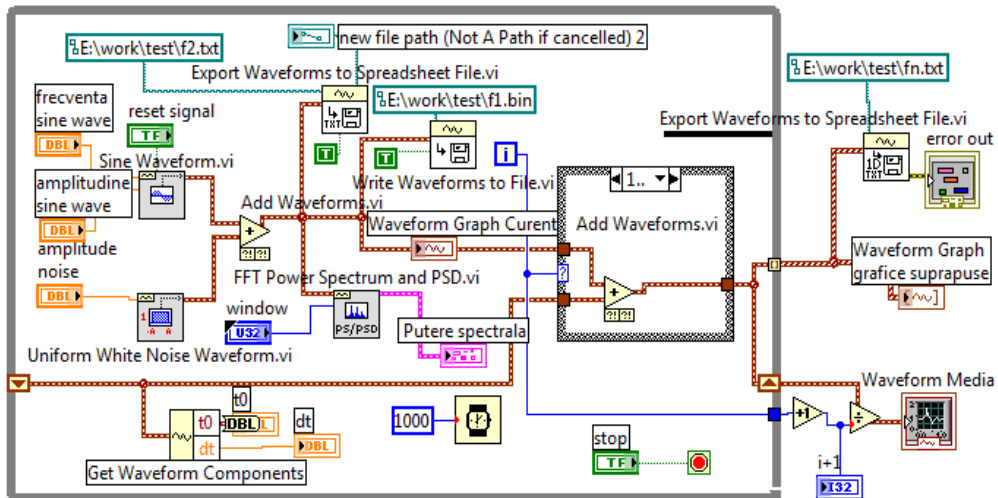


Fig. 7

3.2. Adăugați FFT Power Spectrum și PSD.vi din paleta Waveform Measurements și vizualizați puterea spectrală (PS) a formei de undă generate la iterația curentă. Observați translatarea stânga-dreapta (pe abscisa frecvență) a vârfului puterii spectrale a semnalului când se modifică frecvența semnalului generat de Sine Waveform.vi. Folosiți un cursor pentru citirea vârfului PS. Abscisa vârfului este egală cu frecvența semnalului Sine Waveform.vi generat.

3.3. După oprirea ciclului While, într-un indicator Waveform Graph este reprezentat grafic tabloul de forme de undă obținut la tunelul de ieșire cu indexare conținând grafice suprapuse (Fig. 9) și în alt indicator grafic este vizualizată media formelor de undă generate.

waveform	[0]	[1]	[2]	[3]
t0	1/1/1904 03:00:00.000000		1/1/1904 03:00:01.000000	1/1/1904 03:00:02.000000
delta t	0.001000	0.001000	0.001000	0.001000

time	Y[0]	Y[1]	Y[2]	Y[3]
1/1/1904 03:00:00.000000	1.170654E-1	1.103271E-1	1.626221E-1	7.844238E-2
1/1/1904 03:00:00.001000	2.188086E-1	5.486205E-2	8.740837E-3	1.155914E-2
1/1/1904 03:00:00.002000	3.132239E-1	1.694494E-1	2.224524E-1	1.533484E-1
1/1/1904 03:00:00.003000	3.555332E-1	2.795871E-1	1.281131E-1	2.006427E-1
1/1/1904 03:00:00.004000	2.628989E-1	9.076752E-2	2.347434E-1	2.999075E-1
1/1/1904 03:00:00.005000	4.894003E-1	2.610495E-1	3.725454E-1	4.442968E-1
1/1/1904 03:00:00.006000	5.251802E-1	5.397310E-1	2.647432E-1	2.460237E-1

Fig. 8

Tabloul formelor de undă este salvat în fișierul text *fn.txt*. Stabiliți calea potrivită pentru salvare în fișiere conform structurii proprii de directoare. Tabloul

de structuri conține atâtea forme de undă câte iterații au avut loc. Acest fișier se poate deschide în Excel unde vom observa (Figura 8) pe fiecare coloană câte o formă de undă din tabloul de forme de undă. Sunt patru forme de undă; primele 3 linii ale fișierului conțin 4 valori t_0 , 4 valori $\Delta t = 0.001000$ urmate de 5 coloane: timp, $Y[0]$, $Y[1]$, $Y[2]$, $Y[3]$.

Observați efectul variației amplitudinii semnalului Uniform White Noise Waveform.vi în intervalul 0 - 0.5.

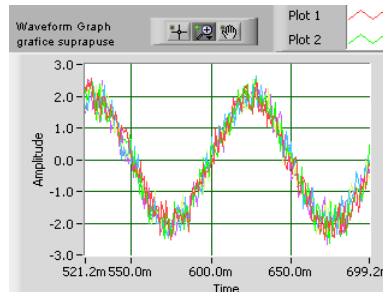


Fig. 9

4. Concatenare forme de undă, controlul Reset Signal

Plecând de la aplicația precedentă se vor concatena, în corpul ciclului while, formele de undă generate succesiv. Observați *punctele de concatenare* pentru rularea aplicației precedente cu intrarea Reset Signal = T și pentru Reset Signal = F (Fig. 6).

Scrieți cod (Fig. 10) pentru concatenare (în ciclul While) de semnale generate de Sine Waveform.vi (Noise=0), Sampling info: $F_s = \#s = 100$. Sunt concatenate (apelând Append Waveforms.vi) formele de undă generate la câte trei iterații succesive (0, 1, 2), (1, 2, 3) etc. (adăugarea fiecărui semnal se face la urmă) și vizualizare grafică. Frecvența (Hz) nu este număr întreg. Cazul 0..2 (exterior) asigură concatenarea primelor trei forme de undă într-un singur tronson în colaborare cu cazurile 0 și 1,2, *Default* (interior). Toate cazurile sunt comandate de contorul i al ciclului While.

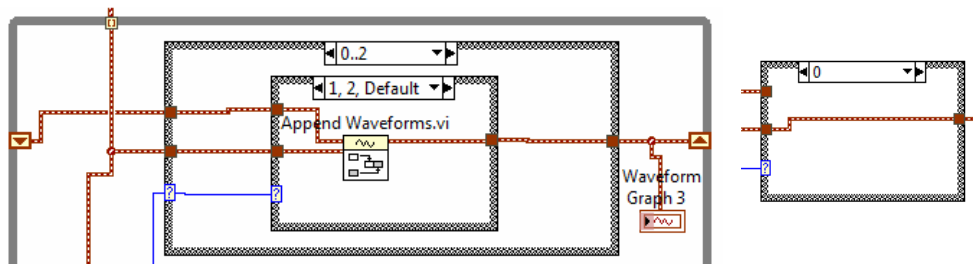


Fig. 10

Pentru iterațiile următoare (Cazul 3..) s-a ales varianta de a extrage cele 300 de eșantioane cu funcția *Get Waveform Subset.vi* (Fig. 11) folosind intrările *start* și *duration* pentru selectarea eșantioanelor extrase.

Pentru $Reset\ Signal=F$ se obține semnal continuu. Schimbați la fiecare ciclare frecvența formei de undă sinus și observați din nou punctele de concatenare.

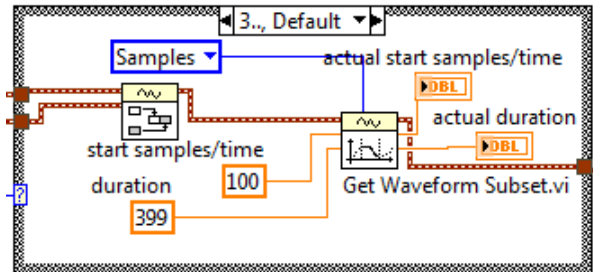


Fig. 11

Pentru $Reset\ Signal=T$ se obține semnal discontinuu totalizând trei generări de forme de undă fiecare din câte 100 eșantioane (Fig. 12), faza semnalului fiind resetată la valoarea prescrisă prin intrarea *phase* la fiecare generare. Astfel, pentru generarea unui semnal de durată, fără discontinuități, se va seta $Reset\ Signal=F$.

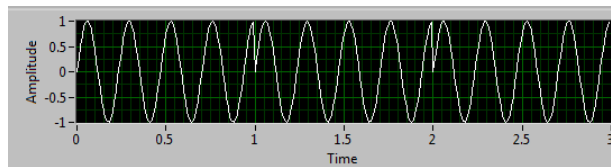


Fig. 12

5. Controlul Sampling Info și frecvența - problema propusă

Puneți Sampling Info control comun pentru Sine Waveform și Uniform White Noise Waveform.vi și frecvența de valoare 8. Observați semnalul generat la următoarele perechi din Sampling Info: ($F_s=100$, $\#s=100$), ($F_s=100$, $\#s=200$), ($F_s=200$, $\#s=100$), ($F_s=300$, $\#s=100$), ($F_s=400$, $\#s=100$). Pentru fiecare pereche găsiți valorile mărimilor dt și timpul total în fereastră; calculați câte perioade sunt în fereastră și câte sunt într-o secundă. Prezentați tabelar observațiile. Se modifică frecvența (număr cicluri pe secundă) semnalului generat? Pentru numărare corectă, dacă este nevoie, setați $Reset\ Signal = T/F$.

6. Tablouri de numere reale (DBL) salvate în fișier text

Aplicația din Figurile 13 și 14, salvează tablouri/array de numere reale (dbl) în fișier text apelând Write delimited Spreadsheet.vi și apoi citește din fișier. În prima secvență a structurii Sequence este scrisă o matrice 4×3 [DBL] într-un fișier text, iar în secvența a doua sunt citite primele trei linii din fișierul text creat (prin selecția fișierului în fereastra de dialog).

Se specifică formatul (%8.3f) de scriere în fișierul text unde 8 este numărul de caractere alocate unei valori din care trei sunt zecimale. La citirea din fișierul

text este furnizat numărul liniilor de citit (dar și caracterul de la care să înceapă citirea). Vizualizați fișierul creat în Notepad și în Excel.

2D data			all rows				
0	2.00	4.12	1.00	0	2.000	4.123	1.000
0	1.00	-3.00	3.00	0	1.000	-3.000	3.000
	6.00	4.00	3.00		6.000	4.000	3.000
	4.00	-1.00	3.00				

3 number of rows (all:-1)

Fig. 13

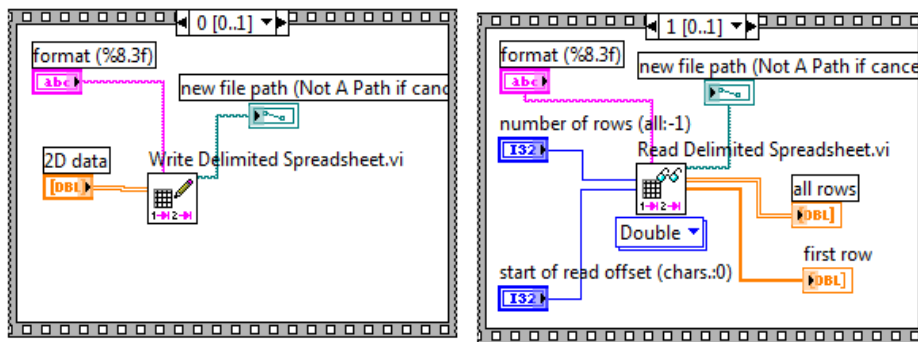


Fig. 14

7. Scrierea/citirea în/din fișier a unui șir de caractere

Aplicația din Figurile 15 și 16, conține o structură de tip secvență cu două cadre (secvențe). În prima secvență se apelează funcția *Write to Text File.vi* pentru scrierea în fișier a unui șir de caractere plasat în controlul etichetat *text*. În a doua secvență se citește din fișierul tocmai creat numărul de caractere specificat în controlul *numar caractere de citit* care apoi se afișează în Panoul Frontal.

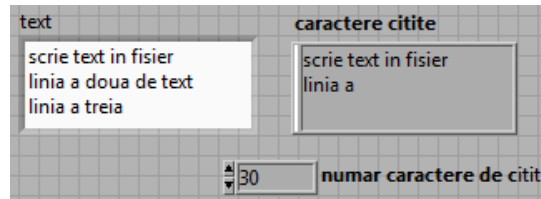


Fig. 15

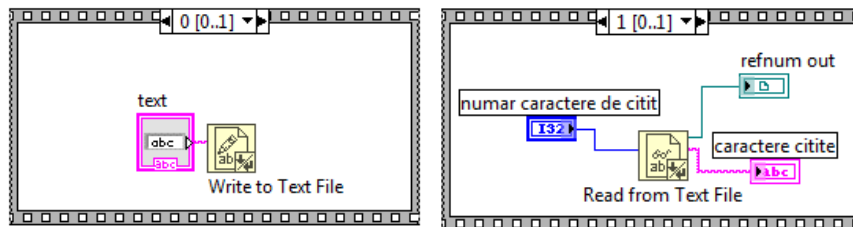


Fig. 16

XIII. Cursorsi în Waveform Graph

1. Operații cu cursori

1.1. Aplicația din Figura 1 trasează graficul funcției: $f(x)=\sin(x)+x$. Asociat indicatorului grafic Waveform Graph se adaugă doi cursori (single-plot) atașați curbei trasate. Fiecare cursor se poziționează pe câte un punct de pe curbă. Se dorește afișarea în PF a diferenței dintre abscisele (x_0-x_1) și ordonatele (y_0-y_1) punctelor pe care sunt plasați cursorii. Fiecare cursor poate fi deplasat cu mouse-ul în alte puncte de pe grafic, cu afișarea imediată a diferențelor menționate. Aplicația este oprită cu butonul de Stop.

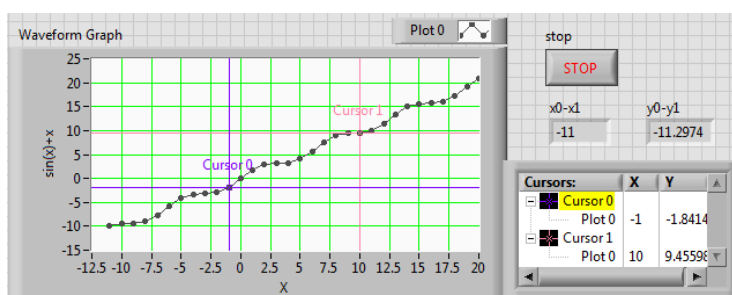


Fig. 1

În prima etapă este trasat graficul funcției, după care se intră într-un ciclu While pentru citirea repetată a poziției cursorilor. Este generată o referință la obiectul indicator grafic 'Waveform Graph': *mouse click-dreapta* pe indicatorul grafic sau pe terminalul asociat din diagramă (Fig. 2). Referința poate fi folosită pentru a avea acces la proprietățile sau metodele (funcțiile) indicatorului grafic (în general referința poate fi la VI-ul curent sau la orice control sau indicator).



Fig. 2

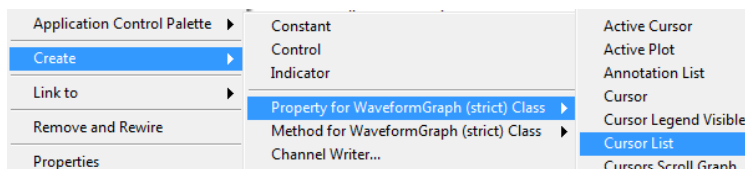


Fig. 3

Se plasează în diagramă (și se conectează la referință) lista cursorilor asociați ferestrei grafice, prin comanda din Figura 3: Create/Property for.../Cursor List. Este conectat tabloul de două structuri (doi cursori) cu indexare la tunelul de intrare în

ciclul For. Din fiecare structură intrată în corpul ciclului prin *Unbundle by Name* sunt extrase valorile (coordonatele) X și Y ale punctului pe care cursorul este poziționat. Prin Index Array se extrag cele două abscise și respectiv cele două ordinate pentru calculul diferențelor. Zona din diagramă asociată prelucrării datelor, furnizate de cei doi cursori, este vizualizată în Figura 4. Codul grafic, pentru calculul funcției și trasarea graficului, nu este vizibil.

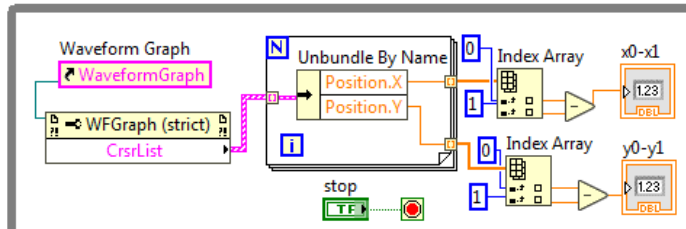


Fig. 4

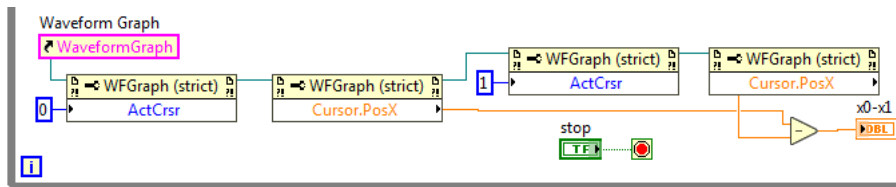


Fig. 5

1.2. O metodă alternativă (Fig. 5) pentru exemplul de mai sus este de a pune pe rând fiecare cursor în stare activă și a extrage succesiv poziția cursorului cursor.PosX, urmând să se calculeze diferența valorilor. Codul este în corpul unui ciclu While, astfel acțiunea se poate continua prin mutarea unui cursor pe alt punct și afișarea imediată a noii diferențe dintre abscisele punctelor.

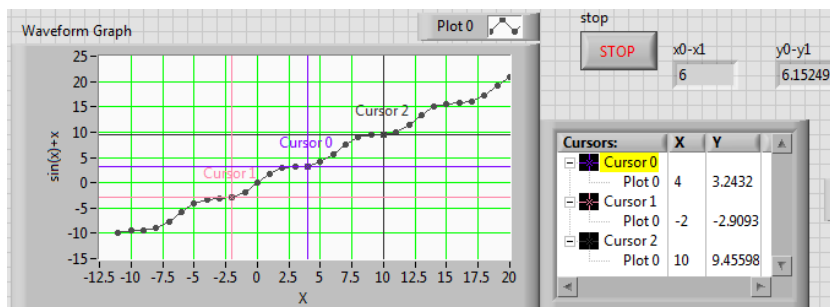


Fig. 6

1.3. Deplasarea unui cursor poate fi comandată sau este dependentă de deplasarea altui cursor. Se va corela deplasarea cursorului 2 cu deplasarea cursorului 0 și afișarea diferenței ordonatei punctelor indicate de cursori (Fig. 6).

La deplasarea cu mouse-ul a cursorului 0, cursorul 2 se deplasează păstrând distanța specificată prin controlul 'distanța cursori' (Fig. 7).

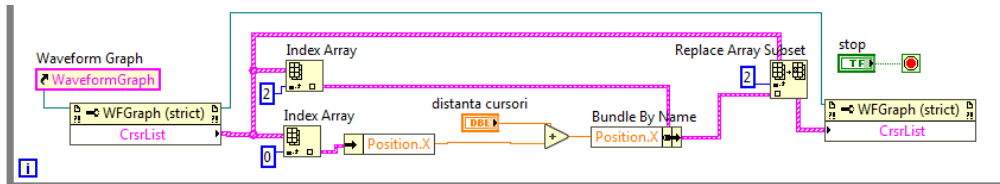


Fig. 7

În diagrama asociată observăm extragerea prin Index Array a structurii cursorului dependent (indice 2), înlocuirea (prin Bundle By Name) a valorii câmpului Position.X cu valoarea poziției cursorului indice 0 la care se adună controlul 'distanța cursori'. Urmează actualizarea tabloului de structuri CrsrList.

1.4. Sunt amintite în continuare câteva noțiuni despre cursorii atașați ferestrei grafice Waveform Graph. Lista proprietăților unui cursor este dată în Figura 8. Acestea sunt conținute într-un cluster (structură) cu 16 câmpuri (elemente). Mai mulți cursori formează un tablou 1D de clustere. Cursorul permite citirea coordonatelor punctelor de pe curbele trasate în fereastra grafică (proprietatea Position). La crearea unui cursor se specifică unul din cele trei moduri de lucru (Cursor Mode): Free, Single-Plot sau Multi-Plot; acesta nu se poate schimba ulterior (Fig. 9). În modul *Free* cursorul poate fi deplasat (folosind mouse-ul) la orice punct de pe zona grafică, punct aflat pe o curbă sau în afara curbelor. În modul *Single-Plot* cursorul citește puncte numai de pe o curbă din setul de curbe din fereastra grafică; cursorul poate fi mutat pe altă curbă (prin comanda Snap To) după care va prelua puncte numai de pe noua curbă (la deplasarea cursorului cu mouse-ul). În modul *Multi-Plot* cursorul citește și afișează simultan puncte de pe mai multe curbe. Astfel, în Figura 10, cursorul indice 2 afișează trei puncte, câte unul de pe fiecare din cele trei curbe, punctele având aceeași abscisă.

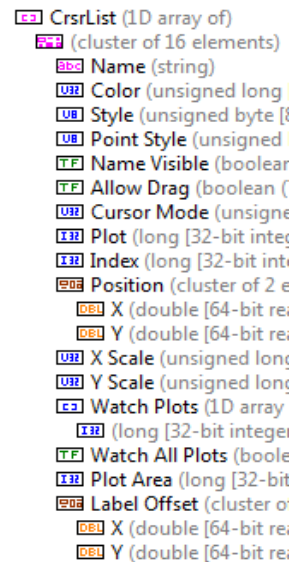


Fig. 8

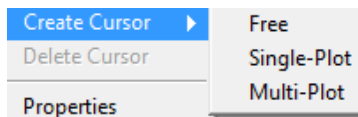


Fig. 9

Cursor	Plot	X	Y
Cursor 2	Plot 0	15	10.9229
	Plot 1	15	15.6503
	Plot 2	15	7.92287

Fig. 10

2. Eveniment de tip 'Cursor Move'

2.1. Se va programa un eveniment de tip 'Cursor Move'. La deplasarea cursorului unic, asociat ferestrei 'Waveform Graph', se creează al doilea cursor plasat la abscisă dublă față de primul cursor. În Panoul Frontal (Fig. 11) observăm abscisa cursorului indice 0 la valoarea 7.5, iar cursorul 2X comandat este plasat la abscisa 15.

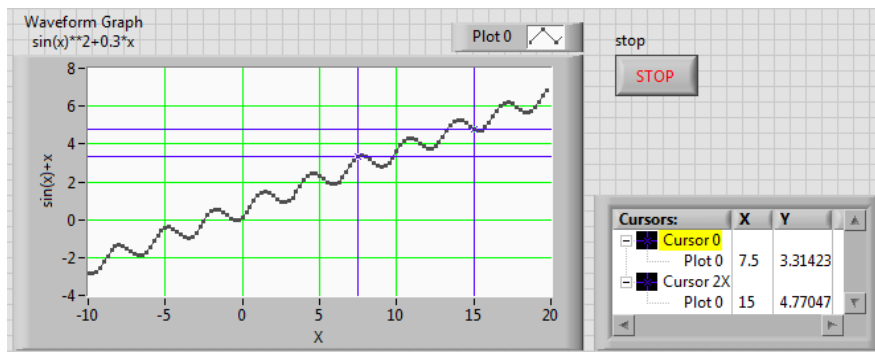


Fig. 11

La deplasarea la stânga sau la dreapta cu mouse-ul a cursorului indice 0, cursorul al doilea, notat 2X, se va deplasa imediat la dublul abscisei primului cursor.

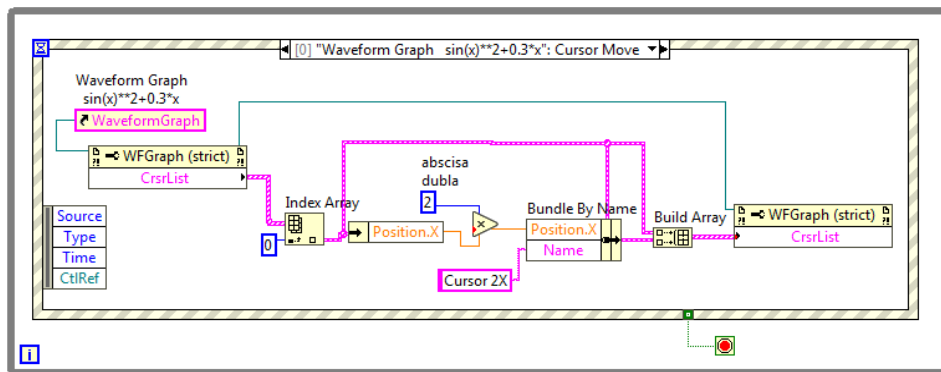


Fig. 12

În diagramă (Fig. 12) se realizează copierea structurii, compusă din 16 câmpuri, atașate primului cursor (indice 0), și modificarea în structura copiată a numelui și a poziției cursorului. Sunt astfel modificate două câmpuri ale structurii copiate. Noul nume este Cursor 2X, iar poziția pe axa absciselor, la fiecare eveniment de tip 'Cursor Move', se obține prin înmulțirea cu 2 a abscisei primului cursor. Se construiește un tablou 1D ce conține cele două structuri asociate celor doi cursori și se actualizează sau se impune noul tablou obiectului grafic 'Waveform Graph'.

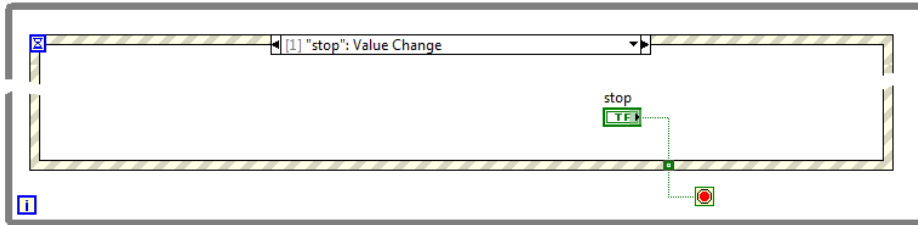


Fig. 13

Evenimentul prin care este oprită aplicația este apăsarea butonului de Stop. Schimbarea valorii (Value Change) butonului din False (neapăsat) în True asigură oprirea ciclului While prevăzut cu terminalul Stop if True (Fig. 13).

2.2. Fereastra pentru setarea evenimentului (în cadrul structurii Event Structure) asociat deplasării cursorului, este vizualizată în Figura 14.

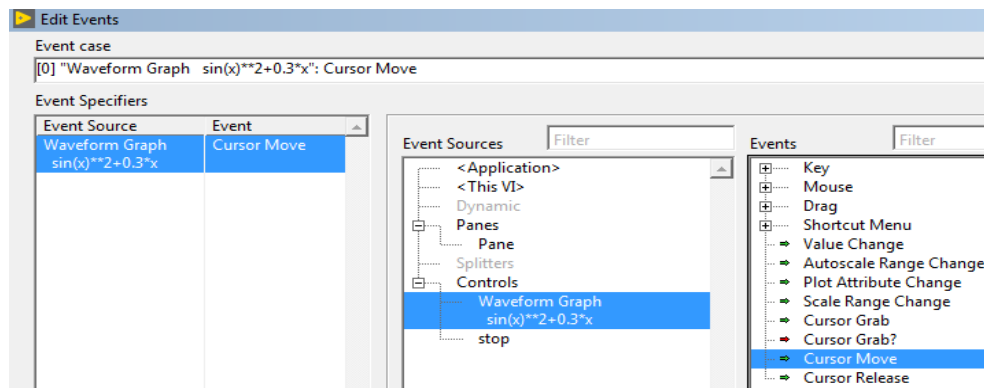


Fig. 14

XIV. Aplicații LabVIEW pentru prelucrarea sunetelor prin placa de sunet

1. Funcții pentru achiziție de sunet prin placa de sunet

Sunt prezentate în continuare funcțiile de bază pentru achiziție de sunet (Fig.1) plasate în paleta Sound (Fig.2). Funcția *SI Config.vi* (Fig.3) pregătește placa de sunet pentru achiziție, alocă un buffer RAM de memorie intermediar (de exemplu, alocă 8192 bytes, apoi trimite datele în buffer-ul intermediar de memorie). Intrarea *number of samples/ch* specifică numărul de eșantioane pe fiecare canal care se alocă în buffer. Intrarea *sample mode* pentru valoarea *Finite Samples* determină achiziția unui număr de eșantioane specificat și se oprește (achiziția), iar pentru *Continuous Samples* se va realiza o achiziție continuă (funcția *SI Read.vi* se va apela repetitiv).



Fig. 1

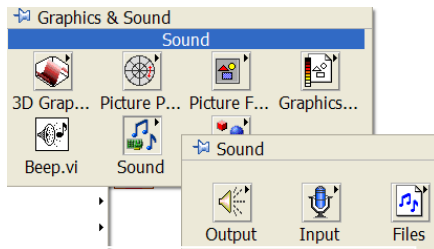


Fig. 2

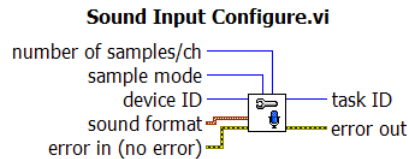


Fig. 3

Intrarea *device ID* pentru valoarea 0 (implicit) specifică numărul dispozitivului de achiziție (placa de sunet internă sau altă placă conectată pe USB). Intrarea *sound format* (Fig. 4) propune formatul sunetului achiziționat. Aceasta fiind o structură de date prezintă următoarele câmpuri: 1) rata de eșantionare 44100 eș/sec (Hz), 22050 (Hz implicit) sau 11025 (Hz); 2) numărul de canale de achiziție 1(mono)/2(stereo); 3) 8/16 biți/eșantion (biți necesari pentru memorarea unui eșantion, implicit 16 biți). Valorile 11.025 kHz și 22.05 kHz sunt frecvențe de eșantionare folosite în fișiere WAV. 44.1 kHz sampling rate și 16 bits/sample sunt comune pentru compact disc digital audio (CD-DA). Frecvența de eșantionare de 44.1 kHz este folosită și de formatul MP3 (standard Sony). 88.2 kHz și 176.4 kHz sunt frecvențe de eșantionare înalte folosite în DVD-Audio.

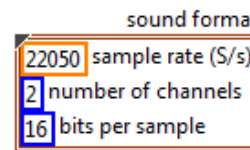


Fig. 4

Funcția *SI Config.vi* returnează: *task ID* - reprezintă un număr întreg de identificare a sarcinii primite (task) și structura de date *error out*. Aceasta din urmă

(Fig. 5) conține un cluster cu 3 câmpuri: *status* de tip boolean având valoarea True dacă a apărut o eroare și valoarea False altfel; *code* de tip numeric întreg conținând codul erorii apărute dacă *status* = true; *source* de tip șir de caractere specifică sursa erorii sau atenționării (șirul reprezintă numele nodului care a generat eroarea).

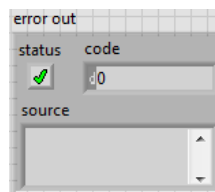


Fig. 5

Funcția *SI Read.vi* (Fig. 6) transferă/citește datele (tablou de waveforms) din buffer-ul RAM în memoria calculatorului. Intrarea *number of samples/ch* specifică numărul de eșantioane pe canal de citit din buffer, la o citire. Funcția returnează *data* de tip tablou de forme de undă. Fiecare waveform reprezintă semnalul achiziționat de pe un canal și conține câmpurile: *t0*=momentul de start, *dt*=1/rata eșantionare (de exemplu, $F_s = 22050$ Hz) și *Y*=tabloul de eșantioane în interval $[-1, +1]$ dacă tipul de dată este DBL sau SGL.

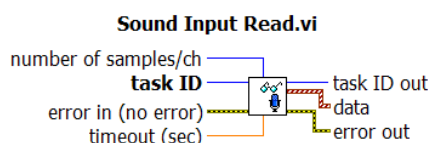


Fig. 6

Funcția *SI Stop.vi* (Fig. 7) oprește achiziția de la Placa Sunet. Funcția *SI Start.vi* (Fig. 7) repornește achiziția de la placa de sunet (pune eșantioane în bufferul de memorie RAM alocat) și se apelează numai dacă anterior s-a apelat *SI Stop.vi*. Funcția *SI Clear.vi* eliberează memoria de sarcina de achiziție, inclusiv bufferul alocat.

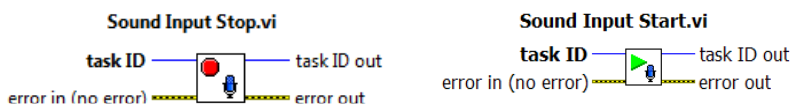


Fig. 7

2. Achiziție de sunet pe durata finită

Este apelată funcția *Acquire Sound* plasată în paleta *Sound* (Fig. 1). Prin această aplicație (Fig. 8) este achiziționat semnal de la microfon fiind folosită placa de sunet a calculatorului. Sunt stabiliți parametri de achiziție prin controale: dispozitivul (placa de sunet), rata de eșantionare (22050 eșantioane/secundă), numărul de canale (un canal sau două canale), rezoluția unui eșantion (16 biți) și durata în secunde a achiziției. Durata achiziției este stabilită/cunoscută de la apelul funcției *Acquire Sound*. Este șters automat taskul după achiziția semnalului.

Funcția returnează semnalul achiziționat (patru băți din palme) în format dinamic. Prin funcția *Convert from Dynamic Data* (paleta *Express/Signal manipulation*, Fig. 8) se realizează conversia de la tipul *Dynamic Data* la tabloul de forme de undă, câte una pentru fiecare canal de achiziție. O funcție utilă pentru a extrage informații utile din semnalul dinamic este *Get Dynamic Data Attributes* (Fig. 10).

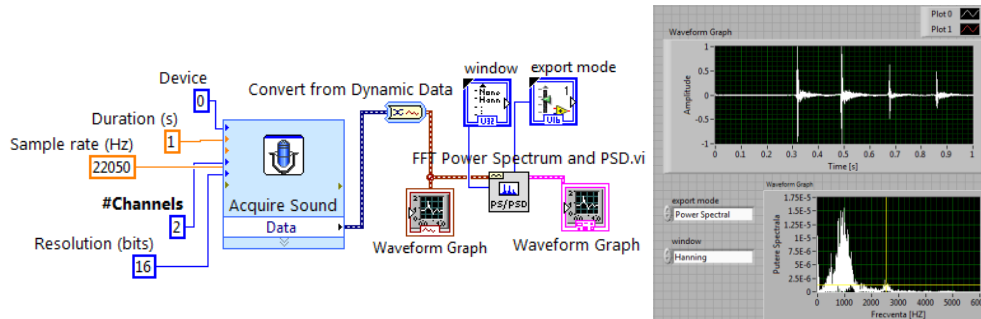


Fig. 8

Funcția *FFT Power Spectrum and PSD.vi* permite selecția unei ferestre de ponderare (s-a ales Hanning) și alegerea funcției spectrale PS sau PSD prin intrarea *export mode*.



Fig. 9

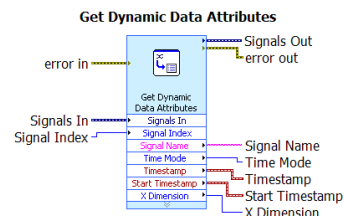


Fig. 10

3. Achiziție continuă de sunet și calcul putere spectrală

3.1. Sunt apelate trei funcții prin care este gestionată achiziția de sunet.

Funcția *Sound Input Configure.vi* (Fig. 11) realizează configurarea unei sarcini de achiziție sunet. *Sound Format* este o structură cu trei câmpuri. Câmpul *sample rate* (S/s) stabilește numărul de eșantioane (S) achiziționate pe secundă; acestea se depun în bufferul intermediar de unde sunt citite de funcția *SI Read.vi*. Se alege achiziție continuă selectând *Continuous Samples*. Controlul *Number of Samples/ch* stabilește mărimea bufferului intermediar de memorie unde se depun temporar eșantioanele provenite de la convertorul analogic-digital. Implicit placa de sunet internă corespunde pentru intrarea *device=0*. Dacă se adaugă o placă de sunet suplimentară, de exemplu, conectată pe USB, se va selecta valoarea 0 sau 1 în funcție de placa care se dorește a fi utilizată în cadrul aplicației.

Funcția *Sound Input Read.vi* realizează citirea repetată din bufferul de memorie, în cadrul ciclului *While*, a unui număr de eșantioane (stabilit prin *Number of Samples/ch*). Funcția returnează un tablou de două forme de undă (1D array of waveform), câte o formă de undă pentru fiecare canal de achiziție.

Funcția *Sound Input Clear.vi* dealocă memoria folosită pentru sarcina de achiziție configurată prin *SI Configure.vi*.

3.2. La o ciclare sunt achiziționate și afișate 5000 eșantioane. Spațierea între eșantioane este $1/\text{Sample rate}$ (secunde), iar durata formei de undă este $5000 \cdot 1/\text{Sample rate}$ (secunde). Semnalul de la fiecare canal este trasat în indicatorul grafic Waveform Graph (Raw Data) cu culoarea proprie (albastru, roșu).

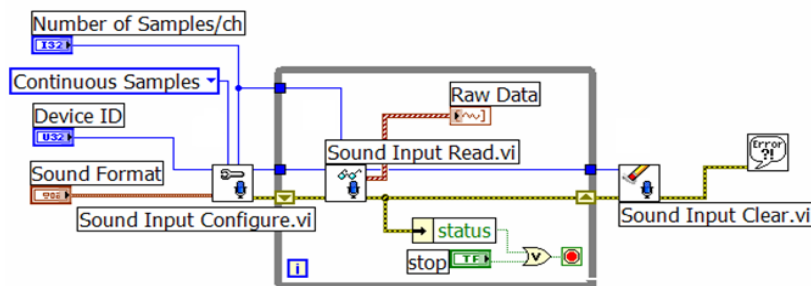
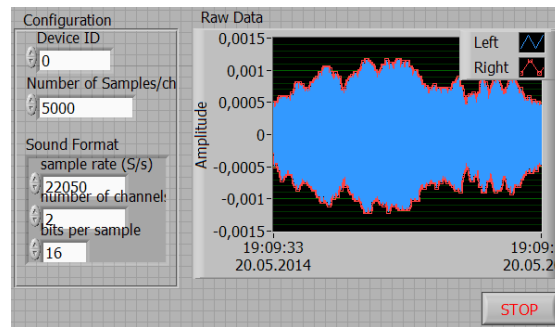


Fig. 11

3.3. Ciclul se oprește în două situații observabile în diagrama din Figura 11: a) apare eroare la execuția unei funcții (semnalată prin câmpul *status* al structurii setat pe True) sau b) se apasă controlul STOP.

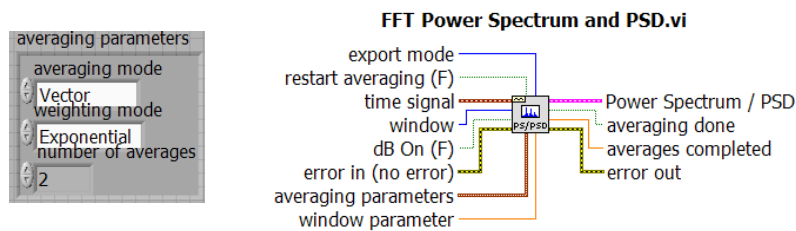


Fig. 12

3.4. Se adaugă calculul puterii spectrale (PS) a semnalului prin funcția FFT Power Spectrum and PSD.vi (Fig. 12). Asociat funcției selectăm fereastra Hanning pentru pregătirea semnalului înainte de aplicarea transformatei Fourier (FFT.vi) și controlul *Averaging parameters*.

Se vor măsura pe indicatorul grafic asociat diagramei din Figura 13, folosind un cursor (Fig. 15), frecvențele unor vârfuri ale puterii spectrale obținute la vibrația diapazonului (440 Hz), lovirea ușoară a unui pahar de sticlă, bătutul din palme, ciupirea unor coarde ale instrumentelor muzicale și lovirea unor lamele ale xilofonului (Fig. 15).

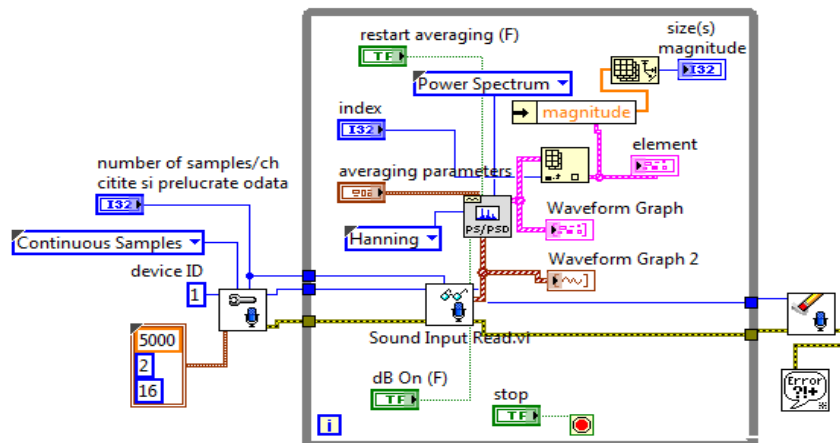


Fig. 13

Pentru reținerea vârfurilor puterii spectrale observabile în Figura 14 (în vederea măsurării unor frecvențe cu cursorul) se va selecta Peak hold pentru Averaging mode în cadrul controlului Averaging parameters al funcției FFT Power Spectrum and PSD.vi.

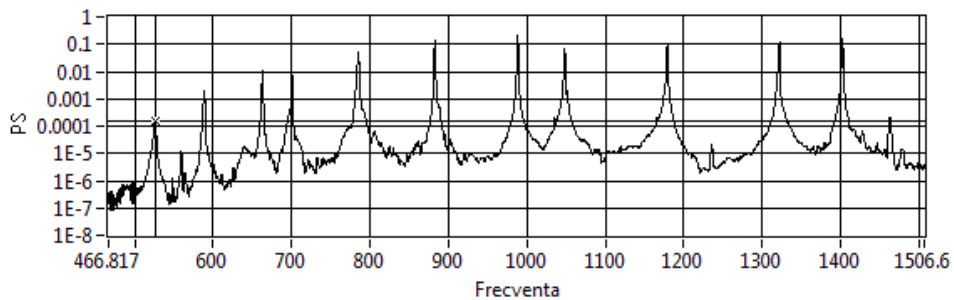


Fig. 14

Frecvențe rezultate din măsurare, asociate vârfurilor puterii spectrale la lovirea lamelor xilofonului, sunt prezentate în continuare.

C5	D	E	F	G	A	B	C6	D	E	F	G
527	589	663	701	785	883	988	1049	1179	1322	1402	1569

În cazul în care $F_s = 2000 \text{ eș/s}$, iar $N_r. \text{ eș/ch} = 4000$ rezultă realizarea unui ciclu la 2 secunde deoarece SI Read.vi așteaptă 2 secunde pentru a primi 4000 eșantioane (deoarece sunt preluate numai 2000 eșantioane pe secundă de la convertorul analogic digital al plăcii de achiziție). Cele 4000 eșantioane vor intra în PowerSpectrum. Spectrul este actualizat o dată la 2 secunde (deci rar), $df=0.5 \text{ Hz}$, iar lățimea spectrului este 0-1000 Hz.



Fig. 15

Dacă $F_s = 4000 \text{ eș/s}$, iar $N_r. \text{ eș/ch} = 2000 \Rightarrow$ în 0.5 secunde vin cele 2000 eșantioane la SI Read.vi și apoi sunt trimise la PowerSpectrum. Deci vor fi 2 cicluri pe secundă, $df=2 \text{ Hz}$ și spectrul este actualizat de două ori pe secundă; lățimea spectrului este 0-2000 Hz

Pentru orice F_s și $N_r. \text{ eș/ch}$, frecvența tonului (diapazon) este corect determinată.

Rezoluția în frecvență este $df=F_s/N$, unde F_s este frecvența de eșantionare iar N este numărul de eșantioane analizate deodată.

Frecvența maximă din spectrul rezultat este $f_{\max} = N/2 * df = F_s/2$.

În gama Do major nota Do(C) $\approx 262 \text{ Hz}$, iar nota La(A) = 440 Hz.

4. Funcții de bază pentru generarea sunetului

Setul funcțiilor de bază utilizate pentru generarea sunetului prin placa de sunet și trimiterea semnalului la difuzor este prezentat în Figura 16.

Funcția *SO Configure.vi* (Fig. 17) configurează placa de sunet (convertorul digital/analogic) pentru generare de semnal, impune numărul de eșantioane/canal de alocat în bufferul intermediar și stabilește modul

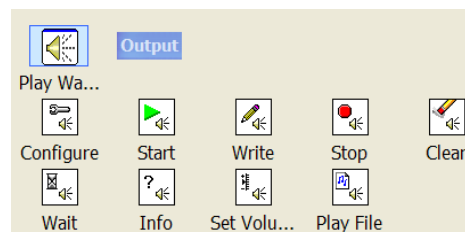


Fig. 16

de generare (număr finit de eşantioane sau generare în mod continuu). Intrarea *sound format* stabileşte a) rata de trimitere a eşantioanelor (44 kHz, 22 kHz sau 11 kHz), b) numărul de canale (1 = mono, 2 = stereo) şi c) numărul de biţi alocaţi unui eşantion (16 sau 8 biţi/eşantion).

Funcţia *SO Write.vi* (Fig. 17) scrie informaţia furnizată prin intrarea *data* (tablou de waveforms, câte un waveform/canal) la dispozitivul de ieşire (în bufferul de memorie alocat). Momentul t_0 se neglijează, dt se neglijează, iar tabloul *Y* este trimis la *SO Write*; astfel, cele două variante de cod din Figura 18 generează acelaşi efect deoarece t_0 şi dt sunt ignorate. Tabloul *Y* poate fi SGL, DBL cu valori [-1 ...1], U8 [0...255], I16 etc.

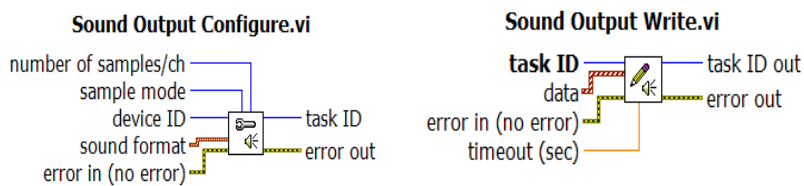


Fig. 17

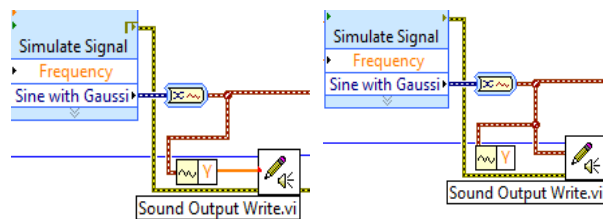


Fig. 18

Funcţia *SO Stop.vi* opreşte placa de sunet să ia eşantioane din bufferul intermediar. Funcţia *SO Start.vi* reporneşte generarea de sunet după oprirea acestuia cu *SO Stop.vi*; se foloseşte numai după *SO Stop.vi*. *SO Wait* impune aşteptare până când întregul sunet este trimis la dispozitivul de ieşire.

5. Generare sunet (ton) în mod continuu

5.1. Sunt apelate cinci funcţii prin care este coordonată generarea de sunet prin placa de sunet a calculatorului.

Funcţia *SO Configure.vi* stabileşte prin controlul *Sound Format* rata de trimitere a eşantioanelor (44100 eşantioane/secundă) la placa de sunet, numărul de eşantioane trimise pe fiecare canal într-o tranşă (valoare care stabileşte şi mărimea bufferului intermediar de memorie) şi modul continuu de generare a sunetului (Continuous Samples). Este returnat un număr întreg (task ID) pentru identificarea

sarcinii de generare de sunet, număr care este trimis și la următoarele funcții care gestionează sarcina de generare.

Funcția *SO Write.vi* apelată repetitiv trimite efectiv tranșa de 5000 de eșantioane (în exemplul curent), date de tip tablou de forme de undă, la convertorul digital-analogic al plăcii de sunet.

Funcția *SO Set Volume* apelată repetitiv permite modificarea volumului (amplitudinea) sunetului generat.

Funcția *SO Clear.vi* este apelată după oprirea ciclului While realizând ștergerea sarcinii de generare a sunetului.

5.2. Forma de undă primită de *SO Write.vi* este generată de funcția *Sine Waveform.vi*. Aceasta se va apela repetitiv astfel încât cele 44100 eșantioane/secundă (Sample rate) să fie asigurate. Se corelează astfel controlul *sampling info* cu *Sound Format*, asigurând frecvența dorită a formei de undă sinusoidale și implicit frecvența tonului generat de placa de sunet. Structura *sampling info* a funcției *Sine Waveform* conține inițial valorile (0, 0), iar prin *Bundle by name* se modifică la ($F_s=44100$, $\#s=5000$). *Reset signal* se pune pe False pentru ca secvențele succesive de semnal generate de *Sine Waveform.vi* să nu fie cu întreruperi.

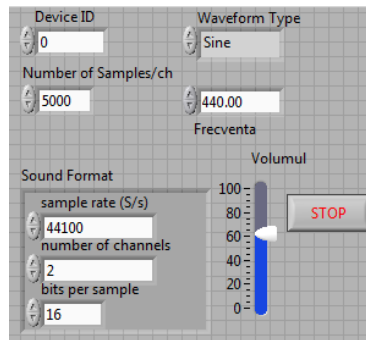


Fig. 19

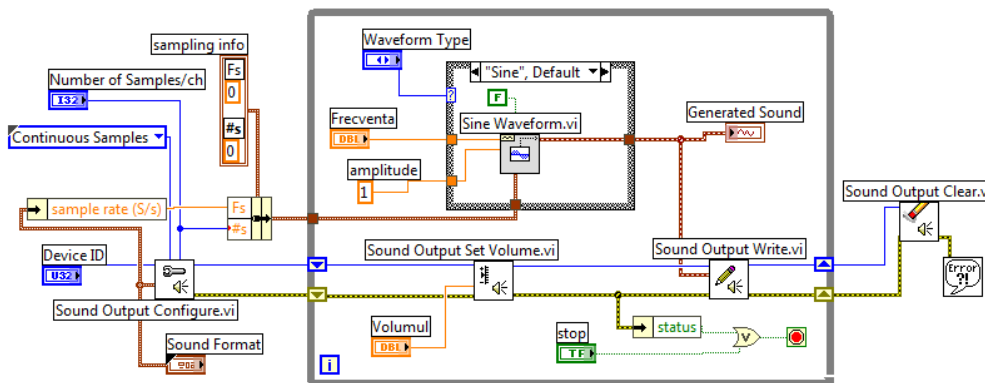


Fig. 20

Semnalul sinusoidal prezintă 440 perioade dacă ar conține 44100 eșantioane; fiind numai 5000 eșantioane va fi alcătuit din mai puține perioade de sinus în mod proporțional:

$$\begin{aligned} 44100 \text{ eș} \dots 440 \text{ cicluri (Hz)} \\ 5000 \text{ eș} \dots x \text{ cicluri} \quad \Rightarrow \quad x = 49.8866 \text{ cicluri} \end{aligned}$$

și va dura proporțional mai puțin de o secundă:

$$44100 \text{ eș} \dots 1 \text{ sec.}$$

$$5000 \text{ eş ... } y \text{ sec.} \quad \Rightarrow \quad y = 0.1134 \text{ secunde.}$$

Ciclul While asigură prin generare repetitivă continuu semnal pentru Sound Output Write.vi. Astfel, SO Write.vi la o execuție generează sunet de 49.88 cicluri timp de 0.113 secunde (Fig. 21 și Fig. 22) prin convertorul digital-analogic spre difuzor.

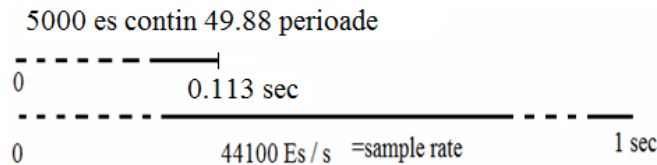


Fig. 21

5.3. În timpul rulării aplicației modificați frecvența semnalului sinusoidal (Fig. 19). Mășurați frecvența sunetului generat prin placa de sunet cu aplicația Advanced Spectrum Analyzer PRO de pe mobil sub Android (sau alte aplicații similare). În această aplicație se poate seta Logarithmic scale (sau scara liniară) pentru axa absciselor (frecvența), se poate stabili tipul ferestrei de ponderare (Hanning, Hamming etc.), numărul de eșantioane care participă la FFT (512 ,..., 16384), frecvența de eșantionare a semnalului de la microfon (44100 sau 48000) și alte setări.

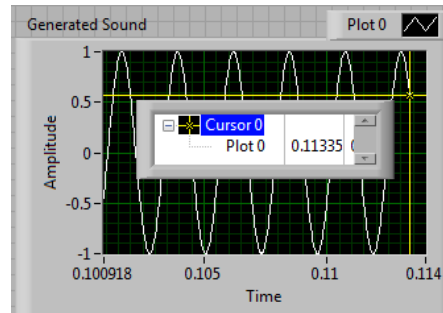


Fig. 22

5.4. Instrucțiunea Case selectează tipul semnalului de ieșire la frecvența de 440 Hz și amplitudinea unitară. Se vor putea selecta și alte forme de undă prin instrucțiunea Case. În graficul Generated Sound din Panoul Frontal se observă semnalul de trimis la SO Write.vi, durata și frecvența ce caracterizează semnalul sinusoidal.

6. Generare sunet pe două canale - tablou de două forme de undă

Sunt generate cu funcția *Simulate Signal.vi* două forme de undă: un semnal dreptunghiular (Square) plus zgomot pentru canalul indice zero și un semnal sinusoidal (Sine) plus zgomot pentru canalul indice unu (Fig. 23).

Fiecare waveform conține 3000 eșantioane scrise la Sample rate: 44100 Hz rezultând durata waveform = 0.068sec, ($\frac{1}{44100} \cdot 3000$). Funcția Sound Output

Write.vi primește tabloul de două forme de undă generat cu *Build Array* pentru cele două canale. Afișarea în PF a semnalelor (Fig. 24) este realizată cu zoom pe durata [0,...,0.01] secunde pentru a distinge semnalele. Frecvența semnalului dreptunghiular (1000 Hz) este de două ori mai mare decât frecvența semnalului

sinusoidal (500 Hz). Observăm în Figura 24, 10 perioade ale semnalului dreptunghiular în 0.01 secunde, rezultând 1000 perioade pe secundă. Se pot modifica și observa frecvențele și amplitudinile semnalelor cu aplicația Advanced Spectrum Analyzer PRO sub Android sau altele similare. Prin apropierea telefonului mobil de un difuzor sau de celălalt difuzor al calculatorului (stereo) observăm variația amplitudinii semnalului generat de fiecare difuzor în funcție de distanța de sursă.

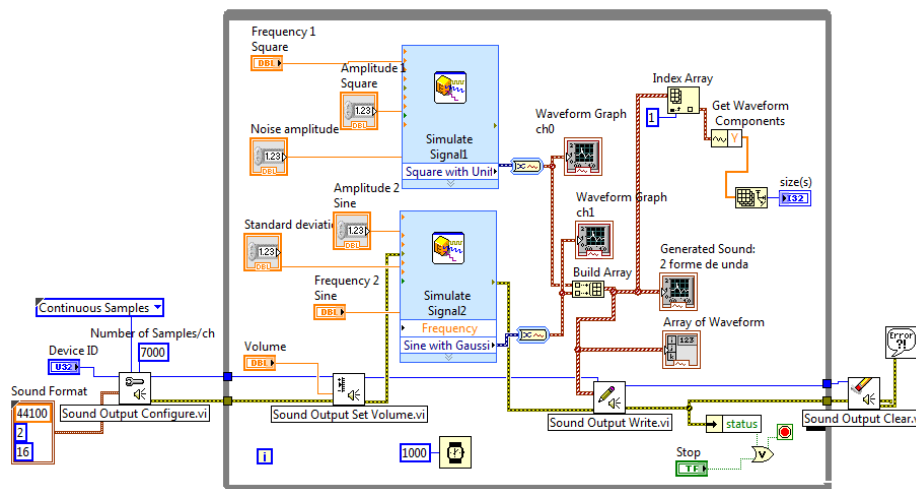


Fig. 23

Dacă se reduce Sampling Rate de la 44100 la 22050 sunetul generat va dura mai mult și se va auzi un ton mai jos deoarece același semnal (și număr de eșantioane) este trimis la placa de sunet cu o rată mai mică. Frecvența generată se schimbă deoarece nu este corelare între SO Config.vi/Sound Format și generarea semnalelor (acestea sunt setate pe 44100 eș/sec și number of samples #s=4410; rezultă 10 cicluri pe secundă).

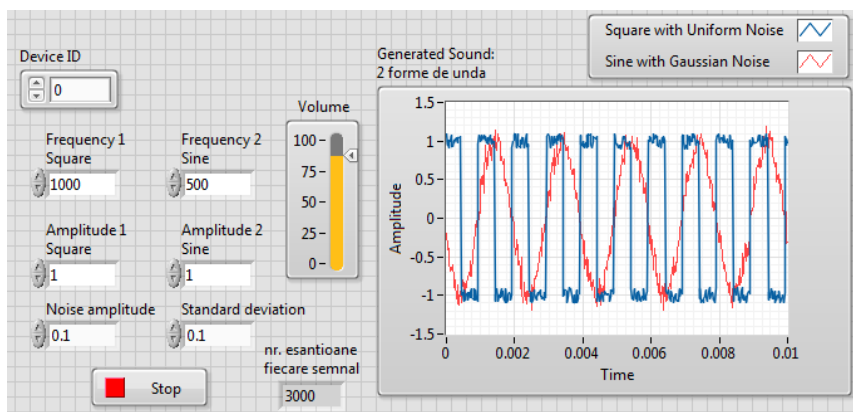


Fig. 24

În fereastra *Generated Sound 2 forme de unda* se afișează aceleași semnale fiindcă semnalele generate de funcțiile *Simulate signal.vi* sunt aceleași. Semnalul dreptunghiular se aude în difuzorul de pe primul canal, iar semnalul sinusoidal la difuzorul conectat canalului al doilea. Volumul la difuzoare se reglează prin funcția *SO Set Volume.vi* (în limitele 0...100) și prin amplitudinea funcțiilor periodice în intervalul 0 și 1 (dacă amplitudinea semnalului sinusoidal crește peste 1 volumul nu crește).

7. Simularea sunetului asociat tastelor telefonului

Aplicația (preluată din Help și modificată) generează câte un sunet la apăsarea unei taste din matricea de 4x3 butoane de tip logic (Fig. 25). Se rămâne în bucla While până la apăsarea butonului STOP (Fig. 26).

La fiecare iterație, dacă se intră pe cazul True, registrul de transfer este inițializat cu structura de valori logice 4x3 False. La apăsarea unei taste structura *keys* va conține un câmp True, iar restul False; rezultă o diferență între controlul din PF și constanta structură (cluster) de 12 valori False. Se execută prin urmare cazul True al structurii *Case*. Funcția *Search ID Array.vi* identifică numărul de ordine al tastei apăsate (T) în tabloul boolean (după conversia de la structură la tablou de valori logice).

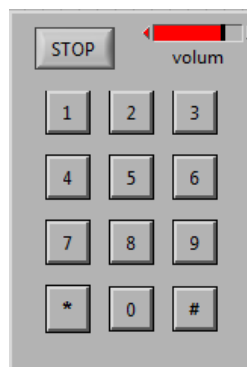


Fig. 25

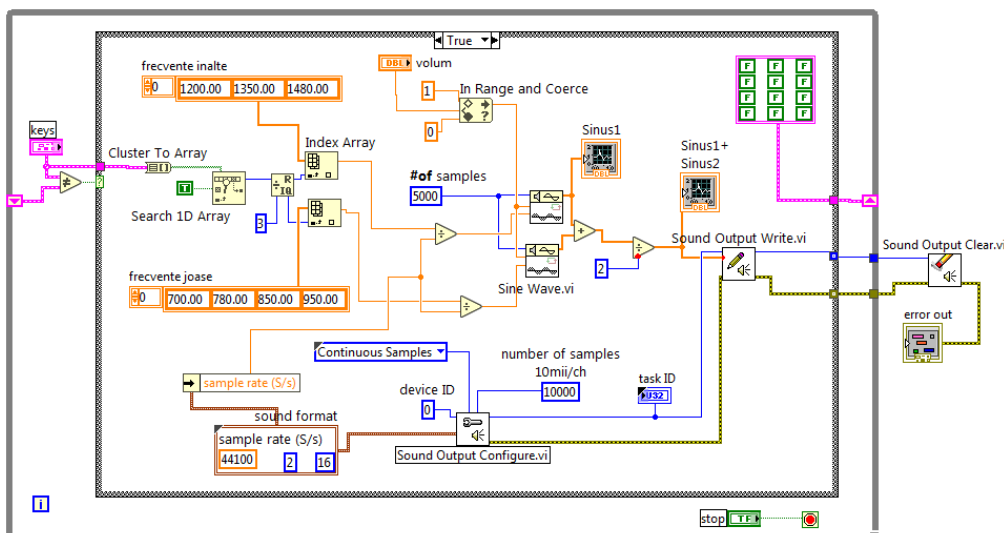


Fig. 26

Impărțirea cu rest (aplicată numărului de ordine) determină linia și coloana tastei apăsate. Prin funcția *Index Array.vi* se extrage o valoare din constanta tablou *frecvențe înalte* și altă valoare din constanta tablou *frecvențe joase*. Cu aceste

valori se pregătesc intrările *frequency* ale semnalelor sinusoidale generate de funcțiile *Sine Wave.vi*. Semnalele adunate vor genera sunetul asociat fiecărei taste compus din două tonuri.

Sound Output Write.vi generează sunetul dat de suma celor două tonuri, sunet specific tastei. Slide-ul *volume* modifică amplitudinea ambelor sinusoidale. Funcția *In range and Coerce.vi* limitează volumul între 0 și 1.

Operatorul *diferit* (care alimentează selectorul instrucțiunii Case) este setat să compare (Fig. 27) cele două structuri ca ansamblu (rezultă o singură valoare T sau F) și nu pe componente. La prima iterație este selectat cazul False fiindcă cele două structuri sunt egale. Se poate folosi *Use Default if Unwired* pentru ambele tuneluri (task ID și Error out) în cazul False (Fig. 28). Cazul False este de asemenea traversat de firul structurii (cluster) cu 12 taste.

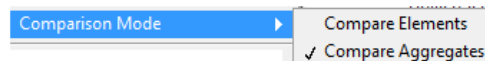


Fig. 27

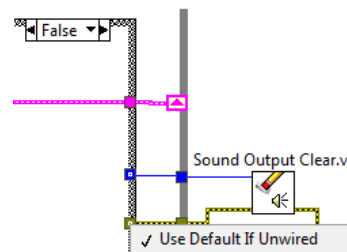


Fig. 28

Se poate modifica aplicația cu scoaterea funcției *SO Configure.vi* din ciclul *While*, astfel va fi o singură configurare a plăcii de sunet și un singur *Task ID*.

XV. INTERFAȚA LabVIEW - ARDUINO

LIFA (LabVIEW Interface for Arduino) și LINX (LabVIEW INterface for X, by LabVIEW MakerHub) sunt produse soft (firmware) care asigură controlul 'low-level' a unor componente hardware. Acestea asigură interfața și controlul din LabVIEW a platformelor Arduino (plăci cu microcontroler construite pe un singur PCB - printed circuit board, având la bază un procesor din familia Atmel) și shield-uri (module atașate plăcilor pentru extinderea caracteristicilor). Interfața LIFA nu se mai dezvoltă, iar LINX permite interfațare în sens mai larg cu Arduino, chipKIT, NI myRIO. Platformele Arduino se conectează la calculator (laptop, desktop) și sunt programate prin interfața serială USB (Universal Serial Bus).

1. Instalare LIFA și Arduino IDE

Se lansează Tools/VI Package Manager (Fig. 1)

Se instalează *LabVIEW Interface for Arduino* (LIFA) toolkit din Tools/VI Package Manager (Fig. 2) prin download de pe www.ni.com

Se observă/instalează toolkit Arduino (Fig. 3).

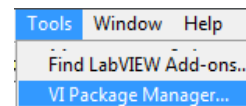


Fig. 1

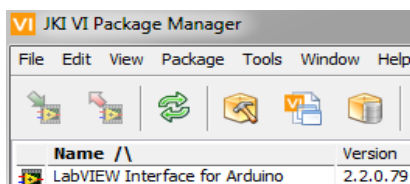


Fig. 2

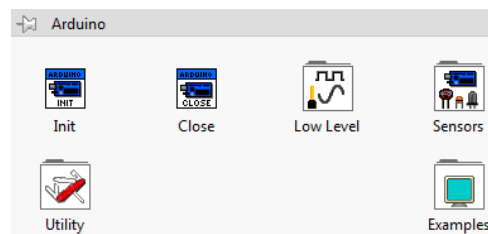


Fig. 3

Se instalează Arduino IDE (Integrated Development Environment) prin download de pe www.arduino.cc.

Lansarea în execuție se realizează folosind pictograma din Figura 4.

Se conectează Arduino Mega 2560 prin USB la laptop.

Din mediul Arduino se *încarcă* *LIFA_Base*, C:\Program Files\National Instruments\LabVIEW Instruments\...\vi.lib\LabVIEW Interface for Arduino\Firmware\LIFA_Base (Fig. 5). (pentru unele versiuni în fișierul Labviewinterface.cpp se pune: unsigned char checksum=0).



Fig. 4



Fig. 5

Alegem placa conectată: Tools\Board\Arduino\Genuino Mega or Mega 2560 și portul disponibil, de exemplu: COM5 (Fig. 6). COM1, COM2 sunt deja alocate pentru hard serial.

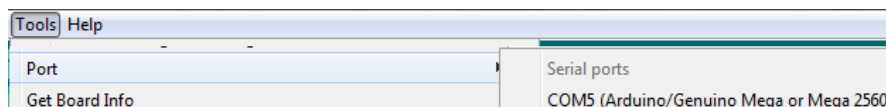


Fig. 6

Se acționează (click mouse) butonul *Upload* pentru încărcare *firmware* în Arduino Mega (Uno). Se observă ledurile RX și TX de pe placă pâlpâind (blinking). Arduino IDE raportează *Done Uploading* după încărcare în Arduino cu succes. Se poate acum folosi Arduino Mega 2560 cu toolkitul LabVIEW Interface for Arduino. Dacă este conectată altă placă (Uno) decât cea selectată apare eroare (Fig. 7). *sketch* este denumirea programelor dezvoltate în Arduino IDE.

An error occurred while uploading the sketch

Fig. 7

2. Comandă LED de pe placa Arduino Uno/Mega

2.1. Dioda LED folosită este lipită pe cablajul platformei Arduino Uno/Mega și este conectată la pinul digital D13 prin intermediul unei rezistențe de 220 ohmi. Aprinderea LED-ului se realizează prin aplicarea unui nivel logic de 5 V la pinul D13. Se construiește Diagrama și Panoul Frontal din Figura 8, folosind paleta Arduino (LabVIEW). Sunt apelate repetitiv funcțiile Set Digital Pin Mode.vi și Digital Write Pin.vi, prima pentru setarea pinului D13 în mod Output și a doua pentru scrierea valorii 0 sau 1 la pinul selectat. Observăm conversia de la valoarea logică furnizată de Control Boolean la valoarea întregă acceptată de Digital Write Pin.vi. Se rulează aplicația LabVIEW și se aprinde sau stinge dioda LED pe placă prin Control Boolean de pe PF.

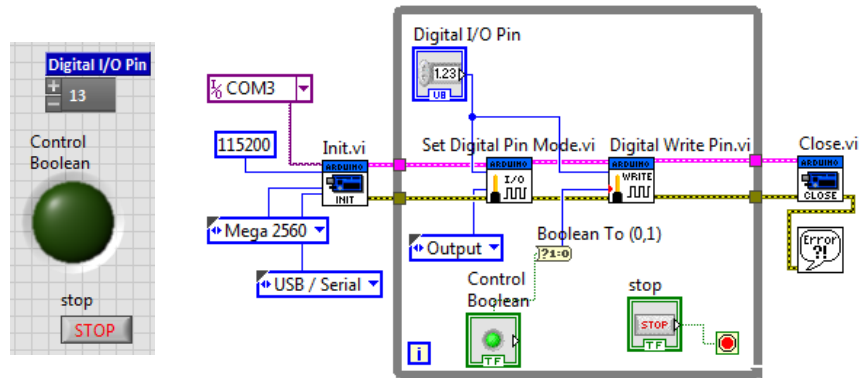


Fig. 8

Funcția *Init.vi* (Fig. 9) inițializează legătura cu placa Arduino aflată sub interfața *LabVIEW interface for Arduino*.

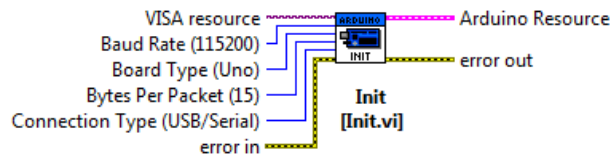


Fig. 9

Funcția *Set Digital Pin Mode.vi* (Fig. 10) setează pinul specificat din plaja D0→D13 (a plăcii Arduino Uno) pentru *input* sau *output*.

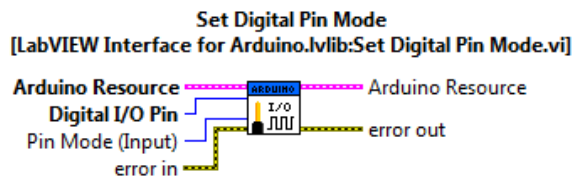


Fig. 10

Funcția *Digital Write Pin.vi* (Fig. 11) scrie valoarea specificată prin intrarea *Value*, la pinul indicat din plaja D0→D13 a plăcii Arduino Uno. În prealabil pinul trebuie setat pe output cu funcția *Set Digital Pin Mode.vi*.

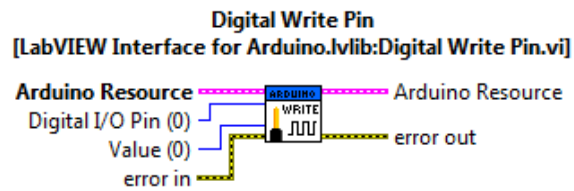


Fig. 11

2.2. Comandați intensitatea luminoasă a LED-ului prin apelul funcției PWM Write Pin.vi precedat de apelul funcției Set Digital Pine Mode.vi.

2.3. Modificați aplicația considerând evenimente schimbarea valorii controalelor logice *Control Boolean* și *stop* folosind Event Structure.

3. Comandă buzzer piezoelectric

3.1. Aplicația generează un ton, de durată o secundă, la frecvența impusă prin control în Panoul Frontal, în mod ciclic. Este folosit KEPO KPR-G3010-6250 Piezo Transducer 1.3 kHz, 35 mm (Fig. 12) conectat la pinul GND digital cu fir negru și la pin digital 40 (sau alt pin/conector) cu fir roșu.



Fig. 12

Funcția Tone.vi, în exemplul din Figura 13, generează un semnal dreptunghiular (un ton la frecvența dorită plus armonice) cu factor de umplere 50% și de frecvența comandată. Oprirea ciclului While se realizează prin butonul de Stop sau la apariția unei erori prin câmpul *status* (al structurii *error out*), caz în care valoarea din câmp devine True.

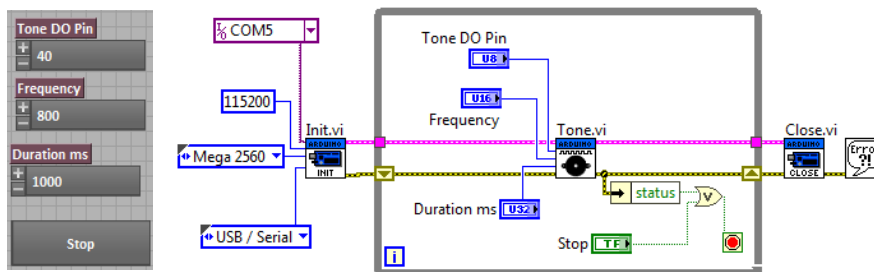


Fig. 13

3.2. Adăugați cod pentru a genera gama Do major (Fig. 14) parcursă în sens crescător și descrescător. De asemenea tabelar (Fig. 15) sunt date frecvențele notelor din gama (octava) C4 în scala muzicală egal temperată.

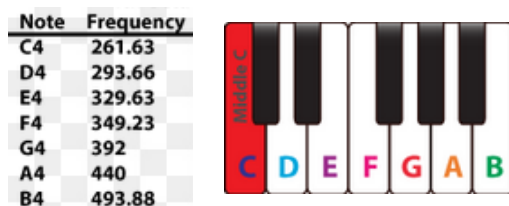


Fig. 14

Numărul	Nota (solfegiu)	Frecvența (in Hertz)
1	Do	$440/(1.0595)^9 \approx 261.6$
2	Do #	$440/(1.0595)^8 \approx 277.2$
3	Re	$440/(1.0595)^7 \approx 293.7$
4	Re #	$440/(1.0595)^6 \approx 311.1$
5	Mi	$440/(1.0595)^5 \approx 329.6$
6	Fa	$440/(1.0595)^4 \approx 349.2$
7	Fa #	$440/(1.0595)^3 \approx 370.0$
8	Sol	$440/(1.0595)^2 \approx 392.0$
9	Sol #	$440/(1.0595) \approx 415.3$
10	La	440
11	La #	$440 \times 1.0595 \approx 466.2$
12	Si	$440 \times (1.0595)^2 \approx 493.9$
1	Do	$440 \times (1.0595)^3 \approx 523.2$

Fig. 15

3.3. Selecție set tonuri cu Enum

Se completează aplicația precedentă cu un selector Enum (Fig. 16) având articolele *Vioara*, *O* frecvența și *Octava*. Asociat în diagramă se introduce un Case cu trei cazuri (Fig. 17).

Dacă selectați *Vioara* se aud repetitiv cele patru note asociate corzilor vioarei. La fiecare iterație se selectează (prin Index Array) o frecvență din tabloul de valori întregi. Când indicele frecvenței ajunge la valoarea 4 se setează indicele din nou la valoarea 0 (prin Select) și trece în registrul de transfer.



Fig. 16

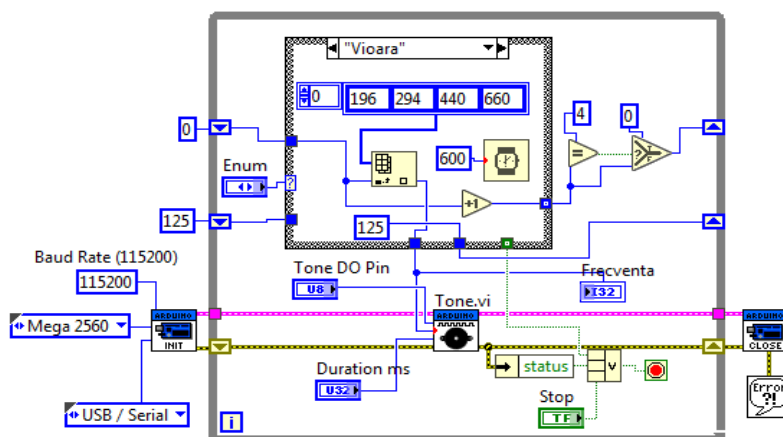


Fig. 17

Dacă este selectat articolul *O* frecvența: se aude un ton la 1000 Hz (plus armonice). Pentru selecția articolului *Octave*, se aud sunete care își dublează frecvența pornind de la 125 Hz până la 8000 Hz inclusiv (Fig. 18).

Oprirea ciclului se realizează cu butonul Stop, la apariția unei erori în funcțiile Tone.vi sau cea de inițializare dar și din cazul *Octave* când frecvența atinge 8000 Hz.

Măsurăți frecvențele generate (2 kHz, 3 kHz,...) cu aplicația Advanced Spectrum PRO de pe telefonul mobil (Android) setând reținerea vârfulurilor de frecvență prin Peak Hold și scară liniară a axei absciselor (frecvențele) în locul celei logaritmice.

3.4. Aplicația următoare (Fig. 19) generează un ton la frecvența impusă în PF de durată 0.2 secunde. Funcția Tone.vi este apelată o singură dată.

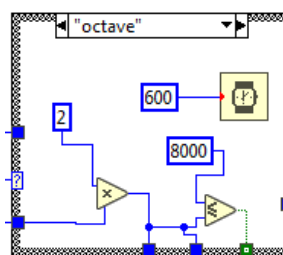


Fig. 18

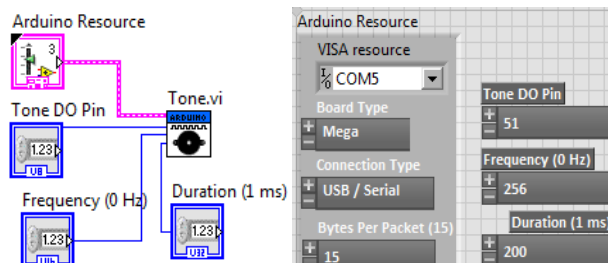


Fig. 19

4. Citire pin Analog In - senzori de umiditate și de lumină

4.1. Senzorul de lumină tip brick SEN-LUM-03 (Fig. 20) sesizează nivelul de iluminare al mediului. Valoarea iluminării variază liniar între 0 și 1023. Senzorul nu este calibrat, deci nu se citește o mărime corespunzătoare unei unități de măsură.

Pinul (conectorul) de semnal (OUT) al senzorului se conectează la un pin analogic al plăcii Arduino. Pinul de alimentare (VCC) se conectează la pinul 5V al plăcii Arduino. Pinul de masă (GND) se conectează la pinul GND al plăcii Arduino. Se poate măsura voltajul citit pe pin de la senzor la 23 °C și la 30 °C și scalat corespunzător.

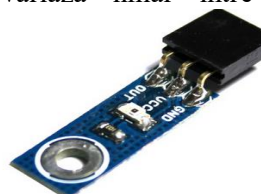


Fig. 20

4.2. Senzorul de umiditate - brick SEN-VRM-08 sesizează nivelul de umiditate al mediului. Într-o cameră obișnuită, valoarea citită pe portul analogic variază între 900 (mediu saturat cu vapori de apă) și 300 (foarte uscat). Senzorul nu este calibrat.

Senzorul prezintă 3 pini: VCC, GND și OUT. Pinul de semnal OUT se conectează la un pin analogic al plăcii Arduino.



Fig. 21

4.3 Pentru montaj se folosește un mini breadboard (mBB) pentru conectarea senzorilor. Cinci intrări (orificii) așezate pe o linie sunt conectate între ele electric. Sunt astfel 17 linii pe o parte și 17 linii pe cealaltă parte a canalului de răcire a mBB-ului și perpendiculare pe canal (Fig. 22).

O linie a mBB se conectează la sursa de cinci volți (5 V) a plăcii Arduino (zona Power). La această linie se conectează pinii VCC (pin poziție centrală) a celor doi senzori (Fig. 23).

O altă linie a mBB se conectează la un GND a plăcii Arduino (zona Power). De pe aceeași linie se conectează cei doi senzori cu pinii GND (pin poziție marginală).



Fig. 22

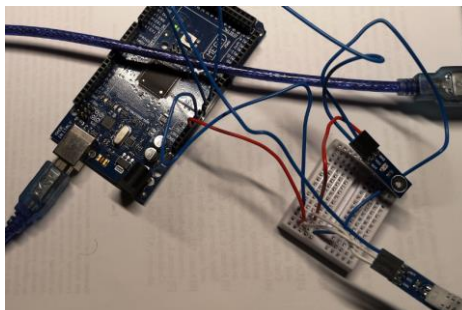


Fig. 23

Pinii de semnal OUT ai senzorilor se conectează la pinii A0 și A1 ai plăcii Arduino, zona ANALOG IN. În diagrama din Figura 24, se citesc în aceeași buclă pinii OUT a doi senzori, cel de umiditate și cel de lumină.

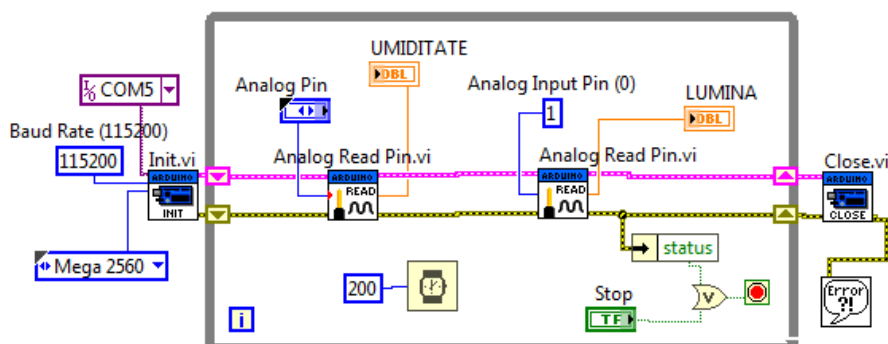


Fig. 24

4.4. Citirea simultană a mai multor senzori analogici, a unui potențiomtru și un senzor digital.

Se completează aplicația precedentă (Fig. 24) astfel încât să conțină achiziție de la patru senzori analogici: Umiditate - pin A0, Lumină pin - A1, Potențiomtru - pin A2, Temperatură - pin A3 și unul digital de tip Magnetic Hall.

Potențiomtrul axial sau divizorul de tensiune cu trei terminale (Fig. 25) se conectează astfel:

1. terminalul (picior) de mijloc conectat la un pin din plaja A0,...,A5 (Arduino Uno) din grupul de pini ANALOG IN (fir albastru);
2. pinul lateral al potențiomtrului este conectat la masă GND (fir negru);
3. pinul de la celălalt capăt (lateral) al potențiomtrului se conectează la pin 5V (Arduino). Rotind știftul potențiomtrului se modifică tensiunea citită de pe potențiomtru prin pinul Analog In.

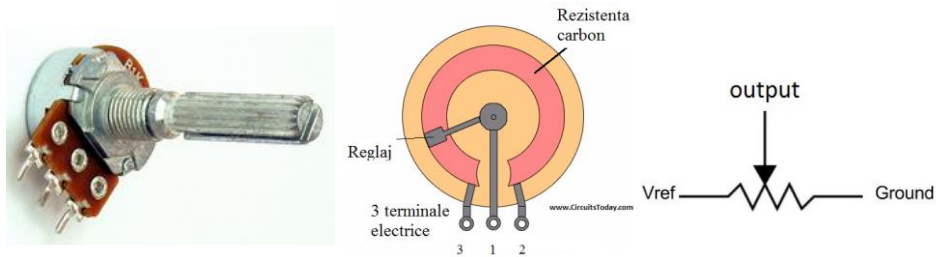


Fig. 25

5. Citirea unui senzor piezoelectric care sesizează vibrații mecanice - pin Analog In

Senzorul piezoelectric (disc negru, Fig. 26, cod produs: COMP-GEN-16) se poate fixa cu două șuruburi sau prin lipire pe suprafața vibrantă (verso disc: Loudity LD BZPN-2312). În paralel cu senzorul piezoelectric se află o rezistență de 1.MOhm (Fig. 26) care-l face nepotrivit pentru a funcționa ca buzzer (pentru buzzer se poate considera COMP-GEN-10, mini difuzor brick Robofun).

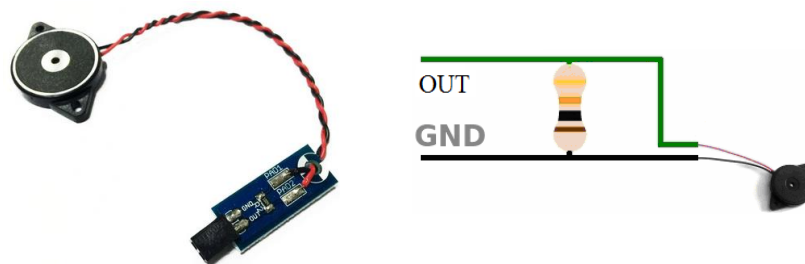


Fig. 26

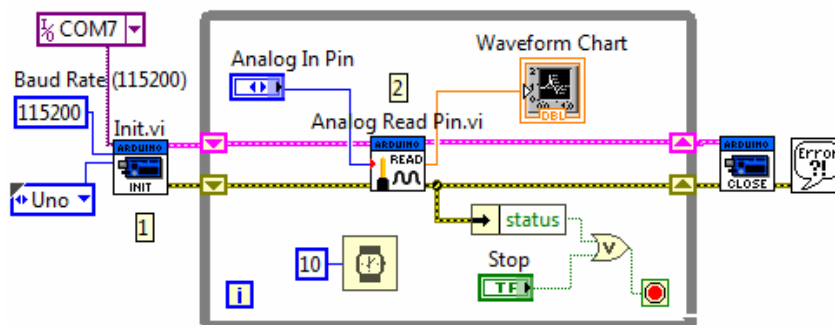


Fig. 27

5.1. Conectarea senzorului la platforma Arduino Uno sau Mega se realizează astfel: terminalul GND-senzor se conectează la GND Arduino Uno/Mega și terminalul OUT-senzor se conectează la un pin Analog IN (A0, A1,...) al plăcii Arduino.

Prin funcția Init.vi este inițializat dialogul cu placa Arduino la rata de transfer specificată, iar valoarea de tensiune este citită de la pinul analogic (Fig. 27).

Rulăm aplicația LabVIEW. Se lovește repetat discul negru al senzorului de vibrații (brick) cu unghia sau cu un obiect. Materialul piezoelectric din senzor vibrează, iar deformarea asociată generează tensiune electrică foarte slabă. Tensiunea este citită prin pinul Analog In. În indicatorul grafic Waveform Chart se observă vârfurile de tensiune colectate, câte un vârf la fiecare șoc. Se obțin 100 cicluri sau citiri de tensiune pe secundă prin plasarea funcției Wait.vi cu intrarea 10 milisecunde.

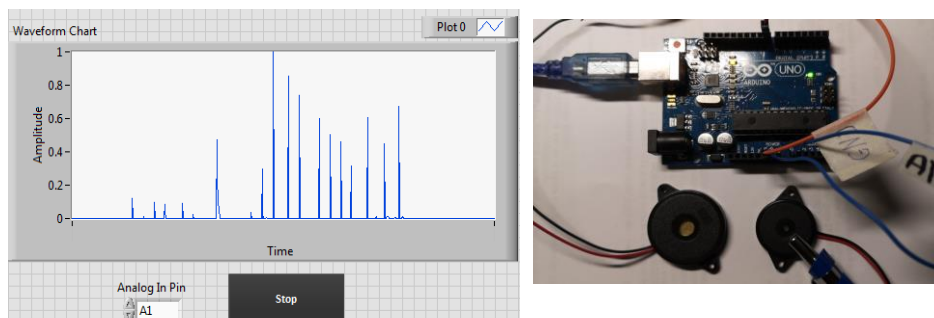


Fig. 28

5.2. Generați cu buzzer-ul sunete la frecvențe tot mai înalte, proporțional cu amplitudinea vârfului de tensiune obținut la lovirea senzorului piezo de vibrații (Fig. 28). La fiecare iterație vom avea o citire pe pin Analogic de la senzorul de vibrații și un apel de Tone.vi cu scriere pe pin digital. Frecvența furnizată funcției Tone.vi va fi dependentă de tăria impactului, aspect care se poate programa cu un Case (Fig. 29).

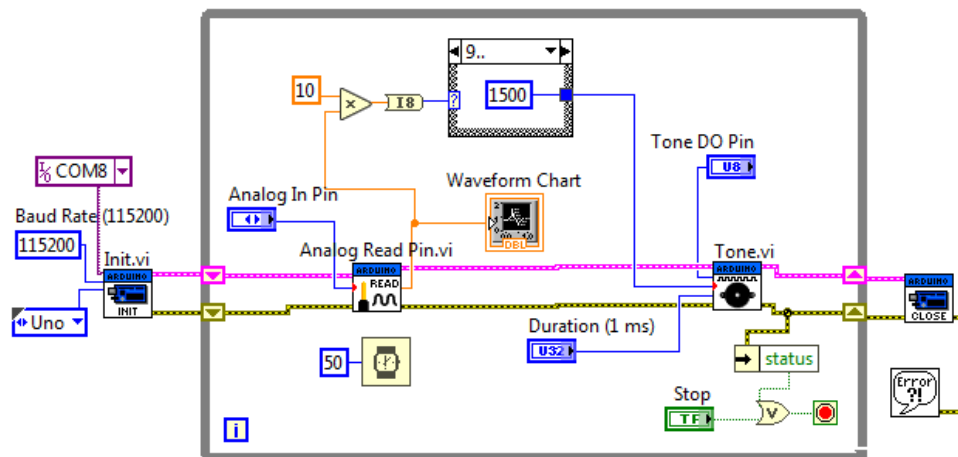


Fig. 29

6. Comandă sens și turație motor cc. cu IC motor driver tip L293D

Se va comanda un motor de curent continuu (de gabarit mic) prin Panoul Frontal LabVIEW din Figura 30, pe baza diagramei din Figura 31. LED-urile 1 și 2 sunt folosite pentru schimbarea sensului de rotație al motorului, iar controlul Slide orizontal pentru variația turației.

6.1. Pini digitali 8 și 9 ai plăcii Arduino sunt setați în mod output. Prin acești pini este comandat sensul de rotație al motorului, prin valorile numerice 0 sau 1, de la LED-urile control boolean 1 și 2. Se observă conversia de la valoare logică (T, F) la valoare numerică (1 sau 0). Pinul 45 al plăcii este digital PWM, setat în mod output pentru comanda turației motorului.

Sens 1 rotație motor se realizează prin combinația: LED1=On, LED2=Off

Sens 2 rotație motor se realizează prin combinația: LED1=Off, LED2=On

Pentru oprirea motorului ambele LED-uri sunt pe Off.

Reglajul turației motorului se impune prin pinul 45 (digital PWM), prin care se modifică parametrul *Duty cycle* al semnalului dreptunghiular între valorile 0 și 255. Aceasta corespunde cu variația factorului de umplere al semnalului dreptunghiular între 0% și 100% (Fig. 32).

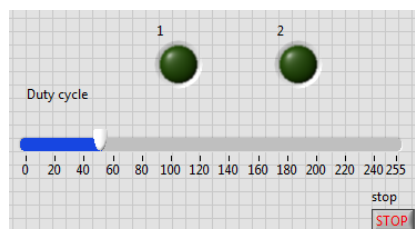


Fig. 30

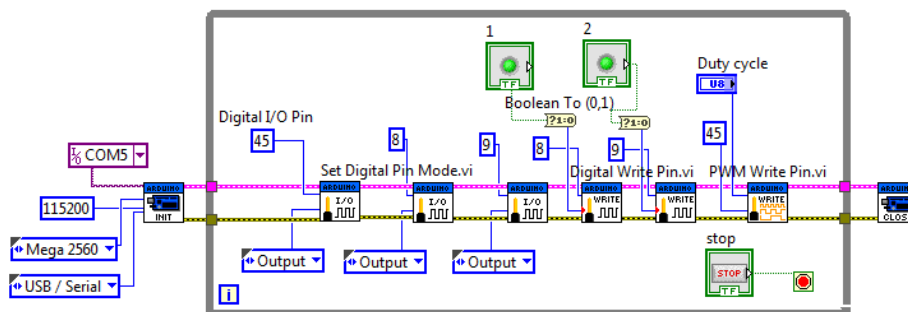


Fig. 31

6.2. Conectare Arduino MEGA și circuitul integrat L293D

Driverul L293D prezintă 16 pini (Fig. 33) și poate comanda simultan sensul de rotire și turația pentru două motorașe. Circuitul realizează amplificarea semnalului redus de control, la un curent mai mare pentru acționarea motorului.

Pinii 8 și 9 se conectează la intrările (input) IN1(2) respectiv IN2(7).

Pinul 45 se conectează la intrarea (Enable) ENA(1) (turație).

Pinul GND Arduino (Power) conectat la pinii 4 și 5 (GND1 și GND2 ale L293D).

Pinul 5V Arduino (Power) se conectează la VCC1 (16) (pentru alimentare L293D) și de asemenea la VCC2 (8) L293D pentru alimentare motor.

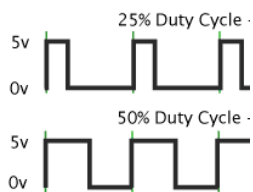


Fig. 32



Fig. 33

6.3. Conectare L293D (IC) și Motor

Pinii OUT1(3) și OUT2(6) sunt conectați la bornele motorului de curent continuu.

6.4. Comandați sensul și turația pentru două motorașe cc (DC), în mod independent, folosind ambele laturi ale circuitului L293D.

independent, folosind ambele laturi ale circuitului L293D.

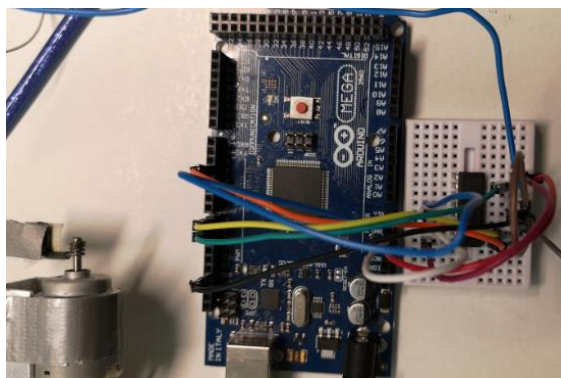


Fig. 34

6.5. Comanda turației unui ventilator cu alimentare de la o baterie 9V

Ventilatorul (cooler) are nevoie de 12 Volți la alimentare și nu se poate schimba sensul de rotație. Se va alimenta de la baterie 9 V. Dacă L293D se alimentează cu 5 V de la placa Arduino turația obținută la ventilator este mică. În loc de alimentare cu 5 V (de la pinul 5 V secțiunea Power Arduino) la pin VCC2 (controler motor) se va folosi alimentare de la baterie 9 V, astfel (Fig. 35):

borna - a bateriei se conectează la GND controler L293D pin 5 (sau 4) partea motor#1 sau pinul 12 (sau 13) partea cealaltă pentru motor#2.

borna + a bateriei se conectează la pinul VCC2 controler (L293D).

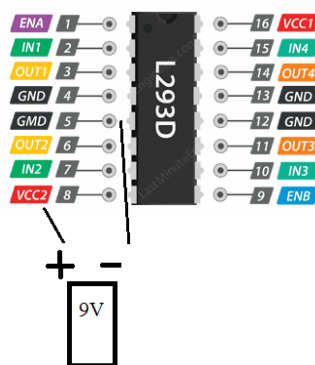


Fig. 35

7. Comandă LED - Arduino Uno - programare pe evenimente

Se transformă programul din Figura 8 pentru comanda iluminării LED-ului de pe placa Arduino Uno din varianta bazată pe ciclare continuă, în varianta de programare pe evenimente.

Evenimentul principal este schimbarea valorii controlului *Control LED Boolean* (Fig. 36). Oprirea aplicației se face la evenimentul de tip Value Change și anume schimbarea valorii butonului de Stop.



Fig. 36

Ambele evenimente sunt tratate în același caz al structurii Event (Fig. 37). Contorul ciclului incrementează numai la apariția unui eveniment.

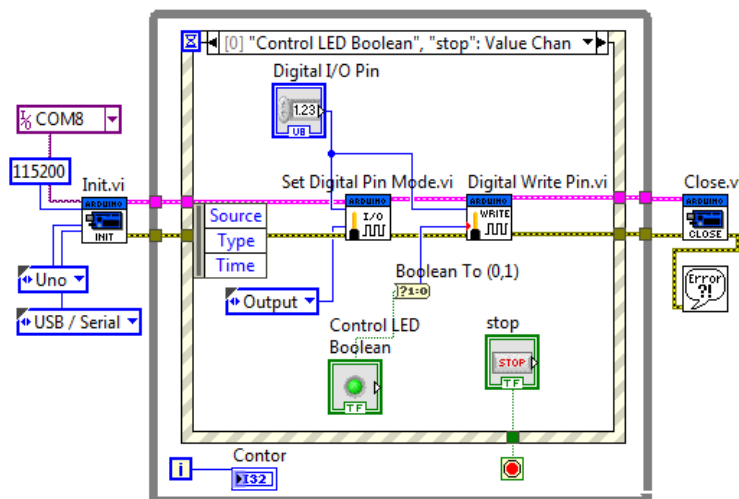


Fig. 37

8. LINX - interfață alternativă pentru LIFA

Pachetul LINX (firmware) pune la dispoziție instrumente virtuale (VIs) LabVIEW pentru programarea platformei Arduino, dar și pentru alte platforme cum sunt chipKIT, NI myRIO etc. Prezintă funcții *built in* 'sensor VIs' pentru citirea datelor de la senzori și funcții 'peripheral VIs' pentru utilizarea dispozitivelor periferice: digital I/O, analog I/O, SPI, I2C, UART, PWM.

8.1. Prin interfața VI Package Manager (paleta Tools) se descarcă și se gestionează instalarea modulului MakerHub Toolbox (Fig. 38):

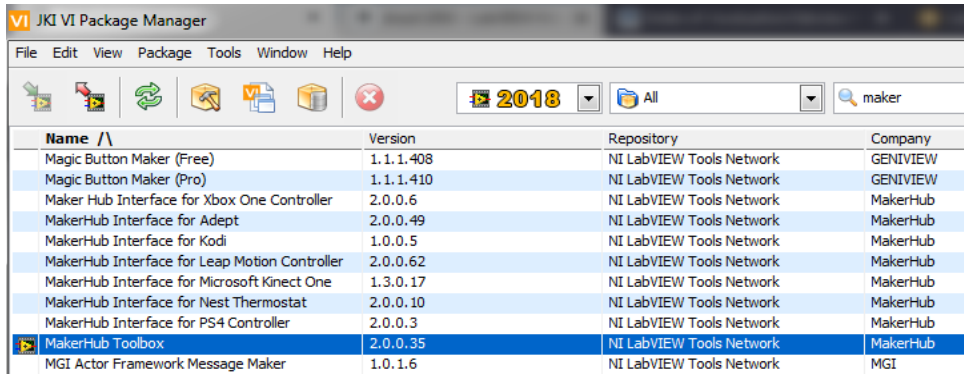


Fig. 38

8.2. Se instalează (Fig. 39) Digilent LINX

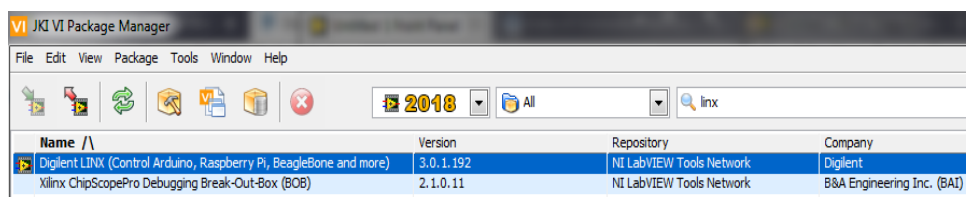


Fig. 39

Sarcina LINX firmware este de a face posibil ca placa cu microcontroler să primească comenzi din LabVIEW, să le interpreteze și să răspundă la aceste comenzi.

8.3. Din paleta MakerHub pot fi accesate subpaletetele de funcții prezentate în Figura 40, pentru a fi incluse în diagrama bloc a aplicației.

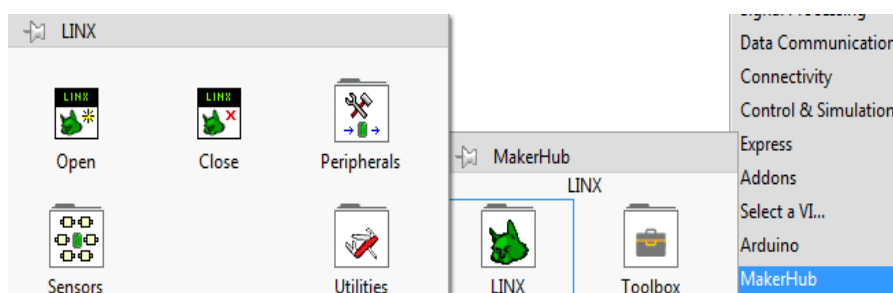


Fig. 40

9. Comanda LED prin pinul digital 13 - Arduino Uno, LINX

Aplicația pentru iluminarea și stingerea LED-ului conectat la pinul digital 13 este reluată în Figura 41, apelând la funcții din interfața LINX.

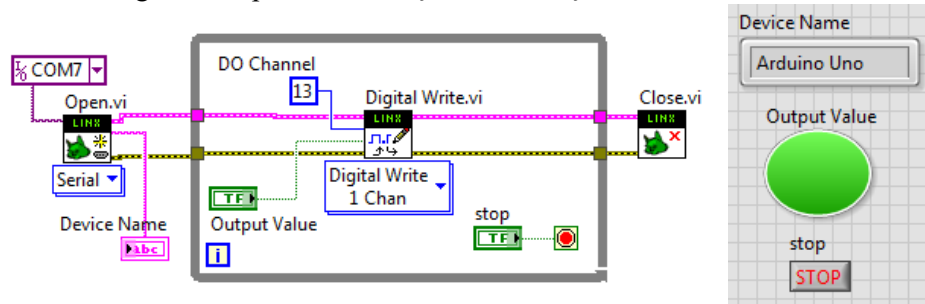


Fig. 41

10. Măsurarea accelerației cu accelerometrul digital triaxial ADXL345

10.1. Conectare accelerometru 3 axe ADXL345 la Arduino Uno, LINX

ADXL345 măsoară accelerația (statică) gravitațională și accelerația dinamică generată la variația de viteză (pe trei axe ortogonale x, y, z, indicate pe modul), cu posibilitate de selecție a domeniului de măsură +/-2g, +/-4g, +/-8g și +/-16g, unde g este accelerația gravitațională. Acest senzor este întâlnit în diverse dispozitive mobile (telefon mobil, jocuri, instrumente medicale și industriale etc.). Rezoluția semnalului de accelerație la ieșire este implicit pe 10 biți, dar se poate seta diferențiat pentru fiecare domeniu plecând de la 10 biți pentru +/-2g și ajungând la 13 biți pentru domeniul cel mai larg de măsură +/- 16g. Transferul datelor între senzor și microcontrolerul Arduino UNO se realizează prin interfața de comunicație serială sincronă I2C (sau prin interfața SPI). Interfața I2C se realizează hard prin două fire de semnal: SDA (Serial DATA - linia pentru transmisia serială a datelor) și SCL (Serial CLOCK - linia pentru sincronizarea transmisiei de date).

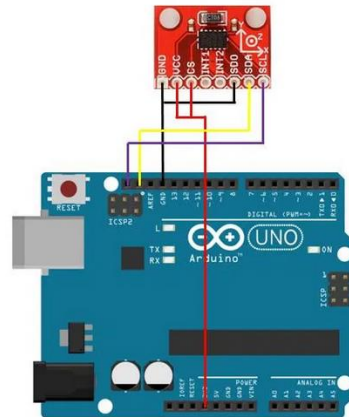


Fig. 42

Pentru placa Arduino Uno (sau 100% compatibile) se vor folosi pinii: A4 pentru SDA (data) și A5 pentru SCL (clock). Se pot folosi și pinii poziționați după AREF (spre butonul de Reset) în ordine SDA și SCL.

Pentru placa Arduino Mega: SDA este pinul 20 și SCL este pinul 21.

Se vor conecta pinii SDA ai plăcii și ai ADXL345 între ei, și pinii SCL ai plăcii și ai ADXL345 între ei. De asemenea, se va realiza legarea pinilor GND de pe accelerometru și de pe placă, și se va alimenta accelerometrul (pinul VCC) cu

5 V de la placă (pinul 5 V). Pini CS și VCC ai accelerometrului se conectează între ei. Cei opt pini sunt in ordine: GND, VCC – Supply Voltage, CS – Chip Select, INT1 – Interrupt 1 Output, INT2 – Interrupt 2 Output, SDO – Serial Data Output (SPI)/I2C Address Select, SDA – Serial Data Input (SPI)/I2C Serial Data și SCL – Serial Communications Clock.

10.2. Lansare LINX firmware Wizard

Se va lansa LINX firmware Wizard din Tools/ MakerHub/LINX (Fig. 43) în loc de load LIFA Base din ARDUINO IDE;

(ARDUINO IDE nu se lansează). Firmware este un pachet de programe conținute permanent într-un dispozitiv hard (exemplu, EPROM) cu scop de susținere a sarcinilor prestate de un aparat, cum este în acest caz placa Arduino, iar în general robot de bucătărie, ABS auto etc.

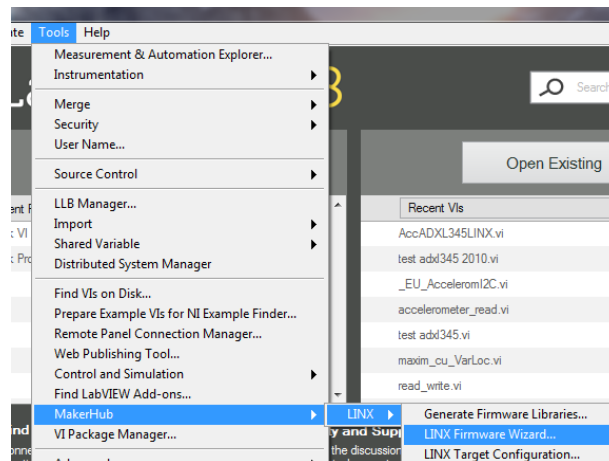


Fig. 43

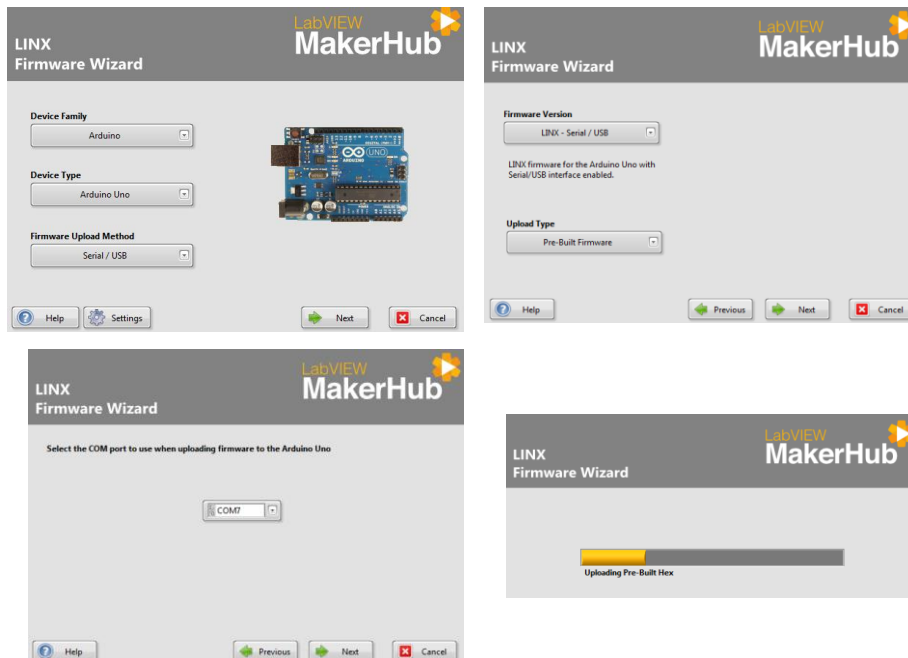


Fig. 44

Lansarea și instalarea pe placă a interfeței LINX este prezentată în Figura 44 prin imagini. Se conectează placa Arduino Uno la calculator prin USB, este selectată placa și portul (exemplu COM7) → Pre-Built Firmware → Uploading...

10.3. Aplicația LabVIEW pentru măsurarea accelerației cu ADXL345

Diagrama (Fig. 45) este o înlănțuire de funcții, iar funcția Read.vi de citire a accelerației pe cele trei axe este apelată repetitiv. Înainte de ciclu se inițializează conexiunea LINX cu placa și se activează accelerometrul (adresa 0x53), iar după închiderea ciclului se închide sarcina de lucru cu accelerometrul și interfața LINX.

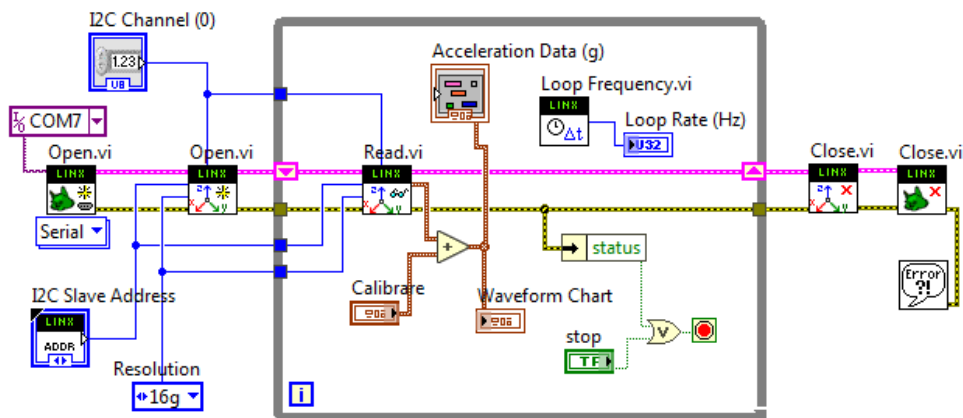


Fig. 45

Funcția *Read.vi* citește accelerația pe axele X, Y, Z de la ADXL345 în unități g (multipli de g). Se obține 1g pe axa verticală, în cazul prezent axa Y, având în vedere poziționarea senzorului pe mini breadboard. În Figura 46 observăm efectul deplasării periodice a accelerometrului pe rând după cele trei axe ortogonale. Se înmulțește cu 9.81 pentru a obține accelerația în m/s^2 dacă se dorește. Se pot introduce corecții prin structura Calibrare (conține trei controale sau câmpuri numerice) pentru a obține amplitudine 0 pe două axe și 1 pe axa verticală când nu sunt vibrații la nivelul plăcuței mBB pe care este poziționat ADXL345.

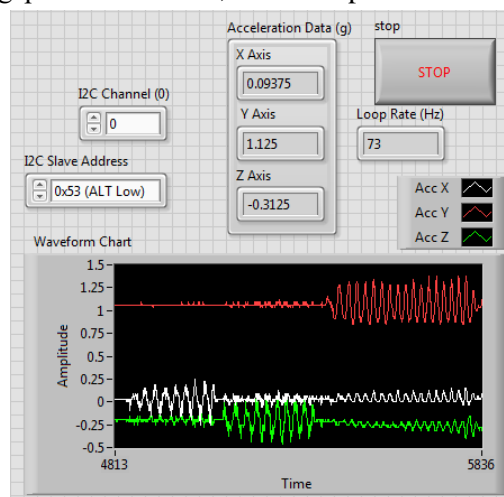


Fig. 46

Funcția *Read.vi* (Fig. 47) prezintă următoarele intrări:

I2C Channel (0) specifică canalul I2C la care este conectat senzorul ADXL345;
I2C Slave Address specifică adresa slave I2C a senzorului ADXL345;
Resolution specifică rezoluția curentă (+/-2g, +/-4g, +/-8g și +/-16g) a senzorului ADXL345. Această valoare folosește la convertirea în multipli ai accelerației gravitaționale (g) a valorii de ieșire din ADXL345;
Error In este linia de erori, fiind o structură cu trei câmpuri (status, code, source) prin care se descrie o eventuală eroare dacă apare.

Funcția *Read.vi* returnează prin *Acceleration Data (g)* un triplet (cluster) ce conține accelerația pe fiecare din cele trei axe X, Y și Z.

În corpul ciclului *While* este apelată repetitiv funcția *Loop Frequency.vi* pentru a calcula durata fiecărei ciclări, iar prin inversarea duratei rezultă frecvența. În diagrama funcției (Fig. 48) observăm operatorul *Select* comandat de *First Call?* și medierea *punct cu punct* a duratelor cu funcția *Mean PtByPt.vi*. Registrul de transfer memorează media de la o ciclare la următoarea iterație a ciclului exterior (cel în care se apelează funcția *Read.vi*). Ciclul *While* din diagrama funcției *Loop Frequency.vi* se (Fig. 48) repetă o singură dată.

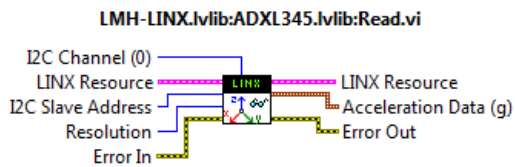


Fig. 47

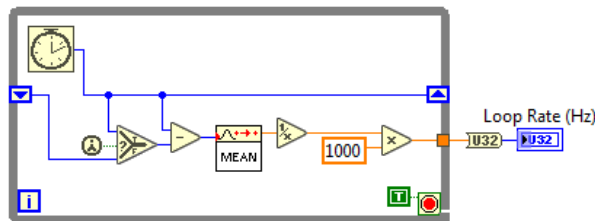


Fig. 48

11. Măsurarea accelerației și a vitezei unghiulare cu senzorul triaxial MPU6050

11.1. Se conectează Arduino Uno prin cablul USB la laptop

Se realizează interfața I2C de comunicare între MPU 6050 (accelerometru + giroscop) și Arduino UNO. Conectarea pinilor este următoarea:

Analog In A4 la SDA senzor,
 Analog In A5 la SCL senzor,
 5V (Power) la VCC senzor,
 GND (Power) la GND senzor,
 Digital pin 2 la INT senzor.

MPU6050	Arduino	Mega
VCC	5V	5V
GND	GND	GND
SCL	A5	21
SDA	A4	20
INT	2	2

11.2. Se încarcă aplicația LabVIEW

Din diagrama bloc se execută Refresh intrare Serial Port (Fig. 49) a funcției Open Serial.vi (Fig. 50). Este configurat și selectat portul COM7 pentru a realiza legătura cu dispozitivul Arduino condus prin firmware LINX.

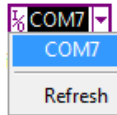


Fig. 49

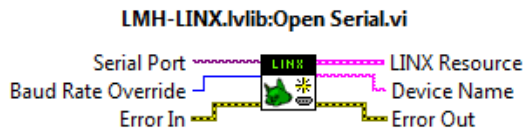


Fig. 50

Funcția *Open.vi* (Fig. 51) inițializează senzorul MPU 6050 (adresa hexazecimală a dispozitivului este 0x68), setează sursa clock și domeniul (full) pentru accelerometru și gyro.

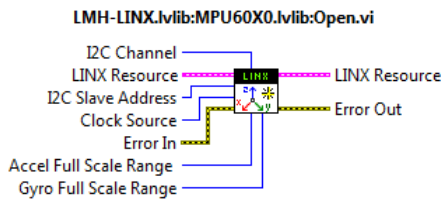


Fig. 51

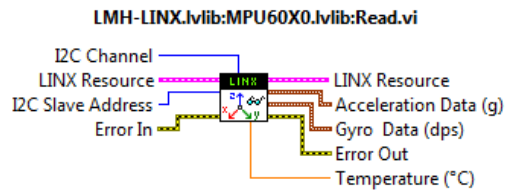


Fig. 52

Funcția *Read.vi* (Fig. 52) citește de la MPU6050 accelerația pe axele X, Y, Z în multipli de g, rotația în jurul axelor X, Y, Z în grade pe secundă și temperatura de calibrare (°C).

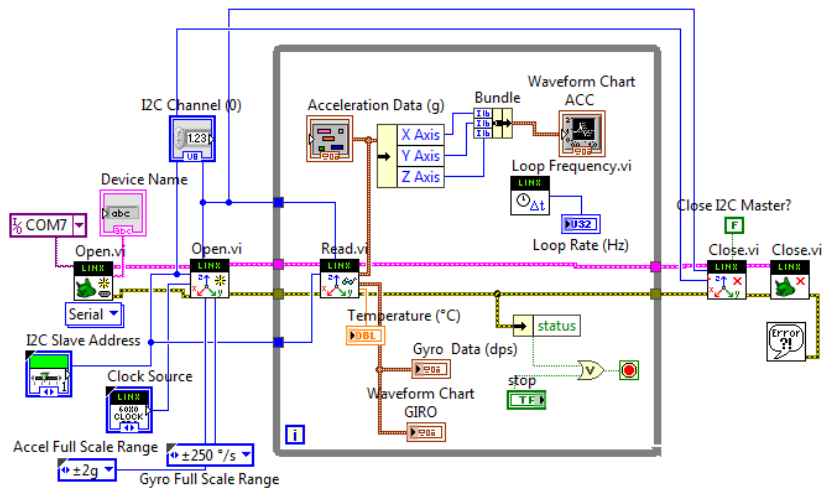


Fig. 53

Observăm în Panoul Frontal: I2C Slave Address 0x68, I2C Channel =0;

În Panoul Frontal din Figura 54 se observă efectul deplasării (vibrației) aplicate senzorului, succesiv după cele trei axe (Waveform Chart ACC) și a rotirii pe rând a senzorului în jurul celor trei axe ortogonale (Waveform Chart GIRO).

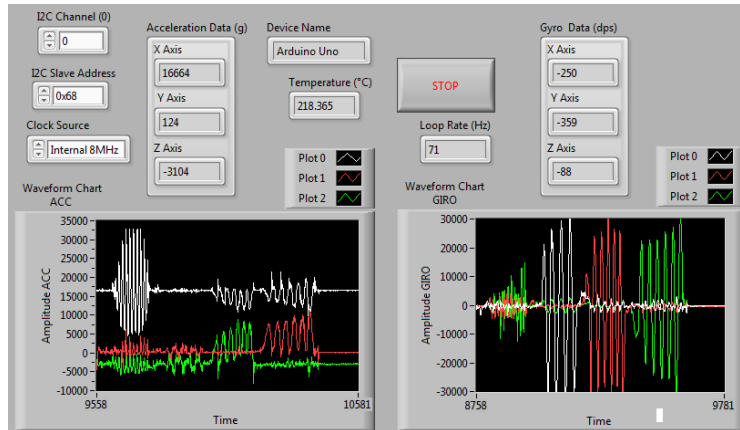


Fig. 54

12. Comanda orientării unui obiect paralelipedic

12.1. Generarea obiectelor 3D și sistemul de axe

În porțiunea de diagramă din Figura 55 (diagrama se continuă în dreapta) sunt generate două obiecte grafice de tip paralelipiped (alăturate) și este atașat un sistem ortogonal de axe.

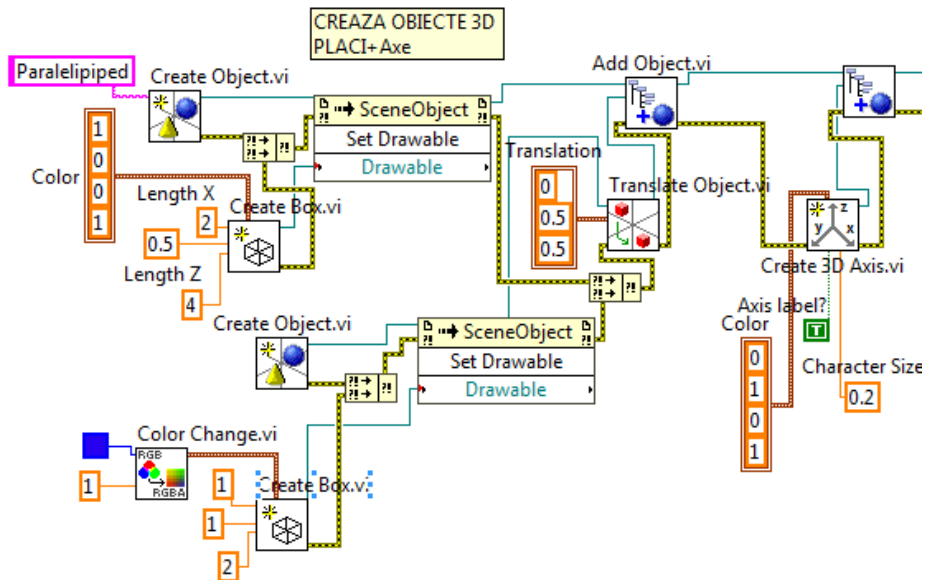


Fig. 55

Obiectele sunt vizualizate în fereastra de tip *3D Picture* din paleta Graph asociată Panoului Frontal (Fig. 56). Se apelează de două ori *Create Object.vi* pentru a se genera două obiecte grafice. Se particularizează obiectul grafic ca fiind obiect paralelipipedic prin apelul funcției *Create Box.vi*, prin care sunt impuse cele trei cote: (2, 0.5, 4) și respectiv (1, 1, 2) pentru al doilea paralelipiped. Primul obiect este implicit de culoare roșie, iar al doilea, prin apelul *Color Change.vi*, va fi albastru. Al doilea obiect este traslatat folosind *Translate Object.vi* astfel încât să nu se intersecteze volumele lor, apoi este adăugat la scenă cu *Add Object.vi*. Prin apelul *Create 3D Axis.vi* și *Add Object.vi* se atașează (obiectelor existente) un obiect de tip sistem de coordonate ortogonal. Prin activarea *Camera Controller/Spherical* (click dreapta pe suprafața ferestrei grafice) se oferă posibilitatea de a roti obiectele după dorința operatorului.

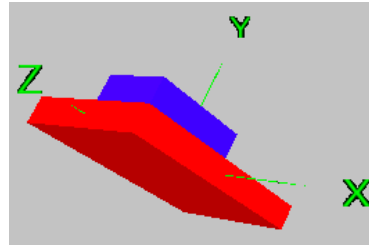


Fig. 56

12.2. Realizarea de rotații și translații comandate

Prin funcțiile apelate în zona de diagramă din Figura 57 (continuarea diagramei din Figura 55) se impun valorile vitezei unghiulare citite de la senzorul MPU6050 obiectelor grafice din *3D Picture*. Astfel, se poate observa rotirea celor două obiecte simulate în jurul fiecărei axe după cum operatorul uman rotește în realitate suportul (mBB) pe care este montat senzorul MPU6050. Semnalul preluat de la senzor trebuie filtrat înainte de a fi impus în simulare prin cele trei funcții *Rotate Object.vi*. Fiecare funcție *Rotate Object.vi* realizează rotirea în jurul axei selectată prin valoarea 1 în constanta cluster *Axis*.

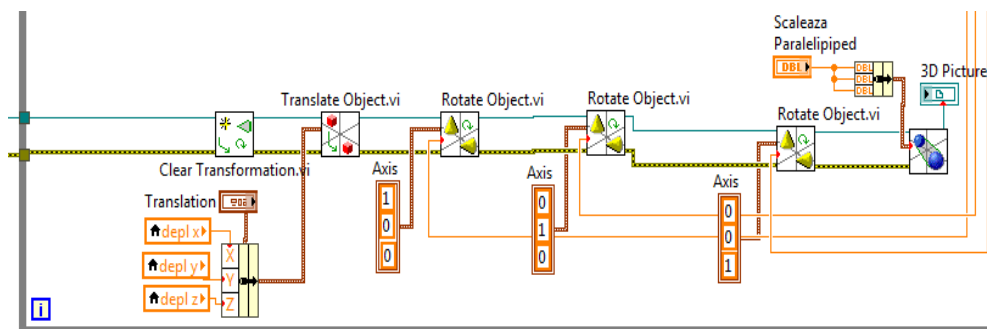


Fig. 57

Valorile unghiurilor de rotație provin dintr-o zonă a diagramei care nu este vizibilă în diagrama din Figura 57. Acea zonă este similară cu diagrama din Figura 53, unde sunt preluate valorile de la componenta GIRO a senzorului MPU6050 urmând ca semnalele să fie filtrate (trece jos) pentru a elimina variația la frecvențe înalte și zgomotul din semnalele senzorilor. Prin controlul *Scalează Paralelipiped*

este mărită, respectiv micșorată imaginea din 3D Picture. Se poate adăuga și translație corpului în urma unei duble integrări a semnalului de accelerație pe fiecare axă.

12.3. Filtrarea semnalului achiziționat - filtrul exponențial

Filtrul exponențial propus este simplu fiind de tip trece jos (low pass). Este folosit pentru filtrarea semnalului contaminat cu zgomot achiziționat de la un senzor. Filtrul permite trecerea frecvențelor joase și atenuează frecvențele înalte din componența semnalului. Filtrul prezintă un parametru de reglaj *alfa*. La calculul eșantionului curent $y(k)$ (din semnalul filtrat) participă eșantionul precedent y_prec (semnal filtrat) și eșantionul curent din semnalul nefiltrat (x) conform relației:

$$y(k) = \text{alfa} * y(k-1) + (1 - \text{alfa}) * x(k)$$

Valori mici pentru coeficientul de netezire *alfa* în intervalul [0.1 – 0.2] favorizează ponderarea lui $x(k)$ cel curent, observându-se schimbări rapide ale lui $y(k)$ în semnalul filtrat, și defavorizează valoarea veche.

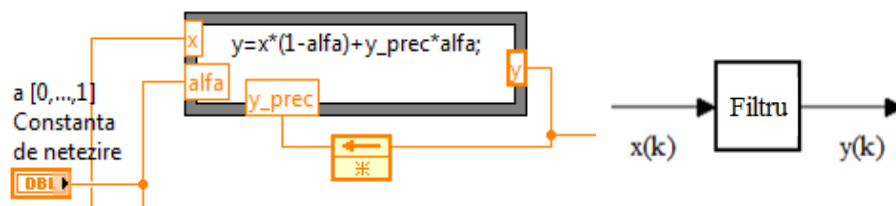


Fig. 58

Valori mari pentru *alfa* (0.8-0.99) favorizează valoarea veche în defavoarea schimbărilor rapide proprii lui $x(k)$ (eșantionul curent nefiltrat).

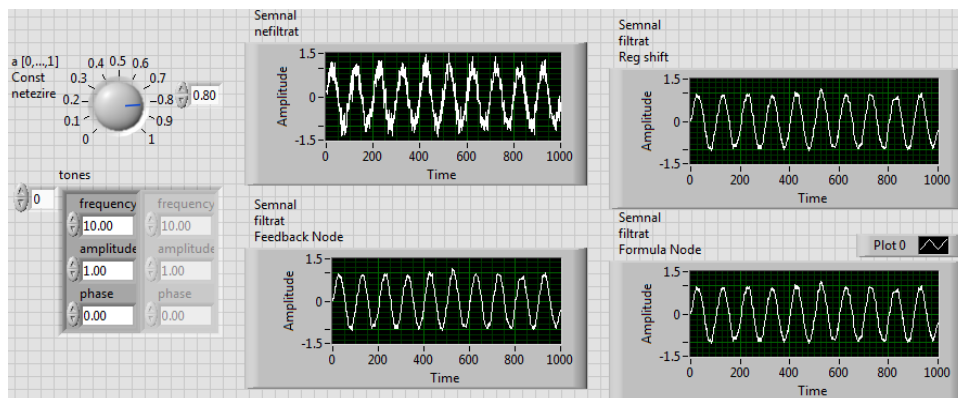


Fig. 59

Efectul aplicării filtrului, din Figura 58, se poate observa pentru semnalul simulat sinusoidal la care se adăugă zgomot și pentru semnalul achiziționat de la senzorul MPU6050, componenta de rotație.

12.4. Să se genereze cod grafic în diagrame pentru Panourile Frontale din Figurile 59 și 60.

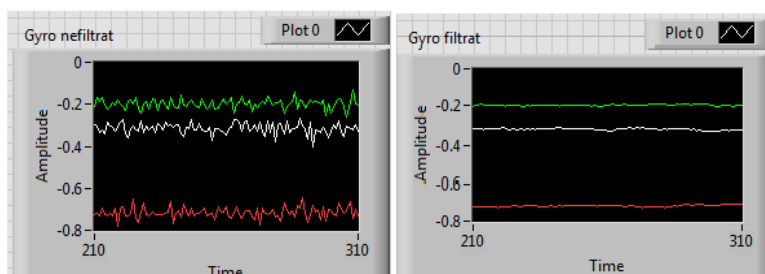


Fig. 60

13. Comandă servomotor - poziționarea unghiulară a axului

În următorul experiment este folosit un servomotor tip Tower Pro micro Servo 9g (SG90 servo) foarte popular (hobby servo), de mici dimensiuni $23 \times 12.2 \times 29$ mm, paralelipipedic, masa motorului fiind 9 grame, iar prețul servomotorului foarte convenabil (Fig. 61). Se urmărește comanda poziției unghiulare a axului motorului cu servomecanism între limitele de operare ale servomotorului, asemănător unui volan de automobil, cu posibilități de schimbare a sensului de rotire. În compoziția servomotorului intră un motorăș de curent continuu, un controler și un senzor de poziție/potențiomtru atașat la axul de ieșire pentru a simți poziția, pentru feedback. La alimentarea motorului cu 4.8V se obține o viteză de rotire de 60° în 0.12 secunde.



Fig. 61

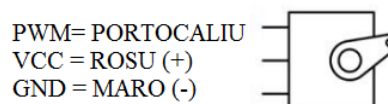


Fig. 62

Conectarea servomotorului la placa Arduino se face prin trei fire (Fig. 62), astfel: firul portocaliu se conectează la un pin digital PWM Arduino, fiind firul de control, firul roșu se conectează la pinul sursă 5V a plăcii, iar firul maro la un pin de masă (GND) al plăcii.

Semnalul PWM dreptunghiular de comandă are o frecvență de 50 Hz rezultând o perioadă (T) de 20 milisecunde ($T=1/f$). Lățimea pulsului de tensiune de $600\mu\text{S}$ (0.6 mS) poziționează axul la un unghi de

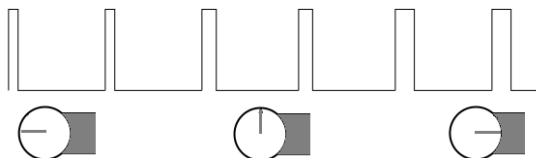


Fig. 63

început de cursă, la zero grade. Cu creșterea lățimii pulsului semnalului dreptunghiular (Fig. 63), axul se rotește ajungând la mijlocul cursei unghiulare (90°) la o lățime a pulsului de 1500 microsecunde (1.5 mS). La lățimea pulsului de 2.4 mS axul este rotit la un unghi maxim, aceasta fiind cealaltă limită a cursei axului motorului, la aproximativ 180°. Se poate privi și poziționarea la mijlocul cursei ca fiind unghiul de zero (1.5 mS), iar de o parte și de alta a poziției de zero poziționarea se face la lățimile de 0.6 mS, respectiv 2.4 mS. Astfel, variind durata în timp a pulsului de tensiune în limitele 0.6 mS,..., 2.4 mS poziționăm axul în plaja 0,...,180°. Adesea cursa unghiulară a axului motorului este mai mică de 180°, influențată fiind de roțile dințate din plastic și potențiometrul existente în montaj.

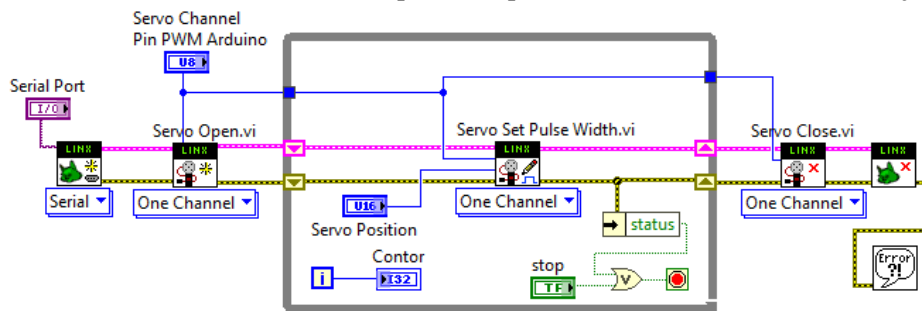


Fig. 64

Curentul absorbit pentru alimentarea la 5 V este dependent de sarcină. Acesta variază de la 10 mA la mersul în gol, la 100 mA până la 250 mA în funcție de sarcină (maxim 360 mA la ax blocat). Folosirea unui breadboard între placa Arduino și servomotor asigură o mai bună izolare electrică a plăcii față de motor.

Se poate folosi o sursă externă pentru alimentarea plăcii, aceasta fiind necesară la comanda simultană a mai mult de două servomotoare de tipul menționat. Putem astfel conecta o baterie de 9V la mufa jack a plăcii Arduino.

La poziționarea butonului rotativ din PF (Fig. 65) pe 600, 1500 sau 2400 se va poziționa axul pe unghiul -90, 0 și respectiv +90 (sau 0, 90, 180).

Sunt servomotoare digitale pentru rotație continuă (Parallax Feedback 360° High-Speed Servo, Feetech FT90R etc., www.pololu.com).

Diagrama aplicației LabVIEW este în Figura 64, iar Panoul Frontal în Figura 65. Funcțiile Open.vi și Close.vi deschid, respectiv închid canalul de comunicație serială cu dispozitivul extern, gestionat prin LINX. Funcțiile Servo Open.vi și

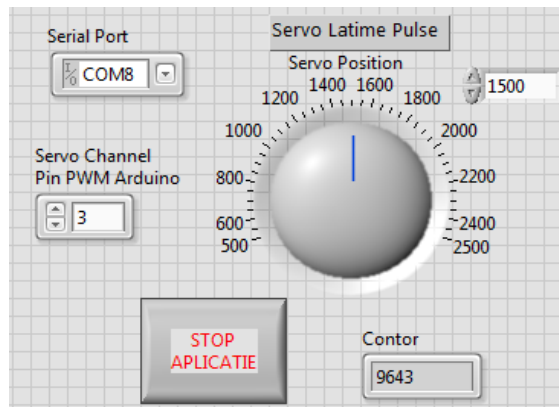


Fig. 65

Servo Close.vi deschid, respectiv închid canalul servo pentru control, unde prin intrarea *Servo Channel* se specifică numărul pinului PWM al microcontrolerului Arduino Uno (pinul ~3 în aplicația curentă).

Funcția Servo Set Pulse Width.vi (Fig. 66) este apelată repetitiv în cadrul ciclului While pentru a urmări modificările aduse de către operator intrării *Pulse Width* (μS) prin care este comandată poziția unghiulară a axului motorului.

În cazul în care se dorește comanda mai multor servomotoare, de exemplu patru, se vor folosi patru funcții Servo Open.vi conectate între ele prin firele LINX Resource și Error In/Out, urmate în corpul ciclului While de patru funcții Servo Set Pulse Width.vi, conectate toate în linie și patru funcții Servo Close.vi după ieșirea din ciclul While. Pentru fiecare triplet de funcții Servo Open.vi, Servo Set Pulse Width.vi și Servo Close.vi se comandă poziția unui servomotor prin pinul PWM al plăcii și *Pulse Width* (μS) specific. Fiecare servomotor este astfel comandat independent prin controlul propriu în Panoul Frontal (având terminalul asociat în corpul ciclului), conform cu poziția unghiulară dorită.

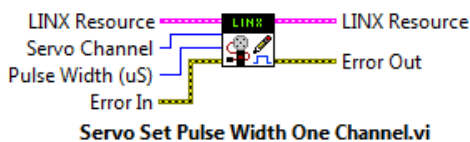


Fig. 66

14. Noțiuni despre platforme Arduino Uno/Mega, intrări/ieșiri semnale

Arduino MEGA 2560 este o placă cu microcontroler construită pe baza procesorului ATmega2560, pe 8-bit cu arhitectură RISC (Reduced Instruction Set Computer), microcontroler *single-chip*. Prezintă 54 pini digital input/output, din care 15 pot fi folosiți ca ieșiri PWM (Pulse Width Modulation) și anume pinii 2,3,...,13 (pinii 0 și 1 sunt pentru tx și rx) și pinii 44, 45, 46 sunt, de asemenea, pini output 8-bit PWM comandați (cu funcția analogWrite).

Sunt disponibile, de asemenea, 16 intrări analogice A0,...,A15 și 4 UARTs (hardware serial ports), un cristal oscilator (clock speed) la 16 MHz, un conector USB (acesta permite conectarea la calculator prin cablu USB), un power jack (permite alimentarea de la un adaptor AC to DC sau de la baterie), un ICSP header, un buton de reset, un LED Built-in: conectat la pinul 13, 5 pini Ground (GND) și altele (Fig. 67).

14.1. Semnalul digital

Placa cu microcontroler Arduino prezintă intrări și ieșiri pentru semnal digital. Pinul digital poate avea numai două stări logice True și False sau valori electrice de tensiune High (5 V) și Low (0 V) măsurate între GND (ground) și pinul observat. Primii doi pini (0 și 1) din totalul de 14 pini digitali (0,...,13) ai variantei Uno, sunt folosiți și pentru comunicația (printr-un protocol serial) cu plăcile de extensie (shields). Cei doi pini au asociate două LED-uri (RX-recepție și TX-transmisie) pe placă, LED-uri care pâlpâie când se face transmitere de date. Placa Arduino prezintă numai intrări pentru semnal analogic. Semnalele din lumea

reală sunt analogice și în general amplitudinea poate lua orice valoare într-un interval.

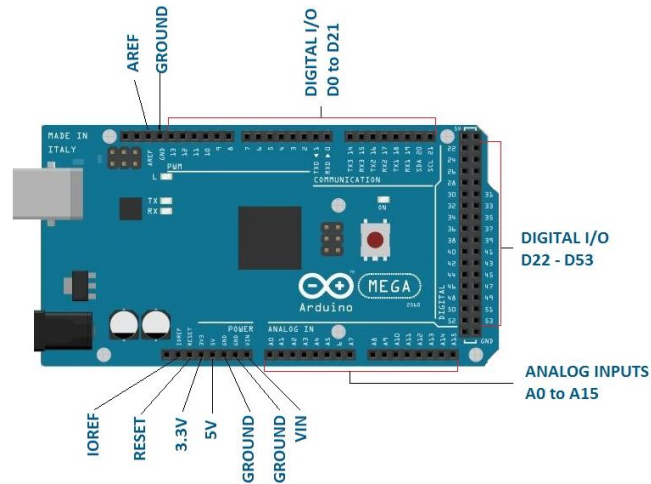


Fig. 67

14.2. Măsurare semnal analogic

Pentru a măsura semnale electrice analogice (tensiunea de intrare) platforma Arduino are un convertor analog→digital ADC (Analog Digital Converter inclus în microcontrolerul ATmega) cu care convertește semnalul analogic în valori (de amplitudine) discrete (digitale). Pentru aceasta se folosește funcția Arduino IDE: *analogRead(pin)* sau funcția LabVIEW: *Analog Read Pin.vi*. Aceste funcții convertește valoarea de tensiune generată de senzor disponibilă la pinul analogic (între valorile 0 și 5 V sau 0 și 3.3 V în funcție de placa Arduino) în valoare digitală întreagă între 0 și 1023. Astfel, convertorul A→D este pe 10 biți ($2^{10}=1024$). Rezoluția de citire a semnalului analogic pentru intervalul de tensiune 0-5 V este 5V/1024 unități, rezultând 0.0049 V (4.9 mV) pe unitate. Pentru plăcile cu procesor ATmega (Uno, Nano, Mini, Mega), o citire din semnalul analogic se face în 100 microsecunde (0.0001 s) astfel rata de citire este de maxim 10,000 eşantioane pe secundă.

14.3. Semnal PWM, dreptunghiular digital de ieșire

Plăcile Arduino nu au convertor Digital→Analog DAC, dar pot parțial suplini neajunsul prin semnal PWM (Pulse-Width Modulation) care este un semnal digital dreptunghiular (formă de undă) de o anumită frecvență (490 Hz, 500 Hz, 980 Hz etc., în funcție de placă). Astfel, este folosită funcția Arduino IDE *analogWrite(pin, value)* (*PWM Write Pin.vi* în LabVIEW) unde *pin* este numărul pinului folosit pentru ieșirea semnalului PWM; *value* este număr proporțional cu *duty cycle* a semnalului dreptunghiular (*value=0*, semnal Low tot timpul; *value=255*, semnalul este High tot timpul). Astfel, se obține un semnal modulat în lățimea pulsurilor de comandă. Pentru Arduino Uno (ATmega328P), pinii PWM (marcați cu semnul ~)

sunt: 3, 5, 6, 9, 10 și 11. Pentru Arduino Mega, pinii PWM sunt: 2,...,13 și 44, 45 și 46.

14.4. Tensiune de alimentare placă și de ieșire

Tensiunea de alimentare și funcționare a plăcii Arduino se poate introduce prin portul USB la tensiune de 5 volți prin care placa se leagă la calculator. Prin mufa Power Jack se poate obține o tensiune în plaja 7-12 V sau prin pinii Vin și GND (din zona Power a plăcii) de la o baterie de 9 V.

Microcontrolerul Arduino prezintă două ieșiri (zona Power a plăcii), una cu tensiune de 5 V și alta cu tensiune de 3.3 V (curentul maxim oferit fiind de 50 mA) pentru alimentarea unor senzori.

BIBLIOGRAFIE

1. Anghel, T., Programarea plăcii Arduino, Editura Paralela 45, 2020.
2. Bishop, R., Learning with LabVIEW 6i, Prentice Hall, 2001.
3. Blokdyk, G., LabVIEW A Complete Guide - 2021 Edition Kindle Edition, 2021.
4. Bress, T., Effective LabVIEW Programming, NTS Press, 2013.
4. Cottet, F., Ciobanu, O., Bazele programării în LabVIEW, Editura Matrix Rom, București, 1998.
5. Fadhil, A., Lecture Notes in LabVIEW and Data Acquisition, Kindle Edition, 2021.
6. Hedeșiu H., Munteanu R. Jr., Introducere în programare grafică instrumentală, Editura Mediamira, Cluj-Napoca, 2003.
7. Isen, F., DSP for MATLAB and LabVIEW II: Discrete Frequency Transforms (Synthesis Lectures on Signal Processing), 2008.
8. Johnson, G., LabVIEW Power Programming, McGraw-Hill, NY, 1998.
9. Larsen, R.W., LabVIEW for engineers, Prentice Hall, 2011.
10. Lupea I., Roboți și vibrații, Editura Dacia, Cluj-Napoca, 1996.
11. Lupea I., Lupea, M., Limbajul C, teorie și aplicații, Casa Cărții de Știință, Cluj-Napoca, 1998.
12. Lupea I., Măsurători de vibrații și zgomote prin programare cu LabVIEW, Casa Cărții de Știință, Cluj-Napoca, 2005.
13. Lupea I., LabVIEW - Programare Grafică, Editura Risoprint, Cluj-Napoca, 2008.
14. Lupea, I., The length of flexible coiled tubes by observing the sound propagation time, Acta Technica Napocensis, AMME, Vol. 62, Issue IV, 2019.
15. Lupea, I., The length of flexible coiled tubes measured by using a sound card and the FRF, Acta Technica Napocensis, Series: AMME, Vol. 62, Issue III, 2019.
16. Lupea, I., The Length of Flexible Coiled Tubes Measured by Using Standing Waves, Acta Technica Napocensis, Series: Applied Mathematics, Mechanics, and Engineering Vol. 61, Issue III, September, 2018, pages 297-300.
17. Lupea, I., Sound absorption coefficient measurement set-up by using LabVIEW and a simple impedance tube, Acta Technica Napocensis, Series: Applied Mathematics, Mechanics, and Engineering, Vol. 62, Issue IV, 2019.
18. Maier, V., Maier, C.D., LabVIEW în Calitatea Energiei Electrice, Editura Albastra, Cluj-Napoca, 2000.

19. Morris, A., Langari, R., Measurement and instrumentation: theory and application, 2012.
20. Paton, B., Sensors, transducers, and LabVIEW, Prentice Hall, 1999.
21. Ricardo A., LabVIEW: A Flexible Environment for Modeling and Daily Laboratory Use, 2021.
22. Sabou, S.P., Îndrumător laborator microcontrolere, U.T.Press, Cluj-Napoca, 2018.
23. Schwartz, M., Manickum, O., Programing Arduino with Labview, Packt Publishing, 2015.
24. Travis, J., LabVIEW for everyone: graphical programming made easy and fun, Prentice Hall, 2007.
25. ** www.arduino.cc
26. ** www.fritzing.org
27. ** www.hackster.io
28. ** www.intorobotics.com
29. ** www.instructables.com
30. ** www.mschoeffler.com
31. ** www.makerguides.com
32. ** www.ni.com
33. ** www.ni.com, Data Acquisition Basics Manual, 1998
34. ** www.ni.com/academic
35. ** www.ni.com, LabVIEW Analysis Concepts, 2004
36. ** www.ni.com, Getting Started with LabVIEW, 2013
37. ** www.ni.com, LabVIEW User manual, 2003
38. ** www.ni.com, LabVIEW Advanced Signal Processing Toolkit, 2005
39. ** www.ni.com, LabVIEW Signal Processing Course Manual, 1997
40. ** www.ni.com, LabVIEW Order Analysis Toolset User Manual, 2005
41. ** www.ni.com, LabVIEW Fundamentals, 2005
42. ** www.ni.com/docs/en-US/bundle/labview/page/lvconcepts/front_oolv.html
LabVIEW Object-Oriented Programming, 2022
43. ** www.the-diy-life.com